

**IMPIANTO DI PRODUZIONE DI ENERGIA DA FONTE EOLICA  
"Parco Eolico San Pietro" DI POTENZA PARI A 60 MW**

**REGIONE PUGLIA  
PROVINCIA di BRINDISI**

**PARCO EOLICO E RELATIVE OPERE DI CONNESSIONE NEI COMUNI DI:  
Brindisi, San Pietro Vernotico, Cellino San Marco**

**PROGETTO DEFINITIVO  
Id AU VSSK6Y3**

Tav.:  
  
R06b

**Calcoli Preliminari Strutture  
Impianto Eolico**

Scala:

Formato Stampa:

Codice Identificatore Elaborato:

n.a.

A4

VSSK6Y3\_CalcoloPreminareStrutture\_R06b

Progettazione:

**STCs S.r.l.**

Via Nazario Sauro, 51 - 73100 Lecce  
stcs@pec.it - fabio.calcarella@gmail.com

Dott. Ing. Fabio CALCARELLA



D. E. A.  
ING. GIOVANNI LUCA D'AMATO

VIA BENEDETTO CROCE, 23 - 73100 LECCE  
TEL 0832 1940701 - FAX 0832 1940702  
Email: gl.damato@associaidea.com  
PEC: giovanniluca.damato@Inpec.eu

Committente:

**wpd MURO s.r.l.**



Viale Aventino, 102 - 00153 Roma  
C.F. e P.I. 15443431000  
tel. +39 06 960 353-00



Data	Motivo della revisione:	Redatto:	Controllato:	Approvato:
Agosto 2020	Prima emissione	GLD	FC	wpd MURO s.r.l.

**Sommario**

Introduzione.....	2
Sistemi di riferimento .....	2
Rotazioni e momenti .....	2
Normativa di riferimento .....	2
Unità di misura .....	3
Geometria.....	3
Elenco vincoli nodi .....	3
Elenco costanti elastiche nodali .....	3
Elenco nodi .....	3
Elenco materiali .....	5
Elenco sezioni aste .....	5
Elenco vincoli aste .....	6
Elenco aste .....	6
Elenco tipi elementi bidimensionali .....	7
Elenco elementi bidimensionali .....	7
Elenco tipi plinti/pali .....	8
Elenco plinti/pali .....	9
Carichi.....	9
Condizioni di carico elementari .....	10
Elenco carichi nodiCondizione di carico n. 2: peso navicella Carichi concentrati .....	10
Condizione di carico n. 3: vento navicella Carichi concentrati .....	10
Condizione di carico n. 4: vento torre Carichi concentrati .....	10
Condizione di carico n. 5: neve navicella Carichi concentrati .....	11
Elenco carichi asteCondizione di carico n. 1: peso proprio struttura Elenco peso proprio aste .....	11
Elenco carichi elementi bidimensionaliElenco peso proprio elementi bidimensionali .....	11
Condizione di carico n. 6: zavorra Carichi uniformi .....	11
Analisi dei carichi da vento .....	12
Avetrana .....	12
Analisi dei carichi da neve .....	13
Avetrana .....	13
Risultati del calcolo.....	13
Parametri di calcolo .....	14
<i>Figura numero 1: Spettro SLD</i> .....	15
<i>Figura numero 2: Spettro SLV</i> .....	16
<i>Figura numero 3: Spettro SND</i> .....	16
Spostamenti dei nodi .....	19
Reazioni vincolari .....	25
Sollecitazioni aste .....	26
Sollecitazioni elementi bidimensionali .....	38
Criteri di progetto utilizzati.....	39
Sezioni generiche .....	39
Aste in acciaio .....	41
Plinti/Pali .....	43
Verifiche aste in acciaio.....	46
Sintesi.....	53

## Introduzione

### Sistemi di riferimento

Le coordinate, i carichi concentrati, i cedimenti, le reazioni vincolari e gli spostamenti dei NODI sono riferiti ad una terna destra cartesiana globale con l'asse Z verticale rivolto verso l'alto.  
I carichi in coordinate locali e le sollecitazioni delle ASTE sono riferite ad una terna destra cartesiana locale così definita:  
- origine nel nodo iniziale dell'asta;  
- asse X coincidente con l'asse dell'asta e con verso dal nodo iniziale al nodo finale;  
- immaginando la trave a sezione rettangolare l'asse Y è parallelo alla base e l'asse Z è parallelo all'altezza.  
La rotazione dell'asta comporta quindi una rotazione di tutta la terna locale.

Si può immaginare la terna locale di un'asta comunque disposta nello spazio come derivante da quella globale dopo una serie di trasformazioni:

- una rotazione intorno all'asse Z che porti l'asse X a coincidere con la proiezione dell'asse dell'asta sul piano orizzontale;
- una traslazione lungo il nuovo asse X così definito in modo da portare l'origine a coincidere con la proiezione del nodo iniziale dell'asta sul piano orizzontale;
- una traslazione lungo l'asse Z che porti l'origine a coincidere con il nodo iniziale dell'asta;
- una rotazione intorno all'asse Y così definito che porti l'asse X a coincidere con l'asse dell'asta;
- una rotazione intorno all'asse X così definito pari alla rotazione dell'asta.

In pratica le travi prive di rotazione avranno sempre l'asse Z rivolto verso l'alto e l'asse Y nel piano del solaio, mentre i pilastri privi di rotazione avranno l'asse Y parallelo all'asse Y globale e l'asse Z parallelo ma controverso all'asse X globale. Da notare quindi che per i pilastri la "base" è il lato parallelo a Y.

Le sollecitazioni ed i carichi in coordinate locali negli ELEMENTI BIDIMENSIONALI e nei MURI sono riferiti ad una terna destra cartesiana locale così definita:

- origine nel primo nodo dell'elemento;
- asse X coincidente con la congiungente il primo ed il secondo nodo dell'elemento;
- asse Y definito come prodotto vettoriale fra il versore dell'asse X e il versore della congiungente il primo e il quarto nodo. Asse Z a formare con gli altri due una terna destrorsa.

Praticamente un elemento verticale con l'asse X locale coincidente con l'asse X globale ha anche gli altri assi locali coincidenti con quelli globali.

### Rotazioni e momenti

Seguendo il principio adottato per tutti i carichi che sono positivi se CONTROVERSI agli assi, anche i momenti concentrati e le rotazioni impresse in coordinate globali risultano positivi se CONTROVERSI al segno positivo delle rotazioni. Il segno positivo dei momenti e delle rotazioni è quello orario per l'osservatore posto nell'origine: X ruota su Y, Y ruota su Z, Z ruota su X. In pratica è sufficiente adottare la regola della mano destra: col pollice rivolto nella direzione dell'asse, la rotazione che porta a chiudere il palmo della mano corrisponde al segno positivo.

### Normativa di riferimento

La normativa di riferimento è la seguente:

- Legge n. 64 del 2/2/1974 - Provvedimenti per le costruzioni con particolari prescrizioni per le zone sismiche.
- D.M. del 24/1/1986 - Norme tecniche relative alle costruzioni sismiche.
- Legge n. 1086 del 5/11/1971 - Norme per la disciplina delle opere di conglomerato cementizio armato, normale e precompresso ed a struttura metallica.
- D.M. del 14/2/1992 - Norme tecniche per l'esecuzione delle opere in c.a. normale e precompresso e per le strutture metalliche.
- D.M. del 9/1/1996 - Norme tecniche per l'esecuzione delle opere in c.a. normale e precompresso e per le strutture metalliche.
- D.M. del 16/1/1996 - Norme tecniche per le costruzioni in zone sismiche.
- Circolare n. 21745 del 30/7/1981 - Legge n. 219 del 14/5/1981 - Art. 10 - Istruzioni relative al rafforzamento degli edifici in muratura danneggiati dal sisma.
- Regione Autonoma Friuli Venezia Giulia - Legge Regionale n. 30 del 20/6/1977 - Documentazione tecnica per la progettazione e direzione delle opere di riparazione degli edifici - Documento Tecnico n. 2 - Raccomandazioni per la riparazione strutturale degli edifici in muratura.
- D.M. del 20/11/1987 - Norme Tecniche per la progettazione, esecuzione e collaudo degli edifici in muratura e per il loro consolidamento.
- Norme Tecniche C.N.R. n. 10011-85 del 18/4/1985 - Costruzioni di acciaio - Istruzioni per il calcolo, l'esecuzione, il collaudo e la manutenzione.
- Norme Tecniche C.N.R. n. 10025-84 del 14/12/1984 - Istruzioni per il progetto, l'esecuzione ed il controllo

## Relazione di calcolo

delle strutture prefabbricate in conglomerato cementizio e per le strutture costruite con sistemi industrializzati di acciaio - Istruzioni per il calcolo, l'esecuzione, il collaudo e la manutenzione.

- Circolare n. 65 del 10/4/1997 - Istruzioni per l'applicazione delle "Norme tecniche per le costruzioni in zone sismiche" di cui al D.M. del 16/1/1996.
- Eurocodice 5 - Progettazione delle strutture di legno.
- DIN 1052 - Metodi di verifica per il legno.
- D.M. del 17/1/2018 - Norme tecniche per le costruzioni.
- Circolare n. 7 del 21/1/2019 - Istruzioni per l'applicazione dell'«Aggiornamento delle "Norme tecniche per le costruzioni"» di cui al decreto ministeriale 17 gennaio 2018.
- Documento Tecnico CNR-DT 200 R1/2012 - Istruzioni per la Progettazione, l'Esecuzione ed il Controllo di Interventi di Consolidamento Statico mediante l'utilizzo di Compositi Fibrorinforzati.
- Eurocodice 3 - Progettazione delle strutture in acciaio.

## Unità di misura

Le unità di misura adottate sono le seguenti:

- lunghezze : m
- forze : daN
- masse : kg
- temperature : gradi centigradi
- angoli : gradi sessadecimali o radianti

## Geometria

### Elenco vincoli nodi

#### Simbologia

Vn	= Numero del vincolo nodo
Comm.	= Commento
TV	= Tipo vincolo se valutato da stratigrafia
SP	= Plinto senza pali
CP	= Palo o plinto con pali
Sx	= Spostamento in dir. X (L=libero, B=bloccato, E=elastico)
Sy	= Spostamento in dir. Y (L=libero, B=bloccato, E=elastico)
Sz	= Spostamento in dir. Z (L=libero, B=bloccato, E=elastico)
Rx	= Rotazione intorno all'asse X (L=libera, B=blockata, E=elastica)
Ry	= Rotazione intorno all'asse Y (L=libera, B=blockata, E=elastica)
Rz	= Rotazione intorno all'asse Z (L=libera, B=blockata, E=elastica)
RL	= Rotazione libera
Ly	= Lunghezza (dir. Y locale)
Lz	= Larghezza (dir. Z locale)
Kt	= Coeff. di sotterraneo su suolo elastico alla Winkler

Vn	Comm.	TV	Sx	Sy	Sz	Rx	Ry	Rz	RL	Ly	Lz	Kt
1Libero		L	L	L	L	L				<m>	<m>	<daN/cm>
5calcarenite	SP	B	B	E	B	B	B			f(strat.)		

Vn	Comm.	TV	Sx	Sy	Sz	Rx	Ry	Rz	RL	Ly	Lz	Kt
5calcarenite	CP	E	E	E	E	E	E	B		<m>	<m>	<daN/cm>

### Elenco costanti elastiche nodali

#### Simbologia

Nodo	Kx <daN/cm>	Ky <daN/cm>	Kz <daN/cm>	KRx <daNm/rad>	KRy <daNm/rad>
378	102235.00	102235.00	2477390.00	55726900.00	55726900.00
457	102235.00	102235.00	2477390.00	55726900.00	55726900.00
459	102235.00	102235.00	2477390.00	55726900.00	55726900.00
461	102235.00	102235.00	2477390.00	55726900.00	55726900.00
463	102235.00	102235.00	2477390.00	55726900.00	55726900.00
465	102235.00	102235.00	2477390.00	55726900.00	55726900.00
467	102235.00	102235.00	2477390.00	55726900.00	55726900.00
469	102235.00	102235.00	2477390.00	55726900.00	55726900.00
471	102235.00	102235.00	2477390.00	55726900.00	55726900.00
473	102235.00	102235.00	2477390.00	55726900.00	55726900.00

### Elenco nodi

## Relazione di calcolo

### Simbologia

Nodo = Numero del nodo  
 X = Coordinata X del nodo  
 Y = Coordinata Y del nodo  
 Z = Coordinata Z del nodo  
 Imp. = Numero dell'impalcato  
 Vn = Numero del vincolo nodo

Nodo	X <m>	Y <m>	Z <m>	Imp.	Vn	Nodo	X <m>	Y <m>	Z <m>	Imp.	Vn	Nodo	X <m>	Y <m>	Z <m>	Imp.	Vn
-90	0.00	0.00	9.02	0	1	-89	0.00	0.00	19.63	0	1	-88	0.00	0.00	30.21	0	1
-87	0.00	0.00	40.79	0	1	-86	0.00	0.00	51.37	0	1	-85	0.00	0.00	61.98	0	1
-84	0.00	0.00	72.59	0	1	-83	0.00	0.00	83.17	0	1	-82	0.00	0.00	93.75	0	1
-81	0.00	0.00	104.33	0	1	-80	0.00	0.00	114.06	0	1	-79	0.00	0.00	122.95	0	1
-78	0.00	0.00	132.69	0	1	-77	0.00	0.00	143.28	0	1	-76	0.00	0.00	153.91	0	1
-75	0.00	0.00	164.57	0	1	-74	1.90	-0.62	3.70	0	1	-73	1.62	-1.18	3.70	0	1
-72	1.18	-1.62	3.70	0	1	-71	0.62	-1.90	3.70	0	1	-70	0.00	-2.00	3.70	0	1
-69	-0.62	-1.90	3.70	0	1	-68	-1.18	-1.62	3.70	0	1	-67	-1.62	-1.18	3.70	0	1
-66	-1.90	-0.62	3.70	0	1	-65	-2.00	-0.00	3.70	0	1	-64	-1.90	0.62	3.70	0	1
-63	-1.62	1.18	3.70	0	1	-62	-1.18	1.62	3.70	0	1	-61	-0.62	1.90	3.70	0	1
-60	-0.00	2.00	3.70	0	1	-59	0.62	1.90	3.70	0	1	-58	1.18	1.62	3.70	0	1
-57	1.62	1.18	3.70	0	1	-56	1.90	0.62	3.70	0	1	-55	1.90	-0.62	0.00	0	1
-54	1.62	-1.18	0.00	0	1	-53	1.18	-1.62	0.00	0	1	-52	0.62	-1.90	0.00	0	1
-51	0.00	-2.00	0.00	0	1	-50	-0.62	-1.90	0.00	0	1	-49	-1.18	-1.62	0.00	0	1
-48	-1.62	-1.18	0.00	0	1	-47	-1.90	-0.62	0.00	0	1	-46	-2.00	-0.00	0.00	0	1
-45	-1.90	0.62	0.00	0	1	-44	-1.62	1.18	0.00	0	1	-43	-1.18	1.62	0.00	0	1
-42	-0.62	1.90	0.00	0	1	-41	-0.00	2.00	0.00	0	1	-40	0.62	1.90	0.00	0	1
-39	1.18	1.62	0.00	0	1	-38	1.62	1.18	0.00	0	1	-37	1.90	0.62	0.00	0	1
-19	2.00	0.00	3.70	0	1	-1	2.00	0.00	0.00	0	1	1	0.00	0.00	0.00	0	1
2	2.70	0.00	0.00	0	1	110	0.00	0.00	3.70	0	1	111	0.00	0.00	1.50	0	1
249	2.57	0.83	0.00	0	1	250	2.18	1.59	0.00	0	1	251	1.59	2.18	0.00	0	1
252	0.83	2.57	0.00	0	1	253	0.00	2.70	0.00	0	1	254	-0.83	2.57	0.00	0	1
255	-1.59	2.18	0.00	0	1	256	-2.18	1.59	0.00	0	1	257	-2.57	0.83	0.00	0	1
258	-2.70	0.00	0.00	0	1	259	-2.57	-0.83	0.00	0	1	260	-2.18	-1.59	0.00	0	1
261	-1.59	-2.18	0.00	0	1	262	-0.83	-2.57	0.00	0	1	263	-0.00	-2.70	0.00	0	1
264	0.83	-2.57	0.00	0	1	265	1.59	-2.18	0.00	0	1	266	2.18	-1.59	0.00	0	1
267	2.57	-0.83	0.00	0	1	374	4.50	0.00	0.00	0	1	375	6.10	0.00	0.00	0	1
376	7.70	0.00	0.00	0	1	377	9.30	0.00	0.00	0	1	378	10.90	0.00	0.00	0	5
379	12.50	0.00	0.00	0	1	380	4.28	1.39	0.00	0	1	381	3.64	2.65	0.00	0	1
382	2.65	3.64	0.00	0	1	383	1.39	4.28	0.00	0	1	384	0.00	4.50	0.00	0	1
385	-1.39	4.28	0.00	0	1	386	-2.65	3.64	0.00	0	1	387	-3.64	2.65	0.00	0	1
388	-4.28	1.39	0.00	0	1	389	-4.50	0.00	0.00	0	1	390	-4.28	-1.39	0.00	0	1
391	-3.64	-2.65	0.00	0	1	392	-2.65	-3.64	0.00	0	1	393	-1.39	-4.28	0.00	0	1
394	-0.00	-4.50	0.00	0	1	395	1.39	-4.28	0.00	0	1	396	2.65	-3.64	0.00	0	1
397	3.64	-2.65	0.00	0	1	398	4.28	-1.39	0.00	0	1	399	5.80	1.89	0.00	0	1
400	4.93	3.59	0.00	0	1	401	3.59	4.93	0.00	0	1	402	1.89	5.80	0.00	0	1
403	-0.00	6.10	0.00	0	1	404	-1.89	5.80	0.00	0	1	405	-3.59	4.93	0.00	0	1
406	-4.93	3.59	0.00	0	1	407	-5.80	1.89	0.00	0	1	408	-6.10	-0.00	0.00	0	1
409	-5.80	-1.89	0.00	0	1	410	-4.93	-3.59	0.00	0	1	411	-3.59	-4.93	0.00	0	1
412	-1.89	-5.80	0.00	0	1	413	0.00	-6.10	0.00	0	1	414	1.89	-5.80	0.00	0	1
415	3.59	-4.93	0.00	0	1	416	4.93	-3.59	0.00	0	1	417	5.80	-1.89	0.00	0	1
418	7.32	2.38	0.00	0	1	419	6.23	4.53	0.00	0	1	420	4.53	6.23	0.00	0	1
421	2.38	7.32	0.00	0	1	422	-0.00	7.70	0.00	0	1	423	-2.38	7.32	0.00	0	1
424	-4.53	6.23	0.00	0	1	425	-6.23	4.53	0.00	0	1	426	-7.32	2.38	0.00	0	1
427	-7.70	-0.00	0.00	0	1	428	-7.32	-2.38	0.00	0	1	429	-6.23	-4.53	0.00	0	1
430	-4.53	-6.23	0.00	0	1	431	-2.38	-7.32	0.00	0	1	432	0.00	-7.70	0.00	0	1
433	2.38	-7.32	0.00	0	1	434	4.53	-6.23	0.00	0	1	435	6.23	-4.53	0.00	0	1
436	7.32	-2.38	0.00	0	1	437	8.84	2.87	0.00	0	1	438	7.52	5.47	0.00	0	1
439	5.47	7.52	0.00	0	1	440	2.87	8.84	0.00	0	1	441	0.00	9.30	0.00	0	1
442	-2.87	8.84	0.00	0	1	443	-5.47	7.52	0.00	0	1	444	-7.52	5.47	0.00	0	1
445	-8.84	2.87	0.00	0	1	446	-9.30	0.00	0.00	0	1	447	-8.84	-2.87	0.00	0	1
448	-7.52	-5.47	0.00	0	1	449	-5.47	-7.52	0.00	0	1	450	-2.87	-8.84	0.00	0	1
451	-0.00	-9.30	0.00	0	1	452	2.87	-8.84	0.00	0	1	453	5.47	-7.52	0.00	0	1
454	7.52	-5.47	0.00	0	1	455	8.84	-2.87	0.00	0	1	456	10.37	3.37	0.00	0	1
457	8.82	6.41	0.00	0	5	458	6.41	8.82	0.00	0	1	459	3.37	10.37	0.00	0	5
460	-0.00	10.90	0.00	0	1	461	-3.37	10.37	0.00	0	5	462	-6.41	8.82	0.00	0	1
463	-8.82	6.41	0.00	0	5	464	-10.37	3.37	0.00	0	1	465	-10.90	-0.00	0.00	0	5
466	-10.37	-3.37	0.00	0	1	467	-8.82	-6.41	0.00	0	5	468	-6.41	-8.82	0.00	0	1
469	-3.37	-10.37	0.00	0	5	470	0.00	-10.90	0.00	0	1	471	3.37	-10.37	0.00	0	5
472	6.41	-8.82	0.00	0	1	473	8.82	-6.41	0.00	0	5	474	10.37	-3.37	0.00	0	1
475	11.89	3.86	0.00	0	1	476	10.11	7.35	0.00	0	1	477	7.35	10.11	0.00	0	1
478	3.86	11.89	0.00	0	1	479	-0.00	12.50	0.00	0	1	480	-3.86	11.89	0.00	0	1
481	-7.35	10.11	0.00	0	1	482	-10.11	7.35	0.00	0	1	483	-11.89	3.86	0.00	0	1
484	-12.50	-0.00	0.00	0	1	485	-11.89	-3.86	0.00	0	1	486	-10.11	-7.35	0.00	0	1
487	-7.35	-10.11	0.00	0	1	488	-3.86	-11.89	0.00	0	1	489	0.00	-12.50	0.00	0	1
490	3.86	-11.89	0.00	0	1	491	7.35	-10.11	0.00	0	1	492	10.11	-7.35	0.00	0	1
493	11.89	-3.86	0.00	0	1	494	0.00	0.00	14.34	0	1	495	0.00	0.00	24.92	0	1
496	0.00	0.00	35.50	0	1	497	0.00	0.00	46.08	0	1	498	0.00	0.00	56.66	0	1
499	0.00	0.00	99.04	0	1	500	0.00	0.00	88.46	0	1	501	0.00	0.00	77.88	0	1
502	0.00	0.00	67.30	0	1	503	0.00	0.00	109.62	0	1	504	0.00	0.00	118.50	0	1

## Relazione di calcolo

505	0.00	0.00	127.39	0	1	506	0.00	0.00	137.98	0	1	507	0.00	0.00	148.57	0	1
508	0.00	0.00	159.24	0	1	509	0.00	0.00	169.90	0	1						

## Elenco materiali

### Simbologia

Mat. = Numero del materiale  
 Comm. = Commento  
 P = Peso specifico  
 E = Modulo elastico  
 G = Modulo elastico tangenziale  
 v = Coeff. di Poisson  
 $\alpha$  = Coeff. di dilatazione termica

Mat.	Comm.	P <daN/mc>	E <daN/cmq>	G <daN/cmq>	v	$\alpha$
1	Calcestruzzo	2500	300000.00	130000.00	0.1	1.000000E-05
2	Acciaio	7850	2100000.00	800000.00	0.3	1.000000E-05

## Elenco sezioni aste

### Simbologia

Sez. = Numero della sezione  
 Comm. = Commento  
 Tipo = Tipologia  
 2C = Doppia C lato labbri  
 2Cdx = Doppia C lato costola  
 2I = Doppia I  
 2L = Doppia L lato labbri  
 2Ldx = Doppia L lato costole  
 C = Sezione a C  
 Cdx = C destra  
 Cir. = Circolare  
 Cir.c = Circolare cava  
 I = Sezione a I  
 L = Sezione a L  
 Ldx = L destra  
 Om. = Omega  
 Pg = Pi greco  
 Pr = Poligono regolare  
 Prc = Poligono regolare cavo  
 Pc = Per coordinate  
 Ia = Inerzie assegnate  
 R = Rettangolare  
 Rc = Rettangolare cava  
 T = Sezione a T  
 U = Sezione a U  
 Ur = U rovescia  
 V = Sezione a V  
 Vr = V rovescia  
 Z = Sezione a Z  
 Zdx = Z destra  
 Ts = T stondata  
 Ls = L stondata  
 Cs = C stondata  
 Is = I stondata  
 Dis. = Disegnata  
 Mem. = Membratura  
 G = Generica  
 T = Trave  
 P = Pilastro  
 Ver. = Verifica prevista  
 N = Nessuna  
 C = Cemento armato  
 A = Acciaio  
 L = Legno  
 s = Spessore  
 R = Raggio  
 Ma = Numero del materiale  
 C = Numero del criterio di progetto  
 Crit. C.I. = Criterio di progetto collegamento iniziale  
 Crit. C.F. = Criterio di progetto collegamento finale

Sez.	Comm.	Tipo	Mem.	Ver.	s <cm>	R <cm>	Ma	C	Crit. C.I.	Crit. C.F.
1s_01_01	Circ.c	T	A		90.00	386.40	1	1	1	1
2s_01_02	Circ.c	T	A		90.00	370.30	1	1	1	1
3s_01_03	Circ.c	T	A		80.00	354.30	1	1	1	1
4s_01_04	Circ.c	T	A		80.00	338.20	1	1	1	1
5s_01_05	Circ.c	T	A		70.00	322.20	1	1	1	1
6s_02_01	Circ.c	T	A		70.00	306.10	1	1	1	1

## Relazione di calcolo

7s_02_02	Cir.c	T	A	60.00	289.90	1 1		1		1
8s_02_03	Cir.c	T	A	60.00	273.80	1 1		1		1
9s_02_04	Cir.c	T	A	50.00	257.60	1 1		1		1
10s_02_05	Cir.c	T	A	50.00	241.50	1 1		1		1
11s_03	Cir.c	T	A	4.00	215.00	2 1		2		2
19s_04	Cir.c	T	A	3.00	215.00	2 1		1		1
29s_05_01	Cir.c	T	A	3.00	205.90	2 1		1		1

## Elenco vincoli aste

### Simbologia

Va = Numero del vincolo asta

Comm. = Commento

Tipo = Tipologia

SVI = Definizione di vincolamenti interni

ELA = Vincolo su suolo elastico alla Winkler

BIE-RTC = Biella resistente a trazione e a compressione

BIE-RC = Biella resistente solo a compressione

BIE-RT = Biella resistente solo a trazione

Ni = Sforzo normale nodo iniziale (0=sbloccato, 1=bloccato)

Tyi = Taglio in dir. Y locale nodo iniziale (0=sbloccato, 1=bloccato)

Tzi = Taglio in dir. Z locale nodo iniziale (0=sbloccato, 1=bloccato)

Mxi = Momento intorno all'asse X locale nodo iniziale (0=sbloccato, 1=bloccato)

Myi = Momento intorno all'asse Y locale nodo iniziale (0=sbloccato, 1=bloccato)

Mzi = Momento intorno all'asse Z locale nodo iniziale (0=sbloccato, 1=bloccato)

Nf = Sforzo normale nodo finale (0=sbloccato, 1=bloccato)

Tyf = Taglio in dir. Y locale nodo finale (0=sbloccato, 1=bloccato)

Tzf = Taglio in dir. Z locale nodo finale (0=sbloccato, 1=bloccato)

Mxf = Momento intorno all'asse X locale nodo finale (0=sbloccato, 1=bloccato)

Myf = Momento intorno all'asse Y locale nodo finale (0=sbloccato, 1=bloccato)

Mzf = Momento intorno all'asse Z locale nodo finale (0=sbloccato, 1=bloccato)

Kt = Coeff. di sotterraneo su suolo elastico alla Winkler

Va	Comm.	Tipo	Ni	Tyi	Tzi	Mxi	Myi	Mzi	Nf	Tyf	Tzf	Mxf	Myf	Mzf	Kt <daN/cmc>
1 Inc+Inc	SVI		1 1	1 1	1 1	1 1	1 1	1 1	1 1	1 1	1 1	1 1	1 1	1 1	

## Elenco aste

### Simbologia

Asta = Numero dell'asta

N1 = Nodo iniziale

N2 = Nodo finale

Sez. = Numero della sezione

Va = Numero del vincolo asta

Par. = Numero dei parametri aggiuntivi

Rot. = Rotazione

FF = Filo fisso

Dy1 = Scost. filo fisso Y1

Dy2 = Scost. filo fisso Y2

Dz1 = Scost. filo fisso Z1

Dz2 = Scost. filo fisso Z2

Kt = Coeff. di sotterraneo su suolo elastico alla Winkler

Asta	N1	N2	Sez.	Va	Par.	Rot. <grad>	FF <cm>	Dy1 <cm>	Dy2 <cm>	Dz1 <cm>	Dz2 <cm>	Kt <daN/cmc>
10 110 -90	1	1				0.00	11	0.00	0.00	0.00	0.00	
10 -90 494	1	1				0.00	11	0.00	0.00	0.00	0.00	
10 494 -89	2	1				0.00	11	0.00	0.00	0.00	0.00	
10 -89 495	2	1				0.00	11	0.00	0.00	0.00	0.00	
10 495 -88	3	1				0.00	11	0.00	0.00	0.00	0.00	
10 -88 496	3	1				0.00	11	0.00	0.00	0.00	0.00	
10 496 -87	4	1				0.00	11	0.00	0.00	0.00	0.00	
10 -87 497	4	1				0.00	11	0.00	0.00	0.00	0.00	
10 497 -86	5	1				0.00	11	0.00	0.00	0.00	0.00	
10 -86 498	5	1				0.00	11	0.00	0.00	0.00	0.00	
10 498 -85	6	1				0.00	11	0.00	0.00	0.00	0.00	
10 -85 502	6	1				0.00	11	0.00	0.00	0.00	0.00	
10 502 -84	7	1				0.00	11	0.00	0.00	0.00	0.00	
10 -84 501	7	1				0.00	11	0.00	0.00	0.00	0.00	
10 501 -83	8	1				0.00	11	0.00	0.00	0.00	0.00	
10 -83 500	8	1				0.00	11	0.00	0.00	0.00	0.00	
10 500 -82	9	1				0.00	11	0.00	0.00	0.00	0.00	
10 -82 499	9	1				0.00	11	0.00	0.00	0.00	0.00	
10 499 -81	10	1				0.00	11	0.00	0.00	0.00	0.00	
10 -81 503	10	1				0.00	11	0.00	0.00	0.00	0.00	
10 503 -80	11	1				0.00	11	0.00	0.00	0.00	0.00	
10 -80 504	11	1				0.00	11	0.00	0.00	0.00	0.00	
10 504 -79	11	1				0.00	11	0.00	0.00	0.00	0.00	
10 -79 505	11	1				0.00	11	0.00	0.00	0.00	0.00	

## Relazione di calcolo

10	505	-78	19	1		0.00	11	0.00	0.00	0.00	0.00	
10	-78	506	19	1		0.00	11	0.00	0.00	0.00	0.00	
10	506	-77	19	1		0.00	11	0.00	0.00	0.00	0.00	
10	-77	507	19	1		0.00	11	0.00	0.00	0.00	0.00	
10	507	-76	29	1		0.00	11	0.00	0.00	0.00	0.00	
10	-76	508	29	1		0.00	11	0.00	0.00	0.00	0.00	
10	508	-75	29	1		0.00	11	0.00	0.00	0.00	0.00	
10	-75	509	29	1		0.00	11	0.00	0.00	0.00	0.00	

## Elenco tipi elementi bidimensionali

### Simbologia

Tb	= Numero del tipo muro/elemento bidimensionale
Comm.	= Commento
Tip.	= Tipologia
	F = Membranale e Flessionale
	M = Membranale
	W-RC = Winkler resistente solo a compressione
	W-RTC = Winkler resistente a trazione e a compressione
Us.	= Utilizzo
	G = Generico
	P = Parete
	S = Soletta/Platea
	N = Nucleo
	M = Muratura ordinaria
	L = Pilastro
	MA = Muratura armata
	X = Pannello X-LAM
Spess.	= Spessore
Kt	= Coeff. di sottofondo su suolo elastico alla Winkler
DP	= Drucker-Prager
Ang. att.	= Angolo di attrito
Coes.	= Cohesione
Crit.	= Numero del criterio di progetto
Mat.	= Numero del materiale

Tb	Comm.	Tip.	Us.	Spess. <cm>	Kt <daN/cmc>	DP	Ang. att. <grad>	Coes. <daN/mq>	Crit.	Mat.
1	s2150	F	S	215.00		N	0.00	0.00	1	
2	s2450	F	S	245.00		N	0.00	0.00	1	
3	s2750	F	S	275.00		N	0.00	0.00	1	
4	s3050	F	S	305.00		N	0.00	0.00	1	
5	s3550	F	S	355.00		N	0.00	0.00	1	
6	s4000	F	S	400.00		N	0.00	0.00	1	
7	s200	F	G	20.00		N	0.00	0.00	1	2

## Elenco elementi bidimensionali

### Simbologia

Bid.	Tb	FF	Dy1 <cm>	Dy2 <cm>	Kt <daN/cmc>	NN
112	7	22	0.00	0.00		110 111 -49 -68
113	7	22	0.00	0.00		110 111 -48 -67
114	7	22	0.00	0.00		110 111 -47 -66
115	7	22	0.00	0.00		110 111 -46 -65
116	7	22	0.00	0.00		110 111 -50 -69
117	7	22	0.00	0.00		110 111 -41 -60
118	7	22	0.00	0.00		110 111 -52 -71
119	7	22	0.00	0.00		110 111 -43 -62
120	7	22	0.00	0.00		110 111 -54 -73
121	7	22	0.00	0.00		110 111 -45 -64
1902	6	33	0.00	0.00		-37 -38 1
1902	6	33	0.00	0.00		-51 -52 1
1902	6	33	0.00	0.00		252 253 -41 -40
1902	6	33	0.00	0.00		-1 -37 1
1902	6	33	0.00	0.00		388 389 258 257
1902	2	33	0.00	0.00		465 466 447 446
1902	4	33	0.00	0.00		426 427 408 407
1902	5	33	0.00	0.00		416 417 398 397
1902	6	33	0.00	0.00		263 264 -52 -51
1902	6	33	0.00	0.00		-53 -54 1
1902	6	33	0.00	0.00		262 263 -51 -50

Bid.	Tb	FF	Dy1 <cm>	Dy2 <cm>	Kt <daN/cmc>	NN
112	7	22	0.00	0.00		110 111 -39 -58
113	7	22	0.00	0.00		110 111 -38 -57
114	7	22	0.00	0.00		110 111 -37 -56
115	7	22	0.00	0.00		111 -1 -19 110
116	7	22	0.00	0.00		110 111 -40 -59
117	7	22	0.00	0.00		110 111 -51 -70
118	7	22	0.00	0.00		110 111 -42 -61
119	7	22	0.00	0.00		110 111 -53 -72
120	7	22	0.00	0.00		110 111 -44 -63
121	7	22	0.00	0.00		110 111 -55 -74
1902	6	33	0.00	0.00		267 2 -1 -55
1902	6	33	0.00	0.00		253 254 -42 -41
1902	6	33	0.00	0.00		-50 -51 1
1902	3	33	0.00	0.00		443 444 425 424
1902	1	33	0.00	0.00		490 491 472 471
1902	6	33	0.00	0.00		251 252 -40 -39
1902	5	33	0.00	0.00		417 375 374 398
1902	1	33	0.00	0.00		488 489 470 469
1902	6	33	0.00	0.00		-54 -55 1
1902	6	33	0.00	0.00		-46 -47 1
1902	6	33	0.00	0.00		261 262 -50 -49

## Relazione di calcolo

1902	1	33	0.00	0.00		489	490	471	470
1902	6	33	0.00	0.00		249	250	-38	-37
1902	3	33	0.00	0.00		442	443	424	423
1902	6	33	0.00	0.00		398	374	2	267
1902	2	33	0.00	0.00		463	464	445	444
1902	5	33	0.00	0.00		415	416	397	396
1902	6	33	0.00	0.00		382	383	252	251
1902	4	33	0.00	0.00		427	428	409	408
1902	1	33	0.00	0.00		492	493	474	473
1902	1	33	0.00	0.00		491	492	473	472
1902	3	33	0.00	0.00		444	445	426	425
1902	6	33	0.00	0.00		260	261	-49	-48
1902	6	33	0.00	0.00		-48	-49	1	
1902	6	33	0.00	0.00		265	266	-54	-53
1902	1	33	0.00	0.00		485	486	467	466
1902	6	33	0.00	0.00		-42	-43	1	
1902	6	33	0.00	0.00		-40	-41	1	
1902	6	33	0.00	0.00		255	256	-44	-43
1902	6	33	0.00	0.00		396	397	266	265
1902	6	33	0.00	0.00		395	396	265	264
1902	6	33	0.00	0.00		394	395	264	263
1902	5	33	0.00	0.00		412	413	394	393
1902	3	33	0.00	0.00		437	438	419	418
1902	2	33	0.00	0.00		459	460	441	440
1902	5	33	0.00	0.00		411	412	393	392
1902	5	33	0.00	0.00		410	411	392	391
1902	2	33	0.00	0.00		458	459	440	439
1902	5	33	0.00	0.00		409	410	391	390
1902	4	33	0.00	0.00		422	423	404	403
1902	6	33	0.00	0.00		393	394	263	262
1902	6	33	0.00	0.00		386	387	256	255
1902	1	33	0.00	0.00		480	481	462	461
1902	6	33	0.00	0.00		-39	-40	1	
1902	2	33	0.00	0.00		457	458	439	438
1902	6	33	0.00	0.00		380	381	250	249
1902	2	33	0.00	0.00		378	456	437	377
1902	3	33	0.00	0.00		455	377	376	436
1902	1	33	0.00	0.00		479	480	461	460
1902	5	33	0.00	0.00		407	408	389	388
1902	6	33	0.00	0.00		391	392	261	260
1902	5	33	0.00	0.00		406	407	388	387
1902	1	33	0.00	0.00		476	477	458	457
1902	6	33	0.00	0.00		-47	-48	1	
1902	3	33	0.00	0.00		452	453	434	433
1902	1	33	0.00	0.00		475	476	457	456
1902	3	33	0.00	0.00		451	452	433	432
1902	4	33	0.00	0.00		433	434	415	414
1902	6	33	0.00	0.00		384	385	254	253
1902	6	33	0.00	0.00		374	380	249	2
1902	5	33	0.00	0.00		404	405	386	385
1902	2	33	0.00	0.00		473	474	455	454
1902	6	33	0.00	0.00		-45	-46	1	
1902	6	33	0.00	0.00		-44	-45	1	
1902	6	33	0.00	0.00		259	260	-48	-47
1902	6	33	0.00	0.00		257	258	-46	-45
1902	5	33	0.00	0.00		414	415	396	395
1902	3	33	0.00	0.00		439	440	421	420
1902	1	33	0.00	0.00		486	487	468	467
1902	2	33	0.00	0.00		461	462	443	442
1902	3	33	0.00	0.00		448	449	430	429
1902	2	33	0.00	0.00		471	472	453	452
1902	2	33	0.00	0.00		469	470	451	450
1902	2	33	0.00	0.00		467	468	449	448
1902	3	33	0.00	0.00		447	448	429	428
1902	5	33	0.00	0.00		403	404	385	384
1902	5	33	0.00	0.00		401	402	383	382
1902	6	33	0.00	0.00		389	390	259	258
1902	4	33	0.00	0.00		432	433	414	413
1902	4	33	0.00	0.00		430	431	412	411

## Elenco tipi plinti/pali

### Simbologia

Tl = Numero del tipo plinto/palo  
 Tipo = Tipologia  
 Gra = Gradoni  
 Pir = Piramidale  
 P = Palo  
 T3 = Triangolare 3 pali

## Relazione di calcolo

T3B = Triangolare 3 pali + bicchiere  
 R = Rettangolare  
 RB = Rettangolare + bicchiere  
 R1 = Rettangolare 1 palo  
 R1B = Rettangolare 1 palo + bicchiere  
 R2x = Rettangolare 2 pali dir. X  
 R2xB = Rettangolare 2 pali dir. X + bicchiere  
 R2y = Rettangolare 2 pali dir. Y  
 R2B = Rettangolare 2 pali dir. Y + bicchiere  
 R4 = Rettangolare 4 pali  
 R4B = Rettangolare 4 pali + bicchiere  
 P5 = Pentagonale 5 pali  
 P5B = Pentagonale 5 pali + bicchiere  
 E6 = Esagonale 6 pali  
 E6B = Esagonale 6 pali + bicchiere  
  
 Tp = Tipo palo  
 ND = Non definito  
 BP = Battuto prefabbricato  
 BGO = Battuto gettato in opera  
 T = Trivellato  
 TEC = Trivellato con elica continua  
 MP = Micropalo  
 Comm. = Commento  
 Lp = Lunghezza pali  
 R = Rotazione testa  
 B = Bloccata  
 L = Libera  
 Dp = Diametro pali  
 Crit. = Numero del criterio di progetto

T1	Tipo	Tp	Comm.	Lp <m>	R	Dp <m>	Crit.
1P	T	palo_100x3000	30.00	L	1.00		1

## Elenco plinti/pali

### Simbologia

PL = Plinto/Palo  
 T1 = Numero del tipo plinto/palo  
 Nodo = Nodo plinto/palo  
 Kt = Coeff. di sotterraneo su suolo elastico alla Winkler

PL	T1	Nodo	Kt <daN/cmc>												
378	1	378	---	457	1	457	---	459	1	459	---	461	1	461	---
465	1	465	---	467	1	467	---	469	1	469	---	471	1	471	---

## Carichi

### Elenco tipi CCE

### Simbologia

Tipo CCE = Tipo condizione di carico elementare

Comm. = Commento  
 Tipo = Tipologia  
 G = Permanente  
 Qv = Variabile vento  
 Q = Variabile  
 I = Da ignorare  
 A = Azione eccezionale  
 P = Precompressione  
 Durata = Durata del carico  
 N = Non definita  
 P = Permanente  
 L = Lunga  
 M = Media  
 B = Breve  
 I = Istantanea

$\gamma_{\min}$  = Coeff.  $\gamma_{\min}$ .  
 $\gamma_{\max}$  = Coeff.  $\gamma_{\max}$ .  
 $\psi_0$  = Coeff.  $\psi_0$ .  
 $\psi_1$  = Coeff.  $\psi_1$ .  
 $\psi_2$  = Coeff.  $\psi_2$ .  
 $\psi_{0,s}$  = Coeff.  $\psi_0$  sismico (D.M. 96)

Tipo CCE	Comm.	Tipo	Durata	$\gamma_{\min}$	$\gamma_{\max}$	$\psi_0$	$\psi_1$	$\psi_2$	$\psi_{0,s}$
1	D.M. 08 Permanenti strutturali	G	N	1.00	1.30				

## Relazione di calcolo

2	D.M. 08 Permanenti non strutturali	G	N	0.00	1.50			
10	D.M. 08 Variabili Vento	Q	N	0.00	1.50	0.60	0.20	0.00
11	D.M. 08 Variabili Neve (a quota <= 1000 m s.l.m.)	Q	N	0.00	1.50	0.50	0.20	0.00

### Condizioni di carico elementari

#### Simbologia

CCE = Numero della condizione di carico elementare

Comm. = Commento

Tipo CCE = Tipo di CCE per calcolo agli stati limite

Sic. = Contributo alla sicurezza

F = a favore

S = a sfavore

A = ambigua

Var. = Tipo di variabilità

B = di base

I = indipendente

A = ambigua

s = Coeff. di riduzione (T.A. o S.L. D.M. 96)

Dir. = Direzione del vento

Tipo = Tipologia di pressione vento

M = Massimizzata

E = Esterna

I = Interna

Mx = Moltiplicatore della massa in dir. X

My = Moltiplicatore della massa in dir. Y

Mz = Moltiplicatore della massa in dir. Z

Jpx = Moltiplicatore del momento d'inerzia intorno all'asse X

Jpy = Moltiplicatore del momento d'inerzia intorno all'asse Y

Jpz = Moltiplicatore del momento d'inerzia intorno all'asse Z

CCE	Comm.	Tipo CCE	Sic.	Var.	s	Dir. <grad>	Tipo	Mx	My	Mz	Jpx	Jpy	Jpz
1	peso proprio struttura		1S	--	1.00	--	--	1.00	1.00	0.00	0.00	0.00	1.00
2	peso navicella		2S	--	1.00	--	--	1.00	1.00	0.00	0.00	0.00	1.00
3	vento navicella		10S	B	1.00	--	--	1.00	1.00	0.00	0.00	0.00	1.00
4	vento torre		10S	B	1.00	--	--	1.00	1.00	0.00	0.00	0.00	1.00
5	neve navicella		11S	B	1.00	--	--	1.00	1.00	0.00	0.00	0.00	1.00
6	zavorra		1S	--	1.00	--	--	1.00	1.00	0.00	0.00	0.00	1.00

### Elenco carichi nodi Condizione di carico n. 2: peso navicella

#### Carichi concentrati

#### Simbologia

Nodo = Numero del nodo

Fx = Componente X della forza applicata

Fy = Componente Y della forza applicata

Fz = Componente Z della forza applicata

Mx = Momento intorno all'asse X

My = Momento intorno all'asse Y

Mz = Momento intorno all'asse Z

Nodo	Fx <daN>	Fy <daN>	Fz <daN>	Mx <daNm>	My <daNm>	Mz <daNm>
509	0.00	0.00	300000.00	0.00	0.00	0.00

### Condizione di carico n. 3: vento navicella

#### Carichi concentrati

Nodo	Fx <daN>	Fy <daN>	Fz <daN>	Mx <daNm>	My <daNm>	Mz <daNm>
509	-24100.00	55200.00	0.00	-389800.00	-227500.00	-153600.00

### Condizione di carico n. 4: vento torre

#### Carichi concentrati

Nodo	Fx <daN>	Fy <daN>	Fz <daN>	Mx <daNm>	My <daNm>	Mz <daNm>
-90	0.00	2719.00	0.00	0.00	0.00	0.00
-88	0.00	7432.00	0.00	0.00	0.00	0.00
-86	0.00	7749.00	0.00	0.00	0.00	0.00
-84	0.00	7552.00	0.00	0.00	0.00	0.00
-82	0.00	7093.00	0.00	0.00	0.00	0.00
-80	0.00	5453.00	0.00	0.00	0.00	0.00
-78	0.00	6716.00	0.00	0.00	0.00	0.00
-76	0.00	6680.00	0.00	0.00	0.00	0.00
503	0.00	61.00	0.00	0.00	0.00	0.00
507	0.00	65.00	0.00	0.00	0.00	0.00

Nodo	Fx <daN>	Fy <daN>	Fz <daN>	Mx <daNm>	My <daNm>	Mz <daNm>
-89	0.00	6794.00	0.00	0.00	0.00	0.00
-87	0.00	7687.00	0.00	0.00	0.00	0.00
-85	0.00	7693.00	0.00	0.00	0.00	0.00
-83	0.00	7347.00	0.00	0.00	0.00	0.00
-81	0.00	6801.00	0.00	0.00	0.00	0.00
-79	0.00	5542.00	0.00	0.00	0.00	0.00
-77	0.00	6824.00	0.00	0.00	0.00	0.00
-75	0.00	6175.00	0.00	0.00	0.00	0.00
505	0.00	63.00	0.00	0.00	0.00	0.00
509	0.00	55.00	0.00	0.00	0.00	0.00

## Relazione di calcolo

### Condizione di carico n. 5: neve navicella

#### Carichi concentrati

Nodo	Fx <daN>	Fy <daN>	Fz <daN>	Mx <daNm>	My <daNm>	Mz <daNm>
509	0.00	0.00	2700.00	0.00	0.00	0.00

### Elenco carichi aste Condizione di carico n. 1: peso proprio struttura

#### Elenco peso proprio aste

##### Simbologia

Sez. = Numero della sezione

Comm. = Commento

A = Area

Mat. = Materiale

P = Peso specifico

PL = Peso specifico a metro lineare

Sez.	Comm.	A <cmq>	Mat.	P <daN/mc>	PL <daN/m>
1s_01_01	193057.000000	Calcestruzzo	2500.00	48264.30	
2s_01_02	183953.000000	Calcestruzzo	2500.00	45988.20	
3s_01_03	157984.000000	Calcestruzzo	2500.00	39496.10	
4s_01_04	149892.000000	Calcestruzzo	2500.00	37472.90	
5s_01_05	126317.000000	Calcestruzzo	2500.00	31579.30	
6s_02_01	119236.000000	Calcestruzzo	2500.00	29809.00	
7s_02_02	97980.000000	Calcestruzzo	2500.00	24495.00	
8s_02_03	91910.400000	Calcestruzzo	2500.00	22977.60	
9s_02_04	73073.500000	Calcestruzzo	2500.00	18268.40	
10s_02_05	68015.500000	Calcestruzzo	2500.00	17003.90	
11s_03	5353.260000	Acciaio	7850.00	4202.31	
19s_04	4024.380000	Acciaio	7850.00	3159.14	
29s_05_01	3852.840000	Acciaio	7850.00	3024.48	

### Elenco carichi elementi bidimensionali Elenco peso proprio elementi bidimensionali

##### Simbologia

Tb = Numero del tipo muro/elemento bidimensionale

Comm. = Commento

Spess. = Spessore

Mat. = Materiale

P = Peso specifico

PQ = Peso specifico per unità di superficie

Tb	Comm.	Spess. <cm>	Mat.	P <daN/mc>	PQ <daN/mq>
1s2150	215.00	Calcestruzzo	2500.00	5375.00	
3s2750	275.00	Calcestruzzo	2500.00	6875.00	
5s3550	355.00	Calcestruzzo	2500.00	8875.00	
7s200	20.00	Acciaio	7850.00	1570.00	

Tb	Comm.	Spess. <cm>	Mat.	P <daN/mc>	PQ <daN/mq>
2s2450	245.00	Calcestruzzo	2500.00	6125.00	
4s3050	305.00	Calcestruzzo	2500.00	7625.00	
6s4000	400.00	Calcestruzzo	2500.00	10000.00	

### Condizione di carico n. 6: zavorra

#### Carichi uniformi

##### Simbologia

Bid. = Numero del muro/elemento bidimensionale

N1 = Nodo1

N2 = Nodo2

N3 = Nodo3

N4 = Nodo4

T = Tipo di carico

PP = Peso proprio

VE = Vento

M = Manuale

DC = Direzione del carico

G = secondo gli assi globali

L = secondo gli assi locali

Qx = Carico in dir. X

Qy = Carico in dir. Y

Qz = Carico in dir. Z

Bid.	N1	N2	N3	N4	T	DC	Qx <daN/mq>	Qy <daN/mq>	Qz <daN/mq>
1902	443	444	425	424	M	G	0.00	0.00	750.00
1902	465	466	447	446	M	G	0.00	0.00	1050.00
1902	417	375	374	398	M	G	0.00	0.00	150.00
1902	488	489	470	469	M	G	0.00	0.00	1350.00
1902	464	465	446	445	M	G	0.00	0.00	1050.00

Bid.	N1	N2	N3	N4	T	DC	Qx <daN/mq>	Qy <daN/mq>	Qz <daN/mq>
1902	490	491	472	471	M	G	0.00	0.00	1350.00
1902	426	427	408	407	M	G	0.00	0.00	450.00
1902	416	417	398	397	M	G	0.00	0.00	150.00
1902	489	490	471	470	M	G	0.00	0.00	1350.00
1902	442	443	424	423	M	G	0.00	0.00	750.00

## Relazione di calcolo

1902	375	399	380	374	MG	0.00	0.00	150.00	1902	441	442	423	422	MG	0.00	0.00	750.00
1902	463	464	445	444	MG	0.00	0.00	1050.00	1902	440	441	422	421	MG	0.00	0.00	750.00
1902	415	416	397	396	MG	0.00	0.00	150.00	1902	462	463	444	443	MG	0.00	0.00	1050.00
1902	428	429	410	409	MG	0.00	0.00	450.00	1902	427	428	409	408	MG	0.00	0.00	450.00
1902	493	379	378	474	MG	0.00	0.00	1350.00	1902	492	493	474	473	MG	0.00	0.00	1350.00
1902	399	400	381	380	MG	0.00	0.00	150.00	1902	491	492	473	472	MG	0.00	0.00	1350.00
1902	445	446	427	426	MG	0.00	0.00	750.00	1902	444	445	426	425	MG	0.00	0.00	750.00
1902	485	486	467	466	MG	0.00	0.00	1350.00	1902	460	461	442	441	MG	0.00	0.00	1050.00
1902	484	485	466	465	MG	0.00	0.00	1350.00	1902	413	414	395	394	MG	0.00	0.00	150.00
1902	412	413	394	393	MG	0.00	0.00	150.00	1902	483	484	465	464	MG	0.00	0.00	1350.00
1902	437	438	419	418	MG	0.00	0.00	750.00	1902	425	426	407	406	MG	0.00	0.00	450.00
1902	459	460	441	440	MG	0.00	0.00	1050.00	1902	377	437	418	376	MG	0.00	0.00	750.00
1902	411	412	393	392	MG	0.00	0.00	150.00	1902	424	425	406	405	MG	0.00	0.00	450.00
1902	410	411	392	391	MG	0.00	0.00	150.00	1902	482	483	464	463	MG	0.00	0.00	1350.00
1902	458	459	440	439	MG	0.00	0.00	1050.00	1902	481	482	463	462	MG	0.00	0.00	1350.00
1902	409	410	391	390	MG	0.00	0.00	150.00	1902	423	424	405	404	MG	0.00	0.00	450.00
1902	422	423	404	403	MG	0.00	0.00	450.00	1902	436	376	375	417	MG	0.00	0.00	450.00
1902	408	409	390	389	MG	0.00	0.00	150.00	1902	435	436	417	416	MG	0.00	0.00	450.00
1902	480	481	462	461	MG	0.00	0.00	1350.00	1902	457	458	439	438	MG	0.00	0.00	1050.00
1902	456	457	438	437	MG	0.00	0.00	1050.00	1902	421	422	403	402	MG	0.00	0.00	450.00
1902	378	456	437	377	MG	0.00	0.00	1050.00	1902	420	421	402	401	MG	0.00	0.00	450.00
1902	455	377	376	436	MG	0.00	0.00	750.00	1902	419	420	401	400	MG	0.00	0.00	450.00
1902	479	480	461	460	MG	0.00	0.00	1350.00	1902	478	479	460	459	MG	0.00	0.00	1350.00
1902	407	408	389	388	MG	0.00	0.00	150.00	1902	434	435	416	415	MG	0.00	0.00	450.00
1902	454	455	436	435	MG	0.00	0.00	750.00	1902	406	407	388	387	MG	0.00	0.00	150.00
1902	477	478	459	458	MG	0.00	0.00	1350.00	1902	476	477	458	457	MG	0.00	0.00	1350.00
1902	453	454	435	434	MG	0.00	0.00	750.00	1902	452	453	434	433	MG	0.00	0.00	750.00
1902	405	406	387	386	MG	0.00	0.00	150.00	1902	475	476	457	456	MG	0.00	0.00	1350.00
1902	451	452	433	432	MG	0.00	0.00	750.00	1902	450	451	432	431	MG	0.00	0.00	750.00
1902	433	434	415	414	MG	0.00	0.00	450.00	1902	379	475	456	378	MG	0.00	0.00	1350.00
1902	449	450	431	430	MG	0.00	0.00	750.00	1902	404	405	386	385	MG	0.00	0.00	150.00
1902	474	378	377	455	MG	0.00	0.00	1050.00	1902	473	474	455	454	MG	0.00	0.00	1050.00
1902	418	419	400	399	MG	0.00	0.00	450.00	1902	414	415	396	395	MG	0.00	0.00	150.00
1902	487	488	469	468	MG	0.00	0.00	1350.00	1902	439	440	421	420	MG	0.00	0.00	750.00
1902	438	439	420	419	MG	0.00	0.00	750.00	1902	486	487	468	467	MG	0.00	0.00	1350.00
1902	461	462	443	442	MG	0.00	0.00	1050.00	1902	448	449	430	429	MG	0.00	0.00	750.00
1902	472	473	454	453	MG	0.00	0.00	1050.00	1902	471	472	453	452	MG	0.00	0.00	1050.00
1902	470	471	452	451	MG	0.00	0.00	1050.00	1902	469	470	451	450	MG	0.00	0.00	1050.00
1902	468	469	450	449	MG	0.00	0.00	1050.00	1902	467	468	449	448	MG	0.00	0.00	1050.00
1902	466	467	448	447	MG	0.00	0.00	1050.00	1902	447	448	429	428	MG	0.00	0.00	750.00
1902	446	447	428	427	MG	0.00	0.00	750.00	1902	403	404	385	384	MG	0.00	0.00	150.00
1902	402	403	384	383	MG	0.00	0.00	150.00	1902	401	402	383	382	MG	0.00	0.00	150.00
1902	400	401	382	381	MG	0.00	0.00	150.00	1902	376	418	399	375	MG	0.00	0.00	450.00
1902	432	433	414	413	MG	0.00	0.00	450.00	1902	431	432	413	412	MG	0.00	0.00	450.00
1902	430	431	412	411	MG	0.00	0.00	450.00	1902	429	430	411	410	MG	0.00	0.00	450.00

## Analisi dei carichi da vento

### Calcolo delle azioni del vento

Normativa di riferimento: Norme tecniche per le costruzioni D.M. 17 gennaio 2018 e Circolare 21 gennaio 2019, n. 7 del Ministero delle Infrastrutture e dei Trasporti

Zona di ubicazione dell'edificio: 3 - Toscana, Marche, Umbria, Lazio, Abruzzo, Molise, Puglia, Campania, Basilicata, Calabria (esclusa la Provincia di Reggio Calabria)

Classe di rugosità del terreno: D - a) Mare e relativa fascia costiera b) Lago e relativa fascia costiera c) Area priva di ostacoli o con al più rari ostacoli isolati (tab. 3.3.III)

Categoria di esposizione del sito: II

Parametri derivati (tab. 3.3.I):

$V_{b,0}$  (velocità base di riferimento al livello del mare): 27.00 <m/sec>  
 $a_0$ : 500.00 <m>

$K_s$ : 0.37

Parametri derivati (tab. 3.3.II):

$K_x$ : 0.19  
 $z_0$ : 0.05 <m>  
 $z_{min}$ : 4.00 <m>

## Avetrana

Classificazione della costruzione: Edifici a pianta circolare - Superficie laterale (C3.3.8.3)

$a_s$  (altitudine sul livello del mare): 70.00 <m>

$T_r$  (tempo di ritorno): 50 anni

## Relazione di calcolo

---

V<sub>b</sub> (velocità base di riferimento [3.3.1]): 27.00 <m/sec>  
C<sub>a</sub> (coefficiente di altitudine [3.3.1.b]): 1.00  
V<sub>r</sub> (velocità di riferimento [3.3.2]): 27.00 <m/sec>  
C<sub>r</sub> (coefficiente di ritorno [3.3.3]): 1.00  
C<sub>t</sub> (coefficiente topografico): 1.00  
q<sub>r</sub> (pressione cinetica di riferimento): 45.56 <daN/mq>  
C<sub>e</sub> (coefficiente di esposizione): 4.15  
C<sub>d</sub> (coefficiente dinamico): 1.00  
h (altezza dell'edificio): 119.00 <m>  
b (diametro): 50.00 <m>  
Re (Numero di Reynolds): 5.010E+05  
α<sub>m</sub>: 85.00  
α<sub>b</sub>: 135.00

Coefficiente di pressione C<sub>pe</sub>:

C<sub>p0</sub>: 1.00  
C<sub>pm</sub>: -2.20  
C<sub>pb</sub>: -0.40

Pressioni esterne:

C<sub>p0</sub>: 188.94 <daN/mq>  
C<sub>pm</sub>: -415.67 <daN/mq>  
C<sub>pb</sub>: -75.58 <daN/mq>

Criteri di valutazione del C<sub>pi</sub> (C3.3.8.5) riferiti a edifici aventi: Area con distribuzione uniforme di aperture

Coefficiente di pressione C<sub>pi</sub>:

positivo: 0.20  
negativo: -0.30

Pressioni interna:

positiva: 37.79 <daN/mq>  
negativa: -56.68 <daN/mq>

Pressioni massimizzate (esterne+interne):

C<sub>p0</sub>: 245.63 <daN/mq>  
C<sub>pm</sub>: -453.46 <daN/mq>  
C<sub>pb</sub>: -113.37 <daN/mq>

## Analisi dei carichi da neve

### Calcolo delle azioni della neve

Normativa di riferimento: Norme tecniche per le costruzioni D.M. 17 gennaio 2018 e Circolare 21 gennaio 2019,n. 7 del Ministero delle Infrastrutture e dei Trasporti

Zona di ubicazione dell'edificio: III

Agrigento, Brindisi, Cagliari, Caltanissetta, Carbonia - Iglesias, Caserta, Catania, Catanzaro, Cosenza, Crotone, Enna, Grosseto, Latina, Lecce, Livorno, Matera, Medio Campidano, Messina, Napoli, Nuoro, Ogliastra, Olbia - Tempio, Oristano, Palermo, Pisa, Potenza, Ragusa, Reggio Calabria, Roma, Salerno, Sassari, Siena, Siracusa, Taranto, Terni, Trapani, Vibo Valentia, Viterbo

Coefficiente di esposizione del sito: Battuta dai venti

### Avetrana

Classificazione della costruzione: Copertura ad una falda senza barriera o parapetto

W (dimensione minore in pianta della copertura [C3.4.3.2]): 4.20 <m>  
L (dimensione maggiore in pianta della copertura [C3.4.3.2]): 12.80 <m>  
Lc (dimensione equivalente in pianta della copertura [C3.4.3.2]): 7.02 <m>  
C<sub>e,f</sub>: 1.00  
T<sub>r</sub> (tempo di ritorno): 50 anni  
C<sub>t</sub> (coefficiente termico): 1.00  
a<sub>s</sub> (altitudine sul livello del mare): 70.00 <m>

α (angolo inclinazione): 0.00 <grad>

Parametri derivati (3.4.2):

qsk (valore di riferimento del carico neve al suolo): 60.00 <daN/mq>

Parametri derivati (tab. 3.4.I):

C<sub>E</sub> (coefficiente d'esposizione): 0.90  
μ<sub>1</sub> (coefficiente di forma della copertura): 0.80

Carichi agenti:

qss (carico provocato dalla neve sulle coperture): 43.20 <daN/mq>

## Risultati del calcolo

## Relazione di calcolo

---

### Parametri di calcolo

La modellazione della struttura e la rielaborazione dei risultati del calcolo sono stati effettuati con:  
ModeSt ver. 8.22, prodotto da Tecnisoft s.a.s. - Prato

La struttura è stata calcolata utilizzando come solutore agli elementi finiti:  
Xfinest ver. 2014, prodotto da Ce.A.S. S.r.l. - Milano

Tipo di normativa: stato limite D.M. 18

Tipo di calcolo: analisi sismica statica

Vincoli esterni: Considera sempre vincoli assegnati in modellazione

Schematizzazione piani rigidi: nessun impalcato rigido

Modalità di recupero masse secondarie: mantenere sul nodo masse e forze relative

### Generazione combinazioni

- Lineari: Sì
- Valuta spostamenti e non sollecitazioni: No
- Buckling: No

### Opzioni di calcolo

- Sono state considerate infinitamente rigide le zone di connessione fra travi, pilastri ed elementi bidimensionali con una riduzione del 20%
- Calcolo con offset rigidi dai nodi: No
- Uniformare i carichi variabili: No
- Massimizzare i carichi variabili: No
- Recupero carichi zone rigide: taglio e momento flettente
- Modalità di combinazione momento torcente: disaccoppiare le azioni

### Opzioni del solutore

- Tipo di elemento bidimensionale: QF46
- Calcolo sforzo nei nodi: No
- Trascura deformabilità a taglio delle aste: No
- Analisi dinamica con metodo di Lanczos: Sì
- Check sequenza di Sturm: Sì
- Analisi non lineare con Newton modificato: No
- Usa formulazione secante per buckling: No
- Trascura buckling torsionale: No

### Dati struttura

- Sito di costruzione: Unnamed Road, 72027 San Pietro Vernotico BR, Italia LON. 17.97810 LAT. 40.52350  
Contenuto tra ID reticolo: 34145 34367 34146 34368

### Simbologia

TCC = Tipo di combinazione di carico

SLU = Stato limite ultimo

SLU S = Stato limite ultimo (azione sismica)

SLE R = Stato limite d'esercizio, combinazione rara

SLE F = Stato limite d'esercizio, combinazione frequente

SLE Q = Stato limite d'esercizio, combinazione quasi permanente

SLD = Stato limite di danno

SLV = Stato limite di salvaguardia della vita

SLC = Stato limite di prevenzione del collasso

SLO = Stato limite di operatività

SLU I = Stato limite di resistenza al fuoco

SND = Stato limite di salvaguardia della vita (non dissipativo)

T<sub>R</sub> = Periodo di ritorno <anni>

Ag = Accelerazione orizzontale massima al sito

Fo = Valore massimo del fattore di amplificazione dello spettro in accelerazione orizzontale

Tc\* = Periodo di inizio del tratto a velocità costante dello spettro in accelerazione orizzontale <sec>

S<sub>s</sub> = Coefficiente di amplificazione stratigrafica

C<sub>c</sub> = Coefficiente funzione della categoria del suolo

TCC	T <sub>R</sub>	Ag <g>	Fo	Tc*	S <sub>s</sub>	C <sub>c</sub>
SLD	201	0.0340	2.42	0.37	1.20	1.34
SLV	1898	0.0682	2.66	0.54	1.20	1.24

- Edificio esistente: No
- Tipo di opera: Opera ordinaria
- Vita nominale V<sub>N</sub>: 100.00
- Classe d'uso: Classe IV
- SL Esercizio: SLOPvr No, SLDPvr 63.00
- SL Ultimi: SLVPvr 10.00, SLCPvr No
- Struttura dissipativa: Sì
- Classe di duttilità: Classe B
- Quota di riferimento: 0.00 <m>

## Relazione di calcolo

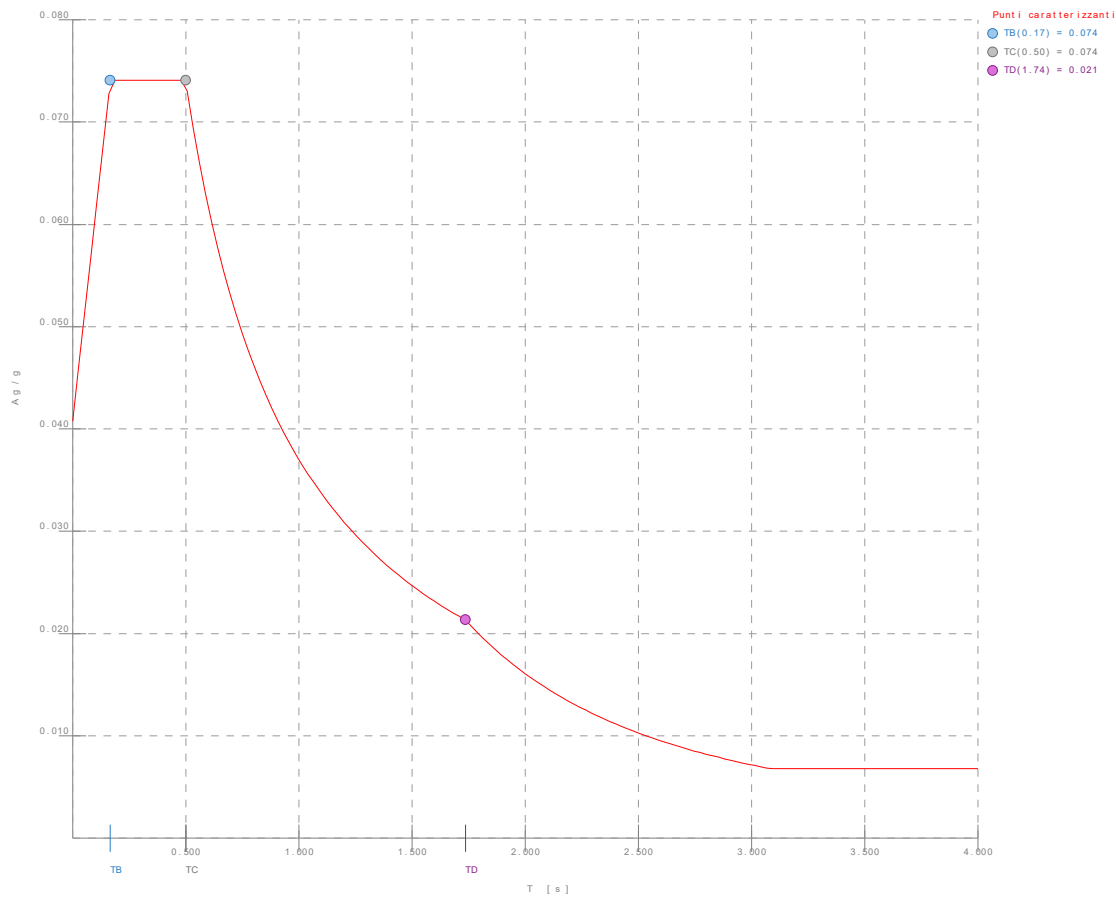
- Quota max della struttura: 169.90 <m>
- Altezza della struttura: 169.90 <m>
- Numero piani edificio: 0
- Coefficiente  $\theta$ : 0.00
- Edificio regolare in altezza: Sì
- Edificio regolare in pianta: Sì
- Forze orizzontali convenzionali per stati limite non sismici: No
- Genera stati limite per verifiche di resistenza al fuoco: No

### Dati di calcolo

- Categoria del suolo di fondazione: B
- Tipologia strutturale: acciaio a mensola o a pendolo inverso

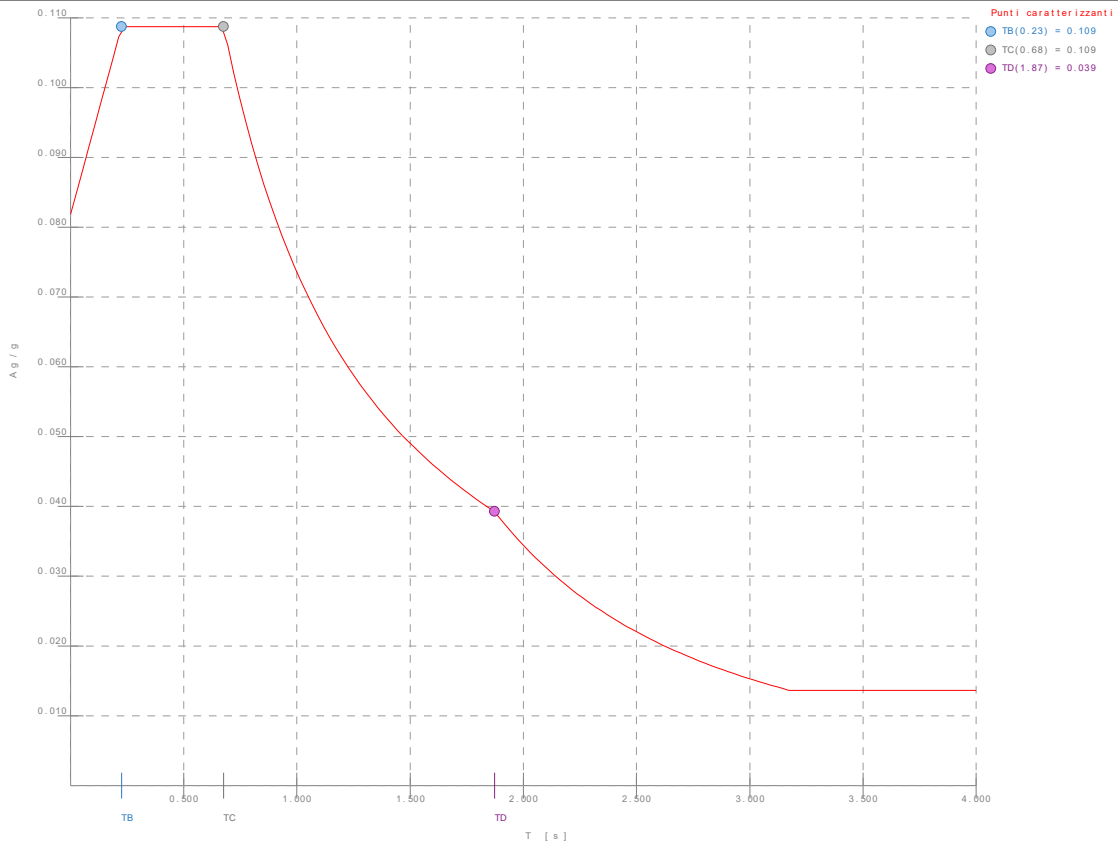
Periodo $T_1$	4.000011
Coeff. $\lambda$ SLD	1.00
Coeff. $\lambda$ SLV	1.00
Rapporto di sovraresistenza ( $\alpha_u/\alpha_1$ )	1.00
Valore di riferimento del fattore di comportamento ( $q_0$ )	2.00
Fattore riduttivo ( $K_w$ )	1.00
Fattore riduttivo regolarità in altezza (KR)	1.00
Fattore di comportamento dissipativo (q)	2.00
Fattore di comportamento non dissipativo (qND)	1.33
Fattore di comportamento per SLD (qD)	1.33

- Categoria topografica: T1 - Superficie pianeggiante, pendii e rilievi isolati con inclinazione media  $i \leq 15^\circ$
- Coeff. amplificazione topografica  $S_T$ : 1.00
- Accelerazione di picco del terreno  $A_{gS}$ : 0.0818 <g>
- Fattore di comportamento per sisma verticale ( $q_v$ ): 1.50
- Smorzamento spettro: 5.00%

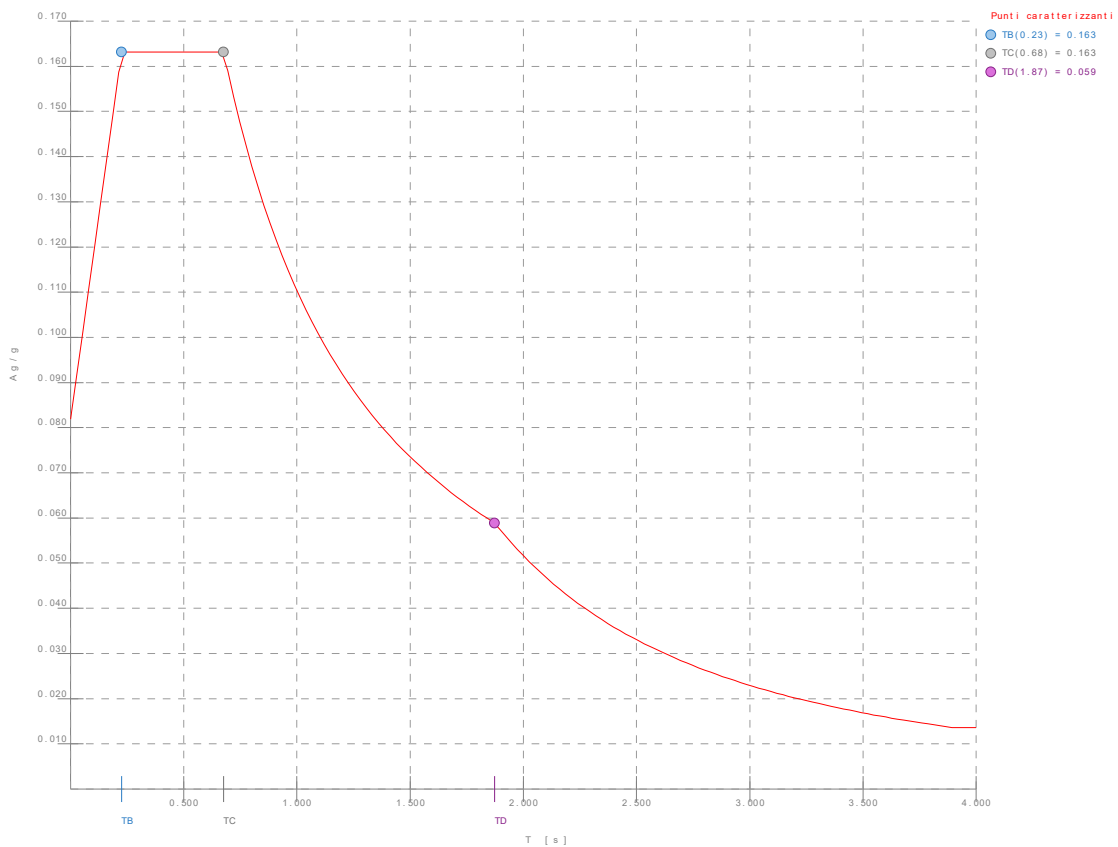


**Figura numero 1: Spettro SLD**

## Relazione di calcolo



**Figura numero 2: Spettro SLV**



**Figura numero 3: Spettro SND**

- Angolo di ingresso del sisma: 0.00 <grad>
- Tipo di combinazione sismica: 30% esteso

## Relazione di calcolo

### Simbologia

N = Numero  
 Comm. = Commento  
 1 = peso proprio struttura  
 2 = peso navicella  
 3 = vento navicella  
 4 = vento torre  
 5 = neve navicella  
 6 = zavorra  
 F = azioni orizzontali convenzionali  
 SLU = Stato limite ultimo  
 SLR = Stato limite per combinazioni rare  
 SLF = Stato limite per combinazioni frequenti  
 SLQ/D = Stato limite per combinazioni quasi permanenti o di danno  
 S = Sì  
 N = No

N	Comm.	1	2	3	4	5	6	SLU	SLR	SLF	SLQ
1	Calcolo sismico	S	S	S	S	S	S	N	N	N	
2	Calcolo statico	S	S	S	S	S	S	S	S	S	

### Elenco combinazioni di carico simboliche

### Simbologia

CC = Numero della combinazione delle condizioni di carico elementari  
 Comm. = Commento  
 TCC = Tipo di combinazione di carico  
 SLU = Stato limite ultimo  
 SLU S = Stato limite ultimo (azione sismica)  
 SLE R = Stato limite d'esercizio, combinazione rara  
 SLE F = Stato limite d'esercizio, combinazione frequente  
 SLE Q = Stato limite d'esercizio, combinazione quasi permanente  
 SLD = Stato limite di danno  
 SLV = Stato limite di salvaguardia della vita  
 SLC = Stato limite di prevenzione del collasso  
 SLO = Stato limite di operatività  
 SLU I = Stato limite di resistenza al fuoco  
 SND = Stato limite di salvaguardia della vita (non dissipativo)

CC	Comm.	TCC	1	2	3	4	5	6	S
1	Amb. 1 (Sisma)	SLU S	1	1	$\psi_2$	$\psi_2$	$\psi_2$	1	1
2	Amb. 2 (SLU)	SLU	$\gamma_{\max}$	$\gamma_{\max}$	$\gamma_{\max}$	$\gamma_{\max}$	$\gamma_{\max}$	$\gamma_{\max}$	-----
3	Amb. 2 (SLE R)	SLE R	1	1	1	1	1	1	-----
4	Amb. 2 (SLE F)	SLE F	1	1	$\psi_1$	$\psi_1$	$\psi_1$	1	-----
5	Amb. 2 (SLE Q)	SLE Q	1	1	$\psi_2$	$\psi_2$	$\psi_2$	1	-----

Genera le combinazioni con un solo carico di tipo variabile come di base: No

Considera sollecitazioni dinamiche con segno dei modi principali: No

### Combinazioni delle CCE

### Simbologia

CC = Numero della combinazione delle condizioni di carico elementari  
 Comm. = Commento  
 TCC = Tipo di combinazione di carico  
 SLU = Stato limite ultimo  
 SLU S = Stato limite ultimo (azione sismica)  
 SLE R = Stato limite d'esercizio, combinazione rara  
 SLE F = Stato limite d'esercizio, combinazione frequente  
 SLE Q = Stato limite d'esercizio, combinazione quasi permanente  
 SLD = Stato limite di danno  
 SLV = Stato limite di salvaguardia della vita  
 SLC = Stato limite di prevenzione del collasso  
 SLO = Stato limite di operatività  
 SLU I = Stato limite di resistenza al fuoco  
 SND = Stato limite di salvaguardia della vita (non dissipativo)  
 An. = Tipo di analisi  
 L = Lineare  
 NL = Non lineare  
 Bk = Buckling  
 S = Sì  
 N = No

CC	Comm.	TCC	An.	Bk	1	2	3	4	5	6	S X	S Y
1	Amb. 1 (SLU S) S +X+0.3Y	SLV+SND	L	N	1.00	1.00	0.00	0.00	0.00	1.00	1.00	0.30
2	Amb. 1 (SLE) S +X+0.3Y	SLD	L	N	1.00	1.00	0.00	0.00	0.00	1.00	1.00	0.30
3	Amb. 1 (SLU S) S +X-0.3Y	SLV+SND	L	N	1.00	1.00	0.00	0.00	0.00	1.00	1.00	-0.30
4	Amb. 1 (SLE) S +X-0.3Y	SLD	L	N	1.00	1.00	0.00	0.00	0.00	1.00	1.00	-0.30
5	Amb. 1 (SLU S) S -X+0.3Y	SLV+SND	L	N	1.00	1.00	0.00	0.00	0.00	1.00	-1.00	0.30

## Relazione di calcolo

6	Amb.	1	(SLE)	S	-X+0.3Y	SLD	L	N	1.00	1.00	0.00	0.00	0.00	1.00	-1.00	0.30
7	Amb.	1	(SLU)	S	-X-0.3Y	SLV+SND	L	N	1.00	1.00	0.00	0.00	0.00	1.00	-1.00	-0.30
8	Amb.	1	(SLE)	S	-X-0.3Y	SLD	L	N	1.00	1.00	0.00	0.00	0.00	1.00	-1.00	-0.30
9	Amb.	1	(SLU)	S	+0.3X+Y	SLV+SND	L	N	1.00	1.00	0.00	0.00	0.00	1.00	0.30	1.00
10	Amb.	1	(SLE)	S	+0.3X+Y	SLD	L	N	1.00	1.00	0.00	0.00	0.00	1.00	0.30	1.00
11	Amb.	1	(SLU)	S	-0.3X+Y	SLV+SND	L	N	1.00	1.00	0.00	0.00	0.00	1.00	-0.30	1.00
12	Amb.	1	(SLE)	S	-0.3X+Y	SLD	L	N	1.00	1.00	0.00	0.00	0.00	1.00	-0.30	1.00
13	Amb.	1	(SLU)	S	+0.3X-Y	SLV+SND	L	N	1.00	1.00	0.00	0.00	0.00	1.00	0.30	-1.00
14	Amb.	1	(SLE)	S	+0.3X-Y	SLD	L	N	1.00	1.00	0.00	0.00	0.00	1.00	0.30	-1.00
15	Amb.	1	(SLU)	S	-0.3X-Y	SLV+SND	L	N	1.00	1.00	0.00	0.00	0.00	1.00	-0.30	-1.00
16	Amb.	1	(SLE)	S	-0.3X-Y	SLD	L	N	1.00	1.00	0.00	0.00	0.00	1.00	-0.30	-1.00
17	Amb.	2	(SLU)			SLU	L	N	1.30	1.50	1.50	1.50	1.50	1.30	0.00	0.00
18	Amb.	2	(SLE)	R		SLE R	L	N	1.00	1.00	1.00	1.00	1.00	1.00	0.00	0.00
19	Amb.	2	(SLE)	F		SLE F	L	N	1.00	1.00	0.20	0.20	0.20	1.00	0.00	0.00
20	Amb.	2	(SLE)	Q		SLE Q	L	N	1.00	1.00	0.00	0.00	0.00	1.00	0.00	0.00

### Elenco masse nodi

#### Simbologia

Nodo = Numero del nodo  
Mo = Massa orizzontale

Nodo	Mo <kg>														
-90	261739.00	-89	247989.00	-88	212981.00	-87	202071.00	-86	170290.00	-85	161655.00	-84	132088.00	-78	17054.80
-83	123906.00	-82	98511.40	-81	91692.60	-80	19030.40	-79	19030.40	-78	17054.80	-77	17054.80	-71	2560.65
-76	16440.40	-75	16440.40	-74	2560.65	-73	2560.65	-72	2560.65	-66	2560.65	-65	2560.65	-64	2560.65
-69	2560.65	-68	2560.65	-67	2560.65	-60	2560.65	-59	2560.65	-494	254864.00	-495	230485.00	-58	2560.65
-62	2560.65	-61	2560.65	110	174081.00	111	43211.00	500	111209.00	501	127997.00	502	146872.00	496	207526.00
-19	2560.65	498	165973.00	499	95102.00	506	17054.80	507	16747.60	508	16440.40	509	314031.00	503	55361.50
505	18042.60													504	19030.30

### Totali masse nodi

Mo <kg>
4059390.00

### Elenco forze sismiche nodali allo SLD

#### Simbologia

Nodo = Numero del nodo  
cx = Coeff. c in dir. X  
cy = Coeff. c in dir. Y  
Fx = Forza in dir. X  
Fy = Forza in dir. Y

Nodo	cx	cy	Fx <daN>	Fy <daN>	Nodo	cx	cy	Fx <daN>	Fy <daN>	Nodo	cx	cy	Fx <daN>	Fy <daN>	Nodo	cx	cy	Fx <daN>	Fy <daN>
-90	0.01	0.01	266.20	266.20	-89	0.02	0.02	548.89	548.89	-88	0.03	0.03	725.48	725.48	-85	0.04	0.04	1129.73	1129.73
-87	0.03	0.03	929.37	929.37	-86	0.04	0.04	986.35	986.35	-83	0.04	0.04	1161.96	1161.96	-82	0.04	0.04	1041.33	1041.33
-84	0.04	0.04	1081.12	1081.12	-80	0.01	0.01	244.75	244.75	-77	0.01	0.01	275.52	275.52	-79	0.01	0.01	263.81	263.81
-81	0.04	0.04	1078.64	1078.64	-78	0.01	0.01	255.16	255.16	-74	0.00	0.00	1.07	1.07	-76	0.01	0.01	285.30	285.30
-75	0.01	0.01	305.07	305.07	-72	0.00	0.00	1.07	1.07	-71	0.00	0.00	1.07	1.07	-68	0.00	0.00	1.07	1.07
-72	0.00	0.00	1.07	1.07	-69	0.00	0.00	1.07	1.07	-65	0.00	0.00	1.07	1.07	-62	0.00	0.00	1.07	1.07
-66	0.00	0.00	1.07	1.07	-63	0.00	0.00	1.07	1.07	-59	0.00	0.00	1.07	1.07	-56	0.00	0.00	1.07	1.07
-60	0.00	0.00	1.07	1.07	-57	0.00	0.00	1.07	1.07	111	0.00	0.00	7.31	7.31	494	0.02	0.02	412.09	412.09
-57	0.00	0.00	1.07	1.07	110	0.00	0.00	72.62	72.62	496	0.03	0.03	830.68	830.68	497	0.04	0.04	967.34	967.34
495	0.02	0.02	647.62	647.62	498	0.04	0.04	1060.34	1060.34	499	0.04	0.04	1062.02	1062.02	500	0.04	0.04	1109.22	1109.22
501	0.04	0.04	1123.98	1123.98	502	0.04	0.04	1114.51	1114.51	503	0.03	0.03	684.27	684.27	506	0.01	0.01	265.34	265.34
504	0.01	0.01	254.28	254.28	507	0.01	0.01	280.56	280.56	508	0.01	0.01	295.19	295.19	509	0.22	0.22	6015.99	6015.99

### Totali forze sismiche

Fx <daN>	Fy <daN>
27062.50	27062.50

### Elenco forze sismiche nodali allo SLV

Nodo	cx	cy	Fx <daN>	Fy <daN>	Nodo	cx	cy	Fx <daN>	Fy <daN>	Nodo	cx	cy	Fx <daN>	Fy <daN>	Nodo	cx	cy	Fx <daN>	Fy <daN>
-90	0.01	0.01	534.35	534.35	-89	0.02	0.02	1101.81	1101.81	-86	0.03	0.03	1456.28	1456.28	-85	0.04	0.04	2267.75	2267.75
-87	0.03	0.03	1865.57	1865.57	-86	0.04	0.04	1979.94	1979.94	-83	0.04	0.04	2332.45	2332.45	-82	0.04	0.04	2090.31	2090.31
-84	0.04	0.04	2170.17	2170.17															

## Relazione di calcolo

-81	0.04	0.04	2165.20	2165.20	-80	0.01	0.01	491.30	491.30	-79	0.01	0.01	529.57	529.57
-78	0.01	0.01	512.18	512.18	-77	0.01	0.01	553.07	553.07	-76	0.01	0.01	572.69	572.69
-75	0.01	0.01	612.38	612.38	-74	0.00	0.00	2.14	2.14	-73	0.00	0.00	2.14	2.14
-72	0.00	0.00	2.14	2.14	-71	0.00	0.00	2.14	2.14	-70	0.00	0.00	2.14	2.14
-69	0.00	0.00	2.14	2.14	-68	0.00	0.00	2.14	2.14	-67	0.00	0.00	2.14	2.14
-66	0.00	0.00	2.14	2.14	-65	0.00	0.00	2.14	2.14	-64	0.00	0.00	2.14	2.14
-63	0.00	0.00	2.14	2.14	-62	0.00	0.00	2.14	2.14	-61	0.00	0.00	2.14	2.14
-60	0.00	0.00	2.14	2.14	-59	0.00	0.00	2.14	2.14	-58	0.00	0.00	2.14	2.14
-57	0.00	0.00	2.14	2.14	-56	0.00	0.00	2.14	2.14	-19	0.00	0.00	2.14	2.14
110	0.00	0.00	145.78	145.78	111	0.00	0.00	14.67	14.67	494	0.02	0.02	827.20	827.20
495	0.02	0.02	1300.00	1300.00	496	0.03	0.03	1667.46	1667.46	497	0.04	0.04	1941.78	1941.78
498	0.04	0.04	2128.46	2128.46	499	0.04	0.04	2131.84	2131.84	500	0.04	0.04	2226.58	2226.58
501	0.04	0.04	2256.21	2256.21	502	0.04	0.04	2237.21	2237.21	503	0.03	0.03	1373.57	1373.57
504	0.01	0.01	510.43	510.43	505	0.01	0.01	520.22	520.22	506	0.01	0.01	532.63	532.63
507	0.01	0.01	563.18	563.18	508	0.01	0.01	592.54	592.54	509	0.22	0.22	12076.20	12076.20

### Totali forze sismiche

Fx <daN>	Fy <daN>
54323.80	54323.80

### Elenco forze sismiche nodali allo SND

Nodo	cx	cy	Fx <daN>	Fy <daN>
-90	0.01	0.01	534.35	534.35
-87	0.03	0.03	1865.57	1865.57
-84	0.04	0.04	2170.17	2170.17
-81	0.04	0.04	2165.20	2165.20
-78	0.01	0.01	512.18	512.18
-75	0.01	0.01	612.38	612.38
-72	0.00	0.00	2.14	2.14
-69	0.00	0.00	2.14	2.14
-66	0.00	0.00	2.14	2.14
-63	0.00	0.00	2.14	2.14
-60	0.00	0.00	2.14	2.14
-57	0.00	0.00	2.14	2.14
110	0.00	0.00	145.78	145.78
495	0.02	0.02	1300.00	1300.00
498	0.04	0.04	2128.46	2128.46
501	0.04	0.04	2256.21	2256.21
504	0.01	0.01	510.43	510.43
507	0.01	0.01	563.18	563.18

Nodo	cx	cy	Fx <daN>	Fy <daN>
-89	0.02	0.02	1101.81	1101.81
-86	0.04	0.04	1979.94	1979.94
-83	0.04	0.04	2332.45	2332.45
-80	0.01	0.01	491.30	491.30
-77	0.01	0.01	553.07	553.07
-74	0.00	0.00	2.14	2.14
-71	0.00	0.00	2.14	2.14
-68	0.00	0.00	2.14	2.14
-65	0.00	0.00	2.14	2.14
-62	0.00	0.00	2.14	2.14
-59	0.00	0.00	2.14	2.14
-56	0.00	0.00	2.14	2.14
111	0.00	0.00	14.67	14.67
496	0.03	0.03	1667.46	1667.46
499	0.04	0.04	2131.84	2131.84
502	0.04	0.04	2237.21	2237.21
505	0.01	0.01	520.22	520.22
508	0.01	0.01	592.54	592.54

Nodo	cx	cy	Fx <daN>	Fy <daN>
-88	0.03	0.03	1456.28	1456.28
-85	0.04	0.04	2267.75	2267.75
-82	0.04	0.04	2090.31	2090.31
-79	0.01	0.01	529.57	529.57
-76	0.01	0.01	572.69	572.69
-73	0.00	0.00	2.14	2.14
-70	0.00	0.00	2.14	2.14
-67	0.00	0.00	2.14	2.14
-64	0.00	0.00	2.14	2.14
-61	0.00	0.00	2.14	2.14
-58	0.00	0.00	2.14	2.14
-19	0.00	0.00	2.14	2.14
494	0.02	0.02	827.20	827.20
497	0.04	0.04	1941.78	1941.78
500	0.04	0.04	2226.58	2226.58
503	0.03	0.03	1373.57	1373.57
506	0.01	0.01	532.63	532.63
509	0.22	0.22	12076.20	12076.20

### Totali forze sismiche

Fx <daN>	Fy <daN>
54323.80	54323.80

### Domanda in duttilità di curvatura

Direzione X  $\mu_{Edx}=3.60$   
 Direzione Y  $\mu_{Edy}=3.60$

### Spostamenti dei nodi

#### Simbologia

Nodo = Numero del nodo  
 Sx = Spostamento in dir. X  
 CC = Numero della combinazione delle condizioni di carico elementari  
 TCC = Tipo di combinazione di carico  
 SLU = Stato limite ultimo  
 SLU S = Stato limite ultimo (azione sismica)  
 SLE R = Stato limite d'esercizio, combinazione rara  
 SLE F = Stato limite d'esercizio, combinazione frequente  
 SLE Q = Stato limite d'esercizio, combinazione quasi permanente  
 SLD = Stato limite di danno  
 SLV = Stato limite di salvaguardia della vita  
 SLC = Stato limite di prevenzione del collasso  
 SLO = Stato limite di operatività  
 SLU I = Stato limite di resistenza al fuoco  
 SND = Stato limite di salvaguardia della vita (non dissipativo)  
 Sy = Spostamento in dir. Y  
 Sz = Spostamento in dir. Z  
 Rx = Rotazione intorno all'asse X  
 Ry = Rotazione intorno all'asse Y  
 Rz = Rotazione intorno all'asse Z

I valori degli spostamenti nodali per CC di tipo sismico sono amplificati come da normativa

## Relazione di calcolo

Nodo		Sx <cm>	CC	TCC	Sy <cm>	CC	TCC	Sz <cm>	CC	TCC	Rx <rad>	CC	TCC	Ry <rad>	CC	TCC	Rz <rad>	CC	TCC
-90	Max	2.51	1	SLV	2.51	11	SLV	-0.71	1	SLV	0.01	17	SLU	0.00	3	SLV	0.00	17	SLU
-90	Min.	-2.51	7	SLV	-6.86	17	SLU	-0.92	17	SLU	-0.00	9	SLV	-0.00	5	SLV	0.00	1	SLV
-89	Max	7.26	1	SLV	7.26	11	SLV	-0.77	1	SLV	0.01	17	SLU	0.00	3	SLV	0.00	17	SLU
-89	Min.	-7.26	7	SLV	-19.92	17	SLU	-1.01	17	SLU	-0.00	9	SLV	-0.00	5	SLV	0.00	1	SLV
-88	Max	12.31	1	SLV	12.31	11	SLV	-0.83	1	SLV	0.01	17	SLU	0.00	3	SLV	0.00	17	SLU
-88	Min.	-12.31	7	SLV	-33.85	17	SLU	-1.09	17	SLU	-0.00	9	SLV	-0.00	5	SLV	0.00	1	SLV
-87	Max	17.70	1	SLV	17.70	11	SLV	-0.88	1	SLV	0.01	17	SLU	0.01	3	SLV	0.00	17	SLU
-87	Min.	-17.70	7	SLV	-48.80	17	SLU	-1.16	17	SLU	-0.01	9	SLV	-0.01	5	SLV	0.00	1	SLV
-86	Max	23.45	1	SLV	23.45	11	SLV	-0.94	1	SLV	0.02	17	SLU	0.01	3	SLV	0.00	17	SLU
-86	Min.	-23.45	7	SLV	-64.82	17	SLU	-1.23	17	SLU	-0.01	9	SLV	-0.01	5	SLV	0.00	1	SLV
-85	Max	29.58	1	SLV	29.58	11	SLV	-0.98	1	SLV	0.02	17	SLU	0.01	3	SLV	0.00	17	SLU
-85	Min.	-29.58	7	SLV	-82.09	17	SLU	-1.29	17	SLU	-0.01	9	SLV	-0.01	5	SLV	0.00	1	SLV
-84	Max	36.11	1	SLV	36.11	11	SLV	-1.03	1	SLV	0.02	17	SLU	0.01	3	SLV	0.00	17	SLU
-84	Min.	-36.11	7	SLV	-100.64	17	SLU	-1.36	17	SLU	-0.01	9	SLV	-0.01	5	SLV	0.00	1	SLV
-83	Max	43.02	1	SLV	43.02	11	SLV	-1.07	1	SLV	0.02	17	SLU	0.01	3	SLV	0.00	17	SLU
-83	Min.	-43.02	7	SLV	-120.59	17	SLU	-1.41	17	SLU	-0.01	9	SLV	-0.01	5	SLV	0.00	1	SLV
-82	Max	50.36	1	SLV	50.36	9	SLV	-1.11	1	SLV	0.02	17	SLU	0.01	3	SLV	0.00	17	SLU
-82	Min.	-50.36	5	SLV	-142.09	17	SLU	-1.46	17	SLU	-0.01	9	SLV	-0.01	5	SLV	0.00	1	SLV
-81	Max	58.16	1	SLV	58.16	9	SLV	-1.14	1	SLV	0.02	17	SLU	0.01	3	SLV	0.00	17	SLU
-81	Min.	-58.16	5	SLV	-165.37	17	SLU	-1.51	17	SLU	-0.01	9	SLV	-0.01	5	SLV	0.00	1	SLV
-80	Max	65.77	3	SLV	65.77	9	SLV	-1.18	1	SLV	0.02	17	SLU	0.01	3	SLV	0.00	17	SLU
-80	Min.	-65.77	5	SLV	-188.51	17	SLU	-1.56	17	SLU	-0.01	9	SLV	-0.01	5	SLV	0.00	1	SLV
-79	Max	73.22	3	SLV	73.22	9	SLV	-1.21	1	SLV	0.03	17	SLU	0.01	3	SLV	0.00	17	SLU
-79	Min.	-73.22	5	SLV	-211.64	17	SLU	-1.61	17	SLU	-0.01	9	SLV	-0.01	5	SLV	0.00	1	SLV
-78	Max	81.88	3	SLV	81.88	9	SLV	-1.26	1	SLV	0.03	17	SLU	0.01	3	SLV	0.00	17	SLU
-78	Min.	-81.88	5	SLV	-239.02	17	SLU	-1.68	17	SLU	-0.01	9	SLV	-0.01	5	SLV	0.00	1	SLV
-77	Max	91.85	3	SLV	91.85	9	SLV	-1.31	1	SLV	0.03	17	SLU	0.01	3	SLV	0.00	17	SLU
-77	Min.	-91.85	5	SLV	-271.12	17	SLU	-1.75	17	SLU	-0.01	9	SLV	-0.01	5	SLV	0.00	1	SLV
-76	Max	102.27	3	SLV	102.27	9	SLV	-1.36	1	SLV	0.03	17	SLU	0.01	3	SLV	0.00	17	SLU
-76	Min.	-102.27	5	SLV	-305.17	17	SLU	-1.82	17	SLU	-0.01	9	SLV	-0.01	5	SLV	0.00	1	SLV
-75	Max	113.00	3	SLV	113.00	9	SLV	-1.40	1	SLV	0.03	17	SLU	0.01	3	SLV	0.00	17	SLU
-75	Min.	-113.00	5	SLV	-340.67	17	SLU	-1.88	17	SLU	-0.01	9	SLV	-0.01	5	SLV	0.00	1	SLV
-74	Max	0.19	1	SLV	0.21	9	SLV	-0.55	5	SLV	0.00	5	SLV	0.00	5	SLV	0.00	17	SLU
-74	Min.	-0.19	7	SLV	-0.37	17	SLU	-1.03	17	SLU	-0.00	17	SLU	-0.00	17	SLU	0.00	9	SLV
-73	Max	0.20	1	SLV	0.20	9	SLV	-0.56	5	SLV	0.00	5	SLV	0.00	5	SLV	0.00	17	SLU
-73	Min.	-0.20	7	SLV	-0.37	17	SLU	-1.10	17	SLU	-0.00	17	SLU	-0.00	17	SLU	0.00	9	SLV
-72	Max	0.20	1	SLV	0.20	9	SLV	-0.56	11	SLV	0.00	11	SLV	0.00	11	SLV	0.00	17	SLU
-72	Min.	-0.20	7	SLV	-0.39	17	SLU	-1.15	17	SLU	-0.01	17	SLU	-0.00	17	SLU	0.00	1	SLV
-71	Max	0.21	17	SLU	0.19	9	SLV	-0.55	11	SLV	0.00	11	SLV	0.00	11	SLV	0.00	7	SLV
-71	Min.	-0.21	7	SLV	-0.42	17	SLU	-1.17	17	SLU	-0.01	17	SLU	-0.00	17	SLU	0.00	1	SLV
-70	Max	0.24	17	SLU	0.19	11	SLV	-0.56	11	SLV	0.00	9	SLV	0.00	17	SLU	0.00	7	SLV
-70	Min.	-0.21	7	SLV	-0.46	17	SLU	-1.17	17	SLU	-0.01	17	SLU	0.00	7	SLV	0.00	1	SLV
-69	Max	0.24	17	SLU	0.19	11	SLV	-0.55	9	SLV	0.00	9	SLV	0.00	17	SLU	0.00	5	SLV
-69	Min.	-0.21	5	SLV	-0.51	17	SLU	-1.13	17	SLU	-0.00	17	SLU	0.00	9	SLV	0.00	17	SLU
-68	Max	0.23	17	SLU	0.20	11	SLV	-0.56	9	SLV	0.00	9	SLV	0.00	17	SLU	0.00	5	SLV
-68	Min.	-0.20	5	SLV	-0.56	17	SLU	-1.07	17	SLU	-0.00	17	SLU	-0.00	9	SLV	-0.00	17	SLU
-67	Max	0.20	3	SLV	0.20	11	SLV	-0.56	1	SLV	0.00	1	SLV	0.00	17	SLU	0.00	11	SLV
-67	Min.	-0.20	5	SLV	-0.61	17	SLU	-0.99	17	SLU	-0.00	7	SLV	-0.00	1	SLV	-0.00	17	SLU
-66	Max	0.19	3	SLV	0.21	11	SLV	-0.55	1	SLV	0.00	1	SLV	0.00	7	SLV	0.00	11	SLV
-66	Min.	-0.19	5	SLV	-0.64	17	SLU	-0.90	17	SLU	0.00	7	SLV	-0.00	1	SLV	-0.00	17	SLU
-65	Max	0.19	1	SLV	0.21	11	SLV	-0.56	1	SLV	0.00	17	SLU	0.00	5	SLV	0.00	11	SLV
-65	Min.	-0.19	7	SLV	-0.65	17	SLU	-0.80	17	SLU	0.00	11	SLV	-0.00	3	SLV	-0.00	17	SLU
-64	Max	0.19	1	SLV	0.21	9	SLV	-0.55	3	SLV	0.00	5	SLV	0.00	5	SLV	0.00	9	SLV
-64	Min.	-0.19	7	SLV	-0.64	17	SLU	-0.78	5	SLV	0.00	3	SLV	-0.00	17	SLU	-0.00	17	SLU
-63	Max	0.20	1	SLV	0.20	9	SLV	-0.51	18	SLE R	0.00	5	SLV	0.00	5	SLV	0.00	9	SLV
-63	Min.	-0.20	7	SLV	-0.60	17	SLU	-0.77	5	SLV	-0.00	17	SLU	-0.00	17	SLU	-0.00	17	SLU
-62	Max	0.20	1	SLV	0.20	9	SLV	-0.48	18	SLE R	0.00	11	SLV	0.00	11	SLV	0.00	1	SLV
-62	Min.	-0.20	7	SLV	-0.55	17	SLU	-0.77	11	SLV	-0.00	17	SLU	-0.00	17	SLU	0.00	7	SLV
-61	Max	0.21	1	SLV	0.19	9	SLV	-0.46	18	SLE R	0.00	11	SLV	0.00	11	SLV	0.00	1	SLV
-61	Min.	-0.21	7	SLV	-0.50	17	SLU	-0.78	11	SLV	-0.01	17	SLU	-0.00	17	SLU	0.00	7	SLV
-60	Max	0.21	1	SLV	0.19	11	SLV	-0.47	18	SLE R	0.00	9	SLV	0.00	1	SLV	0.00	1	SLV
-60	Min.	-0.21	7	SLV	-0.46	17	SLU	-0.77	11	SLV	-0.01	17	SLU	0.00	17	SLU	0.00	7	SLV
-59	Max	0.21	3	SLV	0.19	11	SLV	-0.49	18	SLE R	0.00	9	SLV	0.00	17	SLU	0.00	17	SLU
-59	Min.	-0.21	5	SLV	-0.43	17	SLU	-0.78	9	SLV	-0.01	17	SLU	0.00	9	SLV	0.00	5	SLV
-58	Max	0.20	3	SLV	0.20	11	SLV	-0.53	18	SLE R	0.00	9	SLV	0.00	17	SLU	0.00	17	SLU
-58	Min.	-0.20	5	SLV	-0.40	17	SLU	-0.77	9	SLV	-0.00	17	SLU	-0.00	9	SLV	0.00	5	SLV
-57	Max	0.20	3	SLV	0.20	11	SLV	-0.56	7	SLV	0.00	1	SLV	0.00	7	SLV	0.00	17	SLU
-57	Min.	-0.20	5	SLV	-0.39	17	SLU	-0.77	1	SLV	-0.00	17	SLU	-0.00	1	SLV	0.00	11	SLV
-56	Max	0.19	3	SLV	0.21	11	SLV	-0.55	7	SLV	0.00	1	SLV	0.00	7	SLV	0.00	17	SLU
-56	Min.	-0.19	5	SLV	-0.38														

## Relazione di calcolo

-52	Max	0.11	1	SLV	0.10	9	SLV	-0.62	11	SLV	0.00	17	SLU	0.00	3	SLV	0.00	7	SLV
-52	Min.	-0.11	7	SLV	-0.23	17	SLU	-0.95	17	SLU	0.00	11	SLV	0.00	5	SLV	0.00	1	SLV
-51	Max	0.11	1	SLV	0.10	9	SLV	-0.62	11	SLV	0.00	17	SLU	0.00	3	SLV	0.00	7	SLV
-51	Min.	-0.11	7	SLV	-0.24	17	SLU	-0.94	17	SLU	0.00	9	SLV	0.00	5	SLV	0.00	1	SLV
-50	Max	0.11	3	SLV	0.10	11	SLV	-0.62	9	SLV	0.00	17	SLU	0.00	1	SLV	0.00	5	SLV
-50	Min.	-0.11	5	SLV	-0.24	17	SLU	-0.93	17	SLU	0.00	9	SLV	0.00	7	SLV	-0.00	17	SLU
-49	Max	0.11	3	SLV	0.11	11	SLV	-0.62	9	SLV	0.00	17	SLU	0.00	1	SLV	0.00	5	SLV
-49	Min.	-0.11	5	SLV	-0.24	17	SLU	-0.92	17	SLU	0.00	9	SLV	0.00	7	SLV	-0.00	17	SLU
-48	Max	0.11	3	SLV	0.11	11	SLV	-0.62	1	SLV	0.00	17	SLU	0.00	1	SLV	0.00	11	SLV
-48	Min.	-0.11	5	SLV	-0.24	17	SLU	-0.89	17	SLU	0.00	9	SLV	0.00	7	SLV	-0.00	17	SLU
-47	Max	0.10	3	SLV	0.11	11	SLV	-0.62	1	SLV	0.00	17	SLU	0.00	1	SLV	0.00	11	SLV
-47	Min.	-0.11	5	SLV	-0.25	17	SLU	-0.86	17	SLU	0.00	9	SLV	0.00	7	SLV	-0.00	17	SLU
-46	Max	0.10	3	SLV	0.11	11	SLV	-0.62	1	SLV	0.00	17	SLU	0.00	3	SLV	0.00	11	SLV
-46	Min.	-0.11	5	SLV	-0.25	17	SLU	-0.83	17	SLU	0.00	9	SLV	0.00	5	SLV	-0.00	17	SLU
-45	Max	0.10	1	SLV	0.11	9	SLV	-0.62	3	SLV	0.00	17	SLU	0.00	3	SLV	0.00	9	SLV
-45	Min.	-0.11	7	SLV	-0.24	17	SLU	-0.81	17	SLU	0.00	11	SLV	0.00	5	SLV	-0.00	17	SLU
-44	Max	0.11	1	SLV	0.11	9	SLV	-0.61	18	SLE R	0.00	17	SLU	0.00	3	SLV	0.00	9	SLV
-44	Min.	-0.11	7	SLV	-0.24	17	SLU	-0.79	17	SLU	0.00	11	SLV	0.00	5	SLV	-0.00	17	SLU
-43	Max	0.11	1	SLV	0.11	9	SLV	-0.60	18	SLE R	0.00	17	SLU	0.00	3	SLV	0.00	1	SLV
-43	Min.	-0.11	7	SLV	-0.24	17	SLU	-0.77	17	SLU	0.00	11	SLV	0.00	5	SLV	0.00	17	SLU
-42	Max	0.11	1	SLV	0.11	9	SLV	-0.59	18	SLE R	0.00	17	SLU	0.00	3	SLV	0.00	1	SLV
-42	Min.	-0.11	7	SLV	-0.23	17	SLU	-0.76	17	SLU	0.00	11	SLV	0.00	5	SLV	0.00	7	SLV
-41	Max	0.11	1	SLV	0.11	9	SLV	-0.59	18	SLE R	0.00	17	SLU	0.00	3	SLV	0.00	1	SLV
-41	Min.	-0.11	7	SLV	-0.23	17	SLU	-0.76	17	SLU	0.00	9	SLV	0.00	5	SLV	0.00	7	SLV
-40	Max	0.11	3	SLV	0.11	11	SLV	-0.60	18	SLE R	0.00	17	SLU	0.00	1	SLV	0.00	17	SLU
-40	Min.	-0.11	5	SLV	-0.23	17	SLU	-0.78	17	SLU	0.00	9	SLV	0.00	7	SLV	0.00	5	SLV
-39	Max	0.11	3	SLV	0.11	11	SLV	-0.61	18	SLE R	0.00	17	SLU	0.00	1	SLV	0.00	17	SLU
-39	Min.	-0.11	5	SLV	-0.23	17	SLU	-0.79	17	SLU	0.00	9	SLV	0.00	7	SLV	0.00	5	SLV
-38	Max	0.11	3	SLV	0.11	11	SLV	-0.62	7	SLV	0.00	17	SLU	0.00	1	SLV	0.00	17	SLU
-38	Min.	-0.11	5	SLV	-0.24	17	SLU	-0.82	17	SLU	0.00	9	SLV	0.00	7	SLV	0.00	11	SLV
-37	Max	0.11	3	SLV	0.11	11	SLV	-0.62	7	SLV	0.00	17	SLU	0.00	1	SLV	0.00	17	SLU
-37	Min.	-0.10	5	SLV	-0.24	17	SLU	-0.85	17	SLU	0.00	9	SLV	0.00	7	SLV	0.00	11	SLV
-19	Max	0.19	1	SLV	0.21	11	SLV	-0.56	7	SLV	0.00	13	SLV	0.00	5	SLV	0.00	17	SLU
-19	Min.	-0.19	7	SLV	-0.37	17	SLU	-0.94	17	SLU	0.00	17	SLU	-0.00	3	SLV	0.00	11	SLV
-1	Max	0.11	3	SLV	0.11	11	SLV	-0.62	7	SLV	0.00	17	SLU	0.00	3	SLV	0.00	17	SLU
-1	Min.	-0.10	5	SLV	-0.24	17	SLU	-0.87	17	SLU	0.00	9	SLV	0.00	5	SLV	0.00	11	SLV
1	Max	0.10	3	SLV	0.10	9	SLV	-0.67	1	SLV	0.00	17	SLU	0.00	1	SLV	0.00	17	SLU
1	Min.	-0.10	5	SLV	-0.23	17	SLU	-0.87	17	SLU	0.00	11	SLV	0.00	7	SLV	0.00	9	SLV
2	Max	0.11	3	SLV	0.11	11	SLV	-0.60	7	SLV	0.00	17	SLU	0.00	3	SLV	0.00	17	SLU
2	Min.	-0.10	5	SLV	-0.24	17	SLU	-0.86	17	SLU	0.00	9	SLV	0.00	5	SLV	0.00	11	SLV
110	Max	0.25	1	SLV	0.25	11	SLV	-0.67	1	SLV	0.01	17	SLU	0.00	3	SLV	0.00	17	SLU
110	Min.	-0.25	7	SLV	-0.64	17	SLU	-0.88	17	SLU	-0.00	9	SLV	-0.00	5	SLV	0.00	1	SLV
111	Max	0.08	1	SLV	0.08	11	SLV	-0.67	1	SLV	0.00	9	SLV	0.00	5	SLV	0.00	17	SLU
111	Min.	-0.08	7	SLV	-0.17	17	SLU	-0.87	17	SLU	-0.01	17	SLU	-0.00	3	SLV	0.00	15	SLV
249	Max	0.11	3	SLV	0.11	11	SLV	-0.59	7	SLV	0.00	17	SLU	0.00	1	SLV	0.00	17	SLU
249	Min.	-0.10	5	SLV	-0.24	17	SLU	-0.82	17	SLU	0.00	9	SLV	0.00	7	SLV	0.00	11	SLV
250	Max	0.11	3	SLV	0.11	11	SLV	-0.60	7	SLV	0.00	17	SLU	0.00	1	SLV	0.00	17	SLU
250	Min.	-0.11	5	SLV	-0.23	17	SLU	-0.79	17	SLU	0.00	9	SLV	0.00	7	SLV	0.00	11	SLV
251	Max	0.11	3	SLV	0.11	11	SLV	-0.59	18	SLE R	0.00	17	SLU	0.00	1	SLV	0.00	17	SLU
251	Min.	-0.11	5	SLV	-0.23	17	SLU	-0.76	17	SLU	0.00	9	SLV	0.00	7	SLV	0.00	5	SLV
252	Max	0.11	3	SLV	0.11	11	SLV	-0.57	18	SLE R	0.00	17	SLU	0.00	1	SLV	0.00	17	SLU
252	Min.	-0.11	5	SLV	-0.23	17	SLU	-0.74	17	SLU	0.00	9	SLV	0.00	7	SLV	0.00	5	SLV
253	Max	0.11	1	SLV	0.11	9	SLV	-0.56	18	SLE R	0.00	17	SLU	0.00	3	SLV	0.00	1	SLV
253	Min.	-0.11	7	SLV	-0.23	17	SLU	-0.72	17	SLU	0.00	9	SLV	0.00	5	SLV	0.00	7	SLV
254	Max	0.11	1	SLV	0.11	9	SLV	-0.56	18	SLE R	0.00	17	SLU	0.00	3	SLV	0.00	1	SLV
254	Min.	-0.11	7	SLV	-0.24	17	SLU	-0.72	17	SLU	0.00	11	SLV	0.00	5	SLV	0.00	7	SLV
255	Max	0.11	1	SLV	0.11	9	SLV	-0.57	18	SLE R	0.00	17	SLU	0.00	3	SLV	0.00	1	SLV
255	Min.	-0.11	7	SLV	-0.24	17	SLU	-0.73	17	SLU	0.00	11	SLV	0.00	5	SLV	0.00	17	SLU
256	Max	0.11	1	SLV	0.11	9	SLV	-0.58	18	SLE R	0.00	17	SLU	0.00	3	SLV	0.00	9	SLV
256	Min.	-0.11	7	SLV	-0.24	17	SLU	-0.75	17	SLU	0.00	11	SLV	0.00	5	SLV	0.00	17	SLU
257	Max	0.10	1	SLV	0.11	9	SLV	-0.59	3	SLV	0.00	17	SLU	0.00	3	SLV	0.00	9	SLV
257	Min.	-0.11	7	SLV	-0.24	17	SLU	-0.78	17	SLU	0.00	11	SLV	0.00	5	SLV	0.00	17	SLU
258	Max	0.10	3	SLV	0.11	11	SLV	-0.60	1	SLV	0.00	17	SLU	0.00	3	SLV	0.00	11	SLV
258	Min.	-0.11	5	SLV	-0.25	17	SLU	-0.81	17	SLU	0.00	9	SLV	0.00	5	SLV	0.00	17	SLU
259	Max	0.10	3	SLV	0.11	11	SLV	-0.59	1	SLV	0.00	17	SLU	0.00	1	SLV	0.00	11	SLV
259	Min.	-0.11	5	SLV	-0.25	17	SLU	-0.85	17	SLU	0.00	9	SLV	0.00	7	SLV	0.00	17	SLU
260	Max	0.11	3	SLV	0.11	11	SLV	-0.60	1	SLV	0.00	17	SLU	0.00	1	SLV	0.00	11	SLV
260	Min.	-0.11	5	SLV	-0.24	17	SLU	-0.88	17	SLU	0.00	9	SLV	0.00	7	SLV	0.00	17	SLU
261	Max	0.11	3	SLV	0.11	11	SLV	-0.60	9	SLV	0.00	17	SLU	0.00	1	SLV	0.00	5	SLV
261	Min.	-0.11	5	SLV	-0.24	17	SLU	-0.91	17	SLU	0.00	9	SLV	0.00	7	SLV	0.00	17	SLU
262	Max	0.11	3	SLV	0.10	11	SLV	-0.59	9	SLV	0.00	17	SLU	0.00	1</				

Relazione di calcolo

## Relazione di calcolo

412Max	0.11	3SLV	0.11	11SLV	-0.47	9SLV	0.00	18SLE R	0.00	17SLU	0.00	5SLV
412Min.	-0.11	5SLV	-0.24	17SLU	-0.87	17SLU	0.00	11SLV	0.00	5SLV	0.00	17SLU
413Max	0.11	1SLV	0.11	9SLV	-0.47	11SLV	0.00	18SLE R	0.00	1SLV	0.00	7SLV
413Min.	-0.11	7SLV	-0.24	17SLU	-0.89	17SLU	0.00	9SLV	0.00	7SLV	0.00	1SLV
414Max	0.11	1SLV	0.11	9SLV	-0.47	11SLV	0.00	18SLE R	0.00	1SLV	0.00	7SLV
414Min.	-0.11	7SLV	-0.23	17SLU	-0.90	17SLU	0.00	9SLV	0.00	7SLV	0.00	1SLV
415Max	0.11	1SLV	0.11	9SLV	-0.47	11SLV	0.00	18SLE R	0.00	1SLV	0.00	17SLU
415Min.	-0.11	7SLV	-0.23	17SLU	-0.88	17SLU	0.00	9SLV	0.00	7SLV	0.00	1SLV
416Max	0.11	1SLV	0.11	9SLV	-0.47	5SLV	0.00	17SLU	0.00	1SLV	0.00	17SLU
416Min.	-0.11	7SLV	-0.23	17SLU	-0.85	17SLU	0.00	9SLV	0.00	7SLV	0.00	9SLV
417Max	0.11	1SLV	0.11	9SLV	-0.47	5SLV	0.00	17SLU	0.00	1SLV	0.00	17SLU
417Min.	-0.11	7SLV	-0.23	17SLU	-0.81	17SLU	0.00	9SLV	0.00	17SLU	0.00	9SLV
418Max	0.11	3SLV	0.11	11SLV	-0.40	7SLV	0.00	17SLU	0.00	3SLV	0.00	17SLU
418Min.	-0.11	5SLV	-0.22	17SLU	-0.60	17SLU	0.00	11SLV	0.00	5SLV	0.00	11SLV
419Max	0.11	3SLV	0.11	11SLV	-0.40	7SLV	0.00	17SLU	0.00	18SLE R	0.00	17SLU
419Min.	-0.11	5SLV	-0.23	17SLU	-0.55	1SLV	0.00	11SLV	0.00	5SLV	0.00	11SLV
420Max	0.11	3SLV	0.11	11SLV	-0.38	18SLE R	0.00	17SLU	0.00	3SLV	0.00	17SLU
420Min.	-0.11	5SLV	-0.23	17SLU	-0.55	9SLV	0.00	11SLV	0.00	5SLV	0.00	5SLV
421Max	0.11	3SLV	0.11	11SLV	-0.36	18SLE R	0.00	17SLU	0.00	3SLV	0.00	17SLU
421Min.	-0.11	5SLV	-0.23	17SLU	-0.55	9SLV	0.00	11SLV	0.00	5SLV	0.00	5SLV
422Max	0.11	1SLV	0.11	9SLV	-0.34	18SLE R	0.00	17SLU	0.00	1SLV	0.00	1SLV
422Min.	-0.11	7SLV	-0.24	17SLU	-0.55	11SLV	0.00	9SLV	0.00	7SLV	0.00	7SLV
423Max	0.11	1SLV	0.11	9SLV	-0.34	18SLE R	0.00	17SLU	0.00	1SLV	0.00	1SLV
423Min.	-0.11	7SLV	-0.24	17SLU	-0.55	11SLV	0.00	9SLV	0.00	7SLV	0.00	7SLV
424Max	0.11	1SLV	0.11	9SLV	-0.35	18SLE R	0.00	17SLU	0.00	1SLV	0.00	1SLV
424Min.	-0.11	7SLV	-0.24	17SLU	-0.55	11SLV	0.00	9SLV	0.00	7SLV	0.00	7SLV
425Max	0.11	1SLV	0.11	9SLV	-0.37	18SLE R	0.00	17SLU	0.00	1SLV	0.00	9SLV
425Min.	-0.11	7SLV	-0.25	17SLU	-0.55	5SLV	0.00	9SLV	0.00	7SLV	0.00	17SLU
426Max	0.11	1SLV	0.11	9SLV	-0.40	3SLV	0.00	17SLU	0.00	17SLU	0.00	9SLV
426Min.	-0.11	7SLV	-0.25	17SLU	-0.55	5SLV	0.00	9SLV	0.00	7SLV	0.00	17SLU
427Max	0.11	3SLV	0.11	11SLV	-0.40	1SLV	0.00	17SLU	0.00	17SLU	0.00	11SLV
427Min.	-0.11	5SLV	-0.25	17SLU	-0.58	17SLU	0.00	11SLV	0.00	5SLV	0.00	17SLU
428Max	0.11	3SLV	0.11	11SLV	-0.40	1SLV	0.00	17SLU	0.00	17SLU	0.00	11SLV
428Min.	-0.11	5SLV	-0.25	17SLU	-0.64	17SLU	0.00	11SLV	0.00	5SLV	0.00	17SLU
429Max	0.11	3SLV	0.11	11SLV	-0.40	1SLV	0.00	17SLU	0.00	17SLU	0.00	11SLV
429Min.	-0.11	5SLV	-0.25	17SLU	-0.71	17SLU	0.00	11SLV	0.00	5SLV	0.00	17SLU
430Max	0.11	3SLV	0.11	11SLV	-0.40	9SLV	0.00	18SLE R	0.00	17SLU	0.00	5SLV
430Min.	-0.11	5SLV	-0.25	17SLU	-0.76	17SLU	0.00	11SLV	0.00	5SLV	0.00	17SLU
431Max	0.11	3SLV	0.11	11SLV	-0.40	9SLV	0.00	18SLE R	0.00	17SLU	0.00	5SLV
431Min.	-0.11	5SLV	-0.24	17SLU	-0.80	17SLU	0.00	11SLV	0.00	5SLV	0.00	17SLU
432Max	0.11	1SLV	0.11	9SLV	-0.40	11SLV	0.00	18SLE R	0.00	1SLV	0.00	7SLV
432Min.	-0.11	7SLV	-0.24	17SLU	-0.83	17SLU	0.00	9SLV	0.00	7SLV	0.00	1SLV
433Max	0.11	1SLV	0.11	9SLV	-0.40	11SLV	0.00	18SLE R	0.00	1SLV	0.00	7SLV
433Min.	-0.11	7SLV	-0.23	17SLU	-0.83	17SLU	0.00	9SLV	0.00	7SLV	0.00	1SLV
434Max	0.11	1SLV	0.11	9SLV	-0.40	11SLV	0.00	18SLE R	0.00	1SLV	0.00	17SLU
434Min.	-0.11	7SLV	-0.23	17SLU	-0.82	17SLU	0.00	9SLV	0.00	17SLU	0.00	1SLV
435Max	0.11	1SLV	0.11	9SLV	-0.40	5SLV	0.00	18SLE R	0.00	1SLV	0.00	17SLU
435Min.	-0.11	7SLV	-0.23	17SLU	-0.78	17SLU	0.00	9SLV	0.00	17SLU	0.00	9SLV
436Max	0.11	1SLV	0.11	9SLV	-0.40	5SLV	0.00	17SLU	0.00	1SLV	0.00	17SLU
436Min.	-0.11	7SLV	-0.22	17SLU	-0.73	17SLU	0.00	9SLV	0.00	17SLU	0.00	9SLV
437Max	0.11	3SLV	0.11	11SLV	-0.32	7SLV	0.00	17SLU	0.00	18SLE R	0.00	17SLU
437Min.	-0.11	5SLV	-0.22	17SLU	-0.51	17SLU	0.00	11SLV	0.00	17SLU	0.00	11SLV
438Max	0.11	3SLV	0.11	11SLV	-0.32	7SLV	0.00	17SLU	0.00	18SLE R	0.00	17SLU
438Min.	-0.11	5SLV	-0.22	17SLU	-0.48	1SLV	0.00	11SLV	0.00	5SLV	0.00	11SLV
439Max	0.11	3SLV	0.11	11SLV	-0.31	18SLE R	0.00	17SLU	0.00	18SLE R	0.00	17SLU
439Min.	-0.11	5SLV	-0.23	17SLU	-0.48	9SLV	0.00	11SLV	0.00	5SLV	0.00	5SLV
440Max	0.11	3SLV	0.11	11SLV	-0.28	18SLE R	0.00	17SLU	0.00	3SLV	0.00	17SLU
440Min.	-0.11	5SLV	-0.23	17SLU	-0.48	9SLV	0.00	11SLV	0.00	5SLV	0.00	5SLV
441Max	0.11	1SLV	0.11	9SLV	-0.26	18SLE R	0.00	17SLU	0.00	1SLV	0.00	1SLV
441Min.	-0.11	7SLV	-0.24	17SLU	-0.48	11SLV	0.00	9SLV	0.00	7SLV	0.00	7SLV
442Max	0.11	1SLV	0.11	9SLV	-0.26	18SLE R	0.00	17SLU	0.00	1SLV	0.00	1SLV
442Min.	-0.11	7SLV	-0.24	17SLU	-0.48	11SLV	0.00	9SLV	0.00	7SLV	0.00	7SLV
443Max	0.11	1SLV	0.11	9SLV	-0.27	18SLE R	0.00	17SLU	0.00	1SLV	0.00	1SLV
443Min.	-0.11	7SLV	-0.25	17SLU	-0.48	11SLV	0.00	9SLV	0.00	7SLV	0.00	17SLU
444Max	0.11	1SLV	0.11	9SLV	-0.29	18SLE R	0.00	17SLU	0.00	17SLU	0.00	9SLV
444Min.	-0.11	7SLV	-0.25	17SLU	-0.48	5SLV	0.00	9SLV	0.00	7SLV	0.00	17SLU
445Max	0.11	1SLV	0.11	9SLV	-0.32	3SLV	0.00	17SLU	0.00	17SLU	0.00	9SLV
445Min.	-0.11	7SLV	-0.25	17SLU	-0.48	5SLV	0.00	9SLV	0.00	7SLV	0.00	17SLU
446Max	0.11	3SLV	0.11	11SLV	-0.32	1SLV	0.00	17SLU	0.00	17SLU	0.00	11SLV
446Min.	-0.11	5SLV	-0.25	17SLU	-0.48	7SLV	0.00	11SLV	0.00	5SLV	0.00	17SLU
447Max	0.11	3SLV	0.11	11SLV	-0.32	1SLV	0.00	17SLU	0.00	17SLU	0.00	11SLV
447Min.	-0.11	5SLV	-0.25	17SLU	-0.55	17SLU	0.00	11SLV	0.00	5SLV	0.00	17SLU
448Max	0.11	3SLV	0.11	11SLV	-0.32	1SLV	0.00	18SLE R	0.00	17SLU	0.00	11SLV
448Min.	-0.11	5SLV	-0.25	17SLU	-0.61	17SLU	0.00	11SLV	0.00	5SLV	0.00	17SLU
449Max	0.11	3SLV	0.11	11SLV	-0.33	9SLV	0.00	18SLE R	0.00	17SLU	0.00	5SLV
449Min.	-0.11	5SLV	-0.25	17SLU	-0.67	17SLU	0.00	11SLV	0.00	5SLV	0.00	17SLU
450Max	0.11	3SLV	0.11	11SLV	-0.32	9SLV	0.00	18SLE R	0.00	17SLU	0.00	5SLV
450Min.	-0.11	5SLV	-0.24	17SLU	-0.71	17SLU	0.00	17SLU	0.00	5SLV	0.00	17SLU
451Max	0.11	1SLV	0.11	9SLV	-0.32	11SLV	0.00	18SLE R	0.00	1SLV	0.00	7SLV

## Relazione di calcolo

451	Min.	-0.11	7	SLV	-0.24	17	SLU	-0.74	17	SLU	0.00	17	SLU	0.00	7	SLV	0.00	1	SLV
452	Max	0.11	1	SLV	0.11	9	SLV	-0.32	11	SLV	0.00	18	SLE R	0.00	1	SLV	0.00	7	SLV
452	Min.	-0.11	7	SLV	-0.23	17	SLU	-0.74	17	SLU	0.00	17	SLU	0.00	7	SLV	0.00	1	SLV
453	Max	0.11	1	SLV	0.11	9	SLV	-0.33	11	SLV	0.00	18	SLE R	0.00	1	SLV	0.00	17	SLU
453	Min.	-0.11	7	SLV	-0.23	17	SLU	-0.73	17	SLU	0.00	9	SLV	0.00	17	SLU	0.00	1	SLV
454	Max	0.11	1	SLV	0.11	9	SLV	-0.32	5	SLV	0.00	18	SLE R	0.00	1	SLV	0.00	17	SLU
454	Min.	-0.11	7	SLV	-0.22	17	SLU	-0.69	17	SLU	0.00	9	SLV	0.00	17	SLU	0.00	9	SLV
455	Max	0.11	1	SLV	0.11	9	SLV	-0.32	5	SLV	0.00	17	SLU	0.00	1	SLV	0.00	17	SLU
455	Min.	-0.11	7	SLV	-0.22	17	SLU	-0.64	17	SLU	0.00	9	SLV	0.00	17	SLU	0.00	9	SLV
456	Max	0.11	1	SLV	0.11	9	SLV	-0.24	7	SLV	0.00	17	SLU	0.00	18	SLE R	0.00	17	SLU
456	Min.	-0.11	7	SLV	-0.22	17	SLU	-0.41	1	SLV	0.00	11	SLV	0.00	17	SLU	0.00	11	SLV
457	Max	0.11	3	SLV	0.11	11	SLV	-0.24	7	SLV	0.00	17	SLU	0.00	18	SLE R	0.00	1	SLV
457	Min.	-0.11	5	SLV	-0.22	17	SLU	-0.39	1	SLV	0.00	11	SLV	0.00	5	SLV	0.00	1	SLV
458	Max	0.11	1	SLV	0.11	9	SLV	-0.23	18	SLE R	0.00	17	SLU	0.00	18	SLE R	0.00	17	SLU
458	Min.	-0.11	7	SLV	-0.23	17	SLU	-0.41	9	SLV	0.00	11	SLV	0.00	5	SLV	0.00	5	SLV
459	Max	0.11	3	SLV	0.11	11	SLV	-0.19	18	SLE R	0.00	17	SLU	0.00	3	SLV	0.00	1	SLV
459	Min.	-0.11	5	SLV	-0.23	17	SLU	-0.40	9	SLV	0.00	5	SLV	0.00	5	SLV	0.00	1	SLV
460	Max	0.11	1	SLV	0.11	9	SLV	-0.18	18	SLE R	0.00	17	SLU	0.00	1	SLV	0.00	1	SLV
460	Min.	-0.11	7	SLV	-0.24	17	SLU	-0.41	9	SLV	0.00	9	SLV	0.00	7	SLV	0.00	7	SLV
461	Max	0.11	1	SLV	0.11	9	SLV	-0.17	18	SLE R	0.00	17	SLU	0.00	1	SLV	0.00	1	SLV
461	Min.	-0.11	7	SLV	-0.24	17	SLU	-0.40	11	SLV	0.00	1	SLV	0.00	7	SLV	0.00	1	SLV
462	Max	0.11	3	SLV	0.11	11	SLV	-0.19	18	SLE R	0.00	17	SLU	0.00	1	SLV	0.00	1	SLV
462	Min.	-0.11	5	SLV	-0.25	17	SLU	-0.41	11	SLV	0.00	9	SLV	0.00	7	SLV	0.00	7	SLV
463	Max	0.11	1	SLV	0.11	9	SLV	-0.21	18	SLE R	0.00	17	SLU	0.00	17	SLU	0.00	1	SLV
463	Min.	-0.11	7	SLV	-0.25	17	SLU	-0.39	5	SLV	0.00	9	SLV	0.00	7	SLV	0.00	1	SLV
464	Max	0.11	3	SLV	0.11	11	SLV	-0.24	3	SLV	0.00	17	SLU	0.00	17	SLU	0.00	9	SLV
464	Min.	-0.11	5	SLV	-0.26	17	SLU	-0.41	5	SLV	0.00	9	SLV	0.00	7	SLV	0.00	17	SLU
465	Max	0.11	3	SLV	0.11	11	SLV	-0.24	1	SLV	0.00	17	SLU	0.00	17	SLU	0.00	1	SLV
465	Min.	-0.11	5	SLV	-0.26	17	SLU	-0.39	5	SLV	0.00	11	SLV	0.00	5	SLV	0.00	1	SLV
466	Max	0.11	1	SLV	0.11	9	SLV	-0.24	1	SLV	0.00	17	SLU	0.00	17	SLU	0.00	11	SLV
466	Min.	-0.11	7	SLV	-0.26	17	SLU	-0.45	17	SLU	0.00	11	SLV	0.00	5	SLV	0.00	17	SLU
467	Max	0.11	3	SLV	0.11	11	SLV	-0.24	1	SLV	0.00	18	SLE R	0.00	17	SLU	0.00	1	SLV
467	Min.	-0.11	5	SLV	-0.25	17	SLU	-0.50	17	SLU	0.00	11	SLV	0.00	5	SLV	0.00	1	SLV
468	Max	0.11	1	SLV	0.11	9	SLV	-0.25	9	SLV	0.00	18	SLE R	0.00	17	SLU	0.00	5	SLV
468	Min.	-0.11	7	SLV	-0.25	17	SLU	-0.58	17	SLU	0.00	11	SLV	0.00	5	SLV	0.00	17	SLU
469	Max	0.11	3	SLV	0.11	11	SLV	-0.23	9	SLV	0.00	18	SLE R	0.00	17	SLU	0.00	1	SLV
469	Min.	-0.11	5	SLV	-0.24	17	SLU	-0.60	17	SLU	0.00	17	SLU	0.00	5	SLV	0.00	1	SLV
470	Max	0.11	1	SLV	0.11	9	SLV	-0.25	9	SLV	0.00	18	SLE R	0.00	1	SLV	0.00	7	SLV
470	Min.	-0.11	7	SLV	-0.24	17	SLU	-0.65	17	SLU	0.00	17	SLU	0.00	7	SLV	0.00	1	SLV
471	Max	0.11	1	SLV	0.11	9	SLV	-0.23	11	SLV	0.00	18	SLE R	0.00	1	SLV	0.00	1	SLV
471	Min.	-0.11	7	SLV	-0.23	17	SLU	-0.63	17	SLU	0.00	17	SLU	0.00	7	SLV	0.00	1	SLV
472	Max	0.11	3	SLV	0.11	11	SLV	-0.25	11	SLV	0.00	18	SLE R	0.00	1	SLV	0.00	17	SLU
472	Min.	-0.11	5	SLV	-0.23	17	SLU	-0.64	17	SLU	0.00	9	SLV	0.00	17	SLU	0.00	1	SLV
473	Max	0.11	1	SLV	0.11	9	SLV	-0.24	5	SLV	0.00	18	SLE R	0.00	1	SLV	0.00	1	SLV
473	Min.	-0.11	7	SLV	-0.22	17	SLU	-0.58	17	SLU	0.00	9	SLV	0.00	17	SLU	0.00	1	SLV
474	Max	0.11	3	SLV	0.11	11	SLV	-0.24	5	SLV	0.00	17	SLU	0.00	1	SLV	0.00	17	SLU
474	Min.	-0.11	5	SLV	-0.22	17	SLU	-0.55	17	SLU	0.00	9	SLV	0.00	17	SLU	0.00	9	SLV
475	Max	0.11	1	SLV	0.11	9	SLV	-0.17	7	SLV	0.00	17	SLU	0.00	18	SLE R	0.00	11	SLV
475	Min.	-0.11	7	SLV	-0.22	17	SLU	-0.34	1	SLV	0.00	11	SLV	0.00	17	SLU	0.00	17	SLU
476	Max	0.11	3	SLV	0.11	11	SLV	-0.17	7	SLV	0.00	17	SLU	0.00	18	SLE R	0.00	17	SLU
476	Min.	-0.11	5	SLV	-0.22	17	SLU	-0.33	1	SLV	0.00	11	SLV	0.00	5	SLV	0.00	11	SLV
477	Max	0.11	1	SLV	0.11	9	SLV	-0.15	18	SLE R	0.00	17	SLU	0.00	18	SLE R	0.00	5	SLV
477	Min.	-0.11	7	SLV	-0.22	17	SLU	-0.33	9	SLV	0.00	11	SLV	0.00	5	SLV	0.00	17	SLU
478	Max	0.11	3	SLV	0.11	11	SLV	-0.12	18	SLE R	0.00	17	SLU	0.00	3	SLV	0.00	17	SLU
478	Min.	-0.11	5	SLV	-0.23	17	SLU	-0.33	9	SLV	0.00	11	SLV	0.00	5	SLV	0.00	5	SLV
479	Max	0.11	1	SLV	0.11	9	SLV	-0.10	18	SLE R	0.00	17	SLU	0.00	3	SLV	0.00	7	SLV
479	Min.	-0.11	7	SLV	-0.24	17	SLU	-0.33	9	SLV	0.00	9	SLV	0.00	5	SLV	0.00	1	SLV
480	Max	0.11	1	SLV	0.11	9	SLV	-0.10	18	SLE R	0.00	17	SLU	0.00	1	SLV	0.00	1	SLV
480	Min.	-0.11	7	SLV	-0.24	17	SLU	-0.33	11	SLV	0.00	9	SLV	0.00	7	SLV	0.00	7	SLV
481	Max	0.11	3	SLV	0.11	11	SLV	-0.11	18	SLE R	0.00	17	SLU	0.00	1	SLV	0.00	17	SLU
481	Min.	-0.11	5	SLV	-0.25	17	SLU	-0.33	11	SLV	0.00	9	SLV	0.00	7	SLV	0.00	1	SLV
482	Max	0.11	1	SLV	0.11	9	SLV	-0.13	18	SLE R	0.00	17	SLU	0.00	17	SLU	0.00	9	SLV
482	Min.	-0.11	7	SLV	-0.26	17	SLU	-0.33	5	SLV	0.00	9	SLV	0.00	7	SLV	0.00	17	SLU
483	Max	0.11	3	SLV	0.11	11	SLV	-0.17	3	SLV	0.00	17	SLU	0.00	17	SLU	0.00	17	SLU
483	Min.	-0.11	5	SLV	-0.26	17	SLU	-0.34	5	SLV	0.00	9	SLV	0.00	7	SLV	0.00	9	SLV
484	Max	0.11	3	SLV	0.11	11	SLV	-0.17	3	SLV	0.00	17	SLU	0.00	17	SLU	0.00	11	SLV
484	Min.	-0.11	5	SLV	-0.26	17	SLU	-0.33	5	SLV	0.00	9	SLV	0.00	5	SLV	0.00	17	SLU
485	Max	0.11	1	SLV	0.11	9	SLV	-0.17	1	SLV	0.00	17	SLU	0.00	17	SLU	0.00	17	SLU
485	Min.	-0.11	7	SLV	-0.26	17	SLU	-0.35	17	SLU	0.00	11	SLV	0.00	5	SLV	0.00	11	SLV
486	Max	0.11	3	SLV	0.11	11	SLV	-0.17	1	SLV	0.00	18	SLE R	0.00	17	SLU	0.00	11	SLV
486	Min.	-0.11	5	SLV	-0.26	17	SLU	-0.41	17										

## Relazione di calcolo

491Max	0.11	3SLV	0.11	11SLV	-0.17	11SLV	0.00	18SLE R	0.00	1SLV	0.00	1SLV
491Min.	-0.11	5SLV	-0.22	17SLU	-0.54	17SLU	0.00	17SLU	0.00	17SLU	0.00	17SLU
492Max	0.11	1SLV	0.11	9SLV	-0.17	5SLV	0.00	18SLE R	0.00	1SLV	0.00	17SLU
492Min.	-0.11	7SLV	-0.22	17SLU	-0.49	17SLU	0.00	9SLV	0.00	17SLU	0.00	9SLV
493Max	0.11	3SLV	0.11	11SLV	-0.17	5SLV	0.00	17SLU	0.00	1SLV	0.00	9SLV
493Min.	-0.11	5SLV	-0.22	17SLU	-0.45	17SLU	0.00	9SLV	0.00	17SLU	0.00	17SLU
494Max	4.85	1SLV	4.85	11SLV	-0.74	1SLV	0.01	17SLU	0.00	3SLV	0.00	17SLU
494Min.	-4.85	7SLV	-13.29	17SLU	-0.97	17SLU	-0.00	9SLV	-0.00	5SLV	0.00	1SLV
495Max	9.74	1SLV	9.74	11SLV	-0.80	1SLV	0.01	17SLU	0.00	3SLV	0.00	17SLU
495Min.	-9.74	7SLV	-26.76	17SLU	-1.04	17SLU	-0.00	9SLV	-0.00	5SLV	0.00	1SLV
496Max	14.96	1SLV	14.96	11SLV	-0.86	1SLV	0.01	17SLU	0.01	3SLV	0.00	17SLU
496Min.	-14.96	7SLV	-41.20	17SLU	-1.12	17SLU	-0.01	9SLV	-0.01	5SLV	0.00	1SLV
497Max	20.53	1SLV	20.53	11SLV	-0.91	1SLV	0.02	17SLU	0.01	3SLV	0.00	17SLU
497Min.	-20.53	7SLV	-56.67	17SLU	-1.19	17SLU	-0.01	9SLV	-0.01	5SLV	0.00	1SLV
498Max	26.46	1SLV	26.46	11SLV	-0.96	1SLV	0.02	17SLU	0.01	3SLV	0.00	17SLU
498Min.	-26.46	7SLV	-73.27	17SLU	-1.26	17SLU	-0.01	9SLV	-0.01	5SLV	0.00	1SLV
499Max	54.20	1SLV	54.20	9SLV	-1.13	1SLV	0.02	17SLU	0.01	3SLV	0.00	17SLU
499Min.	-54.20	5SLV	-153.50	17SLU	-1.49	17SLU	-0.01	9SLV	-0.01	5SLV	0.00	1SLV
500Max	46.63	1SLV	46.63	11SLV	-1.09	1SLV	0.02	17SLU	0.01	3SLV	0.00	17SLU
500Min.	-46.63	7SLV	-131.13	17SLU	-1.44	17SLU	-0.01	9SLV	-0.01	5SLV	0.00	1SLV
501Max	39.51	1SLV	39.51	11SLV	-1.05	1SLV	0.02	17SLU	0.01	3SLV	0.00	17SLU
501Min.	-39.51	7SLV	-110.43	17SLU	-1.38	17SLU	-0.01	9SLV	-0.01	5SLV	0.00	1SLV
502Max	32.80	1SLV	32.80	11SLV	-1.01	1SLV	0.02	17SLU	0.01	3SLV	0.00	17SLU
502Min.	-32.80	7SLV	-91.22	17SLU	-1.32	17SLU	-0.01	9SLV	-0.01	5SLV	0.00	1SLV
503Max	62.23	1SLV	62.23	9SLV	-1.16	1SLV	0.02	17SLU	0.01	3SLV	0.00	17SLU
503Min.	-62.23	5SLV	-177.69	17SLU	-1.53	17SLU	-0.01	9SLV	-0.01	5SLV	0.00	1SLV
504Max	69.43	3SLV	69.43	9SLV	-1.20	1SLV	0.03	17SLU	0.01	3SLV	0.00	17SLU
504Min.	-69.43	5SLV	-199.84	17SLU	-1.59	17SLU	-0.01	9SLV	-0.01	5SLV	0.00	1SLV
505Max	77.10	3SLV	77.10	9SLV	-1.23	1SLV	0.03	17SLU	0.01	3SLV	0.00	17SLU
505Min.	-77.10	5SLV	-223.86	17SLU	-1.64	17SLU	-0.01	9SLV	-0.01	5SLV	0.00	1SLV
506Max	86.80	3SLV	86.80	9SLV	-1.28	1SLV	0.03	17SLU	0.01	3SLV	0.00	17SLU
506Min.	-86.80	5SLV	-254.80	17SLU	-1.71	17SLU	-0.01	9SLV	-0.01	5SLV	0.00	1SLV
507Max	97.00	3SLV	97.00	9SLV	-1.33	1SLV	0.03	17SLU	0.01	3SLV	0.00	17SLU
507Min.	-97.00	5SLV	-287.88	17SLU	-1.78	17SLU	-0.01	9SLV	-0.01	5SLV	0.00	1SLV
508Max	107.62	3SLV	107.62	9SLV	-1.38	1SLV	0.03	17SLU	0.01	3SLV	0.00	17SLU
508Min.	-107.62	5SLV	-322.79	17SLU	-1.85	17SLU	-0.01	9SLV	-0.01	5SLV	0.00	1SLV
509Max	118.41	3SLV	118.41	9SLV	-1.42	1SLV	0.03	17SLU	0.01	17SLU	0.00	17SLU
509Min.	-118.41	5SLV	-358.71	17SLU	-1.92	17SLU	-0.01	9SLV	-0.01	5SLV	0.00	1SLV

Min = -358.71

Max = 118.41

## Reazioni vincolari

### Simbologia

Nodo = Numero del nodo  
 CC = Numero della combinazione delle condizioni di carico elementari  
 TCC = Tipo di combinazione di carico  
 SLU = Stato limite ultimo  
 SLU S = Stato limite ultimo (azione sismica)  
 SLE R = Stato limite d'esercizio, combinazione rara  
 SLE F = Stato limite d'esercizio, combinazione frequente  
 SLE Q = Stato limite d'esercizio, combinazione quasi permanente  
 SLD = Stato limite di danno  
 SLV = Stato limite di salvaguardia della vita  
 SLC = Stato limite di prevenzione del collasso  
 SLO = Stato limite di operatività  
 SLU I = Stato limite di resistenza al fuoco  
 SND = Stato limite di salvaguardia della vita (non dissipativo)  
 Fx = Reazione vincolare (forza) in dir. X  
 Fy = Reazione vincolare (forza) in dir. Y  
 Fz = Reazione vincolare (forza) in dir. Z  
 Mx = Reazione vincolare (momento) intorno all'asse X  
 My = Reazione vincolare (momento) intorno all'asse Y  
 Mz = Reazione vincolare (momento) intorno all'asse Z

Nodo	CC	TCC	Fx <daN>	CC	TCC	Fy <daN>	CC	TCC	Fz <daN>	CC	TCC	Mx <daNm>	CC	TCC	My <daNm>	CC	TCC	Mz <daNm>
378Max	5	SLV	5378.85	17SLU	22269.10	17SLU	1141390.00	11SLV	2154.51	17SLU	34024.40	11SLV	7221.71					
378Min	3	SLV	-5485.13	11SLV	-5432.76	5SLV	685701.00	17SLU	-11774.30	17SLU	25933.70	1SLV	-40928.80					
457Max	5	SLV	5389.37	17SLU	22607.00	1SLV	876446.00	11SLV	-13660.50	5SLV	22493.40	11SLV	7115.69					
457Min	3	SLV	-5475.38	11SLV	-5463.83	18SLE R	640301.00	17SLU	-29681.00	18SLE R	17342.90	1SLV	-38660.10					
459Max	5	SLV	5416.33	17SLU	23565.60	9SLV	882060.00	5SLV	-24309.40	5SLV	10263.10	5SLV	7537.67					
459Min	3	SLV	-5449.21	11SLV	-5482.66	18SLE R	473582.00	17SLU	-36284.00	18SLE R	4561.10	1SLV	-22110.40					
461Max	7	SLV	5449.17	17SLU	24793.40	11SLV	882059.00	1SLV	-24308.50	7SLV	-5980.63	7SLV	7537.66					
461Min	1	SLV	-5416.36	9SLV	-5482.68	18SLE R	424686.00	17SLU	-34977.50	1SLV	-10262.90	1SLV	-7537.97					
463Max	7	SLV	5475.35	17SLU	25828.10	5SLV	876446.00	9SLV	-13660.00	18SLE R	-18950.90	17SLU	25507.10					
463Min	1	SLV	-5389.38	9SLV	-5463.87	18SLE R	512288.00	17SLU	-27567.00	17SLU	-24397.60	1SLV	-7116.26					
465Max	5	SLV	5485.13	17SLU	26263.90	17SLU	904041.00	11SLV	2154.50	5SLV	-25933.70	17SLU	38386.40					
465Min	3	SLV	-5378.85	11SLV	-5432.79	1SLV	685701.00	17SLU	-11774.30	17SLU	-34900.60	1SLV	-7222.03					

## Relazione di calcolo

467	Max	5	SLV	5475.38	17	SLU	25921.10	17	SLU	1235340.00	11	SLV	17236.40	5	SLV	-20032.40	17	SLU	36117.70
467	Min	3	SLV	-5389.37	11	SLV	-5401.39	1	SLV	687108.00	18	SLE R	9172.81	17	SLU	-33775.90	1	SLV	-7116.01
469	Max	5	SLV	5449.20	17	SLU	24933.10	17	SLU	1485420.00	17	SLU	29267.40	5	SLV	-5980.28	17	SLU	19568.00
469	Min	17	SLU	-5504.32	11	SLV	-5381.59	9	SLV	681498.00	18	SLE R	22669.00	17	SLU	-15996.20	1	SLV	-7537.97
471	Max	7	SLV	5416.36	17	SLU	23691.90	17	SLU	1558760.00	17	SLU	30573.90	17	SLU	11099.00	1	SLV	7537.63
471	Min	17	SLU	-5534.19	9	SLV	-5381.59	11	SLV	681497.00	18	SLE R	23540.00	7	SLV	5980.63	1	SLV	-7537.95
473	Max	7	SLV	5389.38	17	SLU	22678.40	17	SLU	1427350.00	9	SLV	17236.90	17	SLU	31363.80	9	SLV	7115.92
473	Min	1	SLV	-5475.35	9	SLV	-5401.37	5	SLV	687108.00	18	SLE R	10582.20	17	SLU	20033.10	1	SLV	-28049.40

## Sollecitazioni aste

### Simbologia

Asta = Numero dell'asta  
 N1 = Nodo1  
 N2 = Nodo2  
 X = Coordinata progressiva rispetto al nodo iniziale  
 N = Sforzo normale  
 CC = Numero della combinazione delle condizioni di carico elementari  
 Ty = Taglio in dir. Y  
 Mz = Momento flettente intorno all'asse Z  
 Tz = Taglio in dir. Z  
 My = Momento flettente intorno all'asse Y  
 Mx = Momento torcente intorno all'asse X

Tipo di combinazione di carico: SLV

Asta	N1	N2	X <cm>	N <daN>	CC	Ty <daN>	CC	Mz <daNm>	CC	Tz <daN>	CC	My <daNm>	CC	Mx <daNm>	CC	
10	110	-90	Max	0.00	-3847250.00	1	54120.50	13	5047760.00	9	54120.50	1	5047760.00	5	0.00	1
10	110	-90	Max	532.00	-3590480.00	1	54120.50	13	4759840.00	9	54120.50	1	4759840.00	5	0.00	1
10	110	-90	Min.	0.00	-3847250.00	1	-54120.50	9	-5047760.00	13	-54120.50	5	-5047760.00	1	0.00	1
10	110	-90	Min.	532.00	-3590480.00	1	-54120.50	9	-4759840.00	13	-54120.50	5	-4759840.00	1	0.00	1
10	-90	494	Max	0.00	-3590480.00	1	53586.10	13	4759840.00	9	53586.10	1	4759840.00	5	0.00	1
10	-90	494	Max	532.00	-3333720.00	1	53586.10	13	4474760.00	9	53586.10	1	4474760.00	5	0.00	1
10	-90	494	Min.	0.00	-3590480.00	1	-53586.10	9	-4759840.00	13	-53586.10	5	-4759840.00	1	0.00	1
10	-90	494	Min.	532.00	-3333720.00	1	-53586.10	9	-4474760.00	13	-53586.10	5	-4474760.00	1	0.00	1
10	494	-89	Max	0.00	-3333720.00	1	52758.90	13	4474760.00	9	52758.90	1	4474760.00	5	0.00	1
10	494	-89	Max	529.00	-3090440.00	1	52758.90	13	4195670.00	9	52758.90	1	4195670.00	5	0.00	1
10	494	-89	Min.	0.00	-3333720.00	1	-52758.90	9	-4474760.00	13	-52758.90	5	-4474760.00	1	0.00	1
10	494	-89	Min.	529.00	-3090440.00	1	-52758.90	9	-4195670.00	13	-52758.90	5	-4195670.00	1	0.00	1
10	-89	495	Max	0.00	-3090440.00	1	51657.10	13	4195670.00	9	51657.10	1	4195670.00	5	0.00	1
10	-89	495	Max	529.00	-2847160.00	1	51657.10	13	3922400.00	9	51657.10	1	3922400.00	5	0.00	1
10	-89	495	Min.	0.00	-3090440.00	1	-51657.10	9	-4195670.00	13	-51657.10	5	-4195670.00	1	0.00	1
10	-89	495	Min.	529.00	-2847160.00	1	-51657.10	9	-3922400.00	13	-51657.10	5	-3922400.00	1	0.00	1
10	495	-88	Max	0.00	-2847160.00	1	50357.10	13	3922400.00	9	50357.10	1	3922400.00	5	0.00	1
10	495	-88	Max	529.00	-2638230.00	1	50357.10	13	3656010.00	9	50357.10	1	3656010.00	5	0.00	1
10	495	-88	Min.	0.00	-2847160.00	1	-50357.10	9	-3922400.00	13	-50357.10	5	-3922400.00	1	0.00	1
10	495	-88	Min.	529.00	-2638230.00	1	-50357.10	9	-3656010.00	13	-50357.10	5	-3656010.00	1	0.00	1
10	-88	496	Max	0.00	-2638230.00	1	48900.80	13	3656010.00	9	48900.80	1	3656010.00	5	0.00	1
10	-88	496	Max	529.00	-2429290.00	1	48900.80	13	3397320.00	9	48900.80	1	3397320.00	5	0.00	1
10	-88	496	Min.	0.00	-2638230.00	1	-48900.80	9	-3656010.00	13	-48900.80	5	-3656010.00	1	0.00	1
10	-88	496	Min.	529.00	-2429290.00	1	-48900.80	9	-3397320.00	13	-48900.80	5	-3397320.00	1	0.00	1
10	496	-87	Max	0.00	-2429290.00	1	47233.40	13	3397320.00	9	47233.40	1	3397320.00	5	0.00	1
10	496	-87	Max	529.00	-2231060.00	1	47233.40	13	3147460.00	9	47233.40	1	3147460.00	5	0.00	1
10	496	-87	Min.	0.00	-2429290.00	1	-47233.40	9	-3397320.00	13	-47233.40	5	-3397320.00	1	0.00	1
10	496	-87	Min.	529.00	-2231060.00	1	-47233.40	9	-3147460.00	13	-47233.40	5	-3147460.00	1	0.00	1
10	-87	497	Max	0.00	-2231060.00	1	45367.80	13	3147460.00	9	45367.80	1	3147460.00	5	0.00	1
10	-87	497	Max	529.00	-2032830.00	1	45367.80	13	2907460.00	9	45367.80	1	2907460.00	5	0.00	1
10	-87	497	Min.	0.00	-2231060.00	1	-45367.80	9	-3147460.00	13	-45367.80	5	-3147460.00	1	0.00	1
10	-87	497	Min.	529.00	-2032830.00	1	-45367.80	9	-2907460.00	13	-45367.80	5	-2907460.00	1	0.00	1
10	497	-86	Max	0.00	-2032830.00	1	43426.00	13	2907460.00	9	43426.00	1	2907460.00	5	0.00	1
10	497	-86	Max	529.00	-1865770.00	1	43426.00	13	2677740.00	9	43426.00	1	2677740.00	5	0.00	1
10	497	-86	Min.	0.00	-2032830.00	1	-43426.00	9	-2907460.00	13	-43426.00	5	-2907460.00	1	0.00	1
10	497	-86	Min.	529.00	-1865770.00	1	-43426.00	9	-2677740.00	13	-43426.00	5	-2677740.00	1	0.00	1
10	-86	498	Max	0.00	-1865770.00	1	41446.10	13	2677740.00	9	41446.10	1	2677740.00	5	0.00	1
10	-86	498	Max	529.00	-1698720.00	1	41446.10	13	2458490.00	9	41446.10	1	2458490.00	5	0.00	1
10	-86	498	Min.	0.00	-1865770.00	1	-41446.10	9	-2677740.00	13	-41446.10	5	-2677740.00	1	0.00	1
10	-86	498	Min.	529.00	-1698720.00	1	-41446.10	9	-2458490.00	13	-41446.10	5	-2458490.00	1	0.00	1
10	498	-85	Max	0.00	-1698720.00	1	39317.60	13	2458490.00	9	39317.60	1	2458490.00	5	0.00	1
10	498	-85	Max	532.00	-1540140.00	1	39317.60	13	2249320.00	9	39317.60	1	2249320.00	5	0.00	1
10	498	-85	Min.	0.00	-1698720.00	1	-39317.60	9	-2458490.00	13	-39317.60	5	-2458490.00	1	0.00	1
10	498	-85	Min.	532.00	-1540140.00	1	-39317.60	9	-2249320.00	13	-39317.60	5	-2249320.00	1	0.00	1
10	-85	502	Max	0.00	-1540140.00	1	37049.90	13	2249320.00	9	37049.90	1	2249320.00	5	0.00	1
10	-85	502	Max	532.00	-1381550.00	1	37049.90	13	2052220.00	9	37049.90	1	2052220.00	5	0.00	1
10	-85	502	Min.	0.00	-1540140.00	1	-37049.90	9	-2249320.00	13	-37049.90	5	-2249320.00	1	0.00	1
10	-85	502	Min.	532.00	-1381550.00	1	-37049.90	9	-2052220.00	13	-37049.90	5	-2052220.00	1	0.00	1
10	502	-84	Max	0.00	-1381550.00	1	34812.60	13	2052220.00	9	34812.60	1	2052220.00	5	0.00	1
10	502	-84	Max	529.00	-1251970.00	1	34812.60	13	1868060.00	9	34812.60	1	1868060.00	5	0.00	1
10	502	-84	Min.	0.00	-1381550.00	1	-34812.60	9	-2052220.00	13	-34812.60	5	-2052220.00	1	0.00	1
10	502	-84	Min.	529.00	-1251970.00	1	-34812.60	9	-1868060.00	13	-34812.60	5	-1868060.00	1	0.00	1

## Relazione di calcolo

10	-84	501	Max	0.00	-1251970.00	1	32642.50	13	1868060.00	9	32642.50	1	1868060.00	5	0.00	1
10	-84	501	Max	529.00	-1122390.00	1	32642.50	13	1695380.00	9	32642.50	1	1695380.00	5	0.00	1
10	-84	501	Min.	0.00	-1251970.00	1	-32642.50	9	-1868060.00	13	-32642.50	5	-1868060.00	1	0.00	1
10	-84	501	Min.	529.00	-1122390.00	1	-32642.50	9	-1695380.00	13	-32642.50	5	-1695380.00	1	0.00	1
10	501	-83	Max	0.00	-1122390.00	1	30386.30	13	1695380.00	9	30386.30	1	1695380.00	5	0.00	1
10	501	-83	Max	529.00	-1000840.00	1	30386.30	13	1534640.00	9	30386.30	1	1534640.00	5	0.00	1
10	501	-83	Min.	0.00	-1122390.00	1	-30386.30	9	-1695380.00	13	-30386.30	5	-1695380.00	1	0.00	1
10	501	-83	Min.	529.00	-1000840.00	1	-30386.30	9	-1534640.00	13	-30386.30	5	-1534640.00	1	0.00	1
10	-83	500	Max	0.00	-1000840.00	1	28053.80	13	1534640.00	9	28053.80	1	1534640.00	5	0.00	1
10	-83	500	Max	529.00	-879291.00	1	28053.80	13	1386230.00	9	28053.80	1	1386230.00	5	0.00	1
10	-83	500	Min.	0.00	-1000840.00	1	-28053.80	9	-1534640.00	13	-28053.80	5	-1534640.00	1	0.00	1
10	-83	500	Min.	529.00	-879291.00	1	-28053.80	9	-1386230.00	13	-28053.80	5	-1386230.00	1	0.00	1
10	500	-82	Max	0.00	-879291.00	1	25827.20	13	1386230.00	9	25827.20	1	1386230.00	5	0.00	1
10	500	-82	Max	529.00	-782652.00	1	25827.20	13	1249600.00	9	25827.20	1	1249600.00	5	0.00	1
10	500	-82	Min.	0.00	-879291.00	1	-25827.20	9	-1386230.00	13	-25827.20	5	-1386230.00	1	0.00	1
10	500	-82	Min.	529.00	-782652.00	1	-25827.20	9	-1249600.00	13	-25827.20	5	-1249600.00	1	0.00	1
10	-82	499	Max	0.00	-782652.00	1	23736.90	13	1249600.00	9	23736.90	1	1249600.00	5	0.00	1
10	-82	499	Max	529.00	-686012.00	1	23736.90	13	1124040.00	9	23736.90	1	1124040.00	5	0.00	1
10	-82	499	Min.	0.00	-782652.00	1	-23736.90	9	-1249600.00	13	-23736.90	5	-1249600.00	1	0.00	1
10	-82	499	Min.	529.00	-686012.00	1	-23736.90	9	-1124040.00	13	-23736.90	5	-1124040.00	1	0.00	1
10	499	-81	Max	0.00	-686012.00	1	21605.10	13	1124040.00	9	21605.10	1	1124040.00	5	0.00	1
10	499	-81	Max	529.00	-596061.00	1	21605.10	13	1009750.00	9	21605.10	1	1009750.00	5	0.00	1
10	499	-81	Min.	0.00	-686012.00	1	-21605.10	9	-1124040.00	13	-21605.10	5	-1124040.00	1	0.00	1
10	499	-81	Min.	529.00	-596061.00	1	-21605.10	9	-1009750.00	13	-21605.10	5	-1009750.00	1	0.00	1
10	-81	503	Max	0.00	-596061.00	1	19439.90	13	1009750.00	9	19439.90	1	1009750.00	5	0.00	1
10	-81	503	Max	529.00	-506111.00	1	19439.90	13	906908.00	9	19439.90	1	906908.00	5	0.00	1
10	-81	503	Min.	0.00	-596061.00	1	-19439.90	9	-1009750.00	13	-19439.90	5	-1009750.00	1	0.00	1
10	-81	503	Min.	529.00	-506111.00	1	-19439.90	9	-906908.00	13	-19439.90	5	-906908.00	1	0.00	1
10	503	-80	Max	0.00	-506110.00	1	18066.30	13	906908.00	9	18066.30	1	906908.00	5	0.00	1
10	503	-80	Max	444.25	-487442.00	1	18066.30	13	826648.00	9	18066.30	1	826648.00	5	0.00	1
10	503	-80	Min.	0.00	-506110.00	1	-18066.30	9	-906908.00	13	-18066.30	5	-906908.00	1	0.00	1
10	503	-80	Min.	444.25	-487442.00	1	-18066.30	9	-826648.00	13	-18066.30	5	-826648.00	1	0.00	1
10	-80	504	Max	0.00	-487440.00	1	17575.00	13	826640.00	9	17575.00	1	826640.00	5	0.00	1
10	-80	504	Max	444.25	-468771.00	1	17575.00	13	748563.00	9	17575.00	1	748563.00	5	0.00	1
10	-80	504	Min.	0.00	-487440.00	1	-17575.00	9	-826640.00	13	-17575.00	5	-826640.00	1	0.00	1
10	-80	504	Min.	444.25	-468771.00	1	-17575.00	9	-748563.00	13	-17575.00	5	-748563.00	1	0.00	1
10	504	-79	Max	0.00	-468773.00	1	17064.60	13	748571.00	9	17064.60	1	748571.00	5	0.00	1
10	504	-79	Max	444.25	-450104.00	1	17064.60	13	672762.00	9	17064.60	1	672762.00	5	0.00	1
10	504	-79	Min.	0.00	-468773.00	1	-17064.60	9	-748571.00	13	-17064.60	5	-748571.00	1	0.00	1
10	504	-79	Min.	444.25	-450104.00	1	-17064.60	9	-672762.00	13	-17064.60	5	-672762.00	1	0.00	1
10	-79	505	Max	0.00	-450102.00	1	16535.00	13	672753.00	9	16535.00	1	672753.00	5	0.00	1
10	-79	505	Max	444.25	-431433.00	1	16535.00	13	599296.00	9	16535.00	1	599296.00	5	0.00	1
10	-79	505	Min.	0.00	-450102.00	1	-16535.00	9	-672753.00	13	-16535.00	5	-672753.00	1	0.00	1
10	-79	505	Min.	444.25	-431433.00	1	-16535.00	9	-599296.00	13	-16535.00	5	-599296.00	1	0.00	1
10	505	-78	Max	0.00	-431435.00	1	16014.80	13	599304.00	9	16014.80	1	599304.00	5	0.00	1
10	505	-78	Max	529.60	-414705.00	1	16014.80	13	514490.00	9	16014.80	1	514490.00	5	0.00	1
10	505	-78	Min.	0.00	-431435.00	1	-16014.80	9	-599304.00	13	-16014.80	5	-599304.00	1	0.00	1
10	505	-78	Min.	529.60	-414705.00	1	-16014.80	9	-514490.00	13	-16014.80	5	-514490.00	1	0.00	1
10	-78	506	Max	0.00	-414705.00	1	15502.60	13	514490.00	9	15502.60	1	514490.00	5	0.00	1
10	-78	506	Max	529.60	-397974.00	1	15502.60	13	432388.00	9	15502.60	1	432388.00	5	0.00	1
10	-78	506	Min.	0.00	-414705.00	1	-15502.60	9	-514490.00	13	-15502.60	5	-514490.00	1	0.00	1
10	-78	506	Min.	529.60	-397974.00	1	-15502.60	9	-432388.00	13	-15502.60	5	-432388.00	1	0.00	1
10	506	-77	Max	0.00	-397974.00	1	14970.00	13	432388.00	9	14970.00	1	432388.00	5	0.00	1
10	506	-77	Max	529.60	-381243.00	1	14970.00	13	353106.00	9	14970.00	1	353106.00	5	0.00	1
10	506	-77	Min.	0.00	-397974.00	1	-14970.00	9	-432388.00	13	-14970.00	5	-432388.00	1	0.00	1
10	506	-77	Min.	529.60	-381243.00	1	-14970.00	9	-353106.00	13	-14970.00	5	-353106.00	1	0.00	1
10	-77	507	Max	0.00	-381243.00	1	14417.00	13	353107.00	9	14417.00	1	353107.00	5	0.00	1
10	-77	507	Max	529.60	-364512.00	1	14417.00	13	276754.00	9	14417.00	1	276754.00	5	0.00	1
10	-77	507	Min.	0.00	-381243.00	1	-14417.00	9	-353107.00	13	-14417.00	5	-353107.00	1	0.00	1
10	-77	507	Min.	529.60	-364512.00	1	-14417.00	9	-276754.00	13	-14417.00	5	-276754.00	1	0.00	1
10	507	-76	Max	0.00	-364512.00	1	13853.80	13	276754.00	9	13853.80	1	276754.00	5	0.00	1
10	507	-76	Max	533.25	-348384.00	1	13853.80	13	202879.00	9	13853.80	1	202879.00	5	0.00	1
10	507	-76	Min.	0.00	-364512.00	1	-13853.80	9	-276754.00	13	-13853.80	5	-276754.00	1	0.00	1
10	507	-76	Min.	533.25	-348384.00	1	-13853.80	9	-202879.00	13	-13853.80	5	-202879.00	1	0.00	1
10	-76	508	Max	0.00	-348386.00	1	13281.10	13	202886.00	9	13281.10	1	202886.00	5	0.00	1
10	-76	508	Max	533.25	-332258.00	1	13281.10	13	132065.00	9	13281.10	1	132065.00	5	0.00	1
10	-76	508	Min.	0.00	-348386.00	1	-13281.10	9	-202886.00	13	-13281.10	5	-202886.00	1	0.00	1
10	-76	508	Min.	533.25	-332258.00	1	-13281.10	9	-132065.00	13	-13281.10	5	-132065.00	1	0.00	1
10	508	-75	Max	0.00	-332256.00	1	12688.50	13	132058.00</							

## Relazione di calcolo

Asta	N1	N2		X <cm>	N <daN>	CC	Ty <daN>	CC	Mz <daNm>	CC	Tz <daN>	CC	My <daNm>	CC	Mx <daNm>	CC
10	110	-90	Max	0.00	-3847250.00	1	54120.50	13	5047760.00	9	54120.50	1	5047760.00	5	0.00	1
10	110	-90	Max	532.00	-3590480.00	1	54120.50	13	4759840.00	9	54120.50	1	4759840.00	5	0.00	1
10	110	-90	Min.	0.00	-3847250.00	1	-54120.50	9	-5047760.00	13	-54120.50	5	-5047760.00	1	0.00	1
10	110	-90	Min.	532.00	-3590480.00	1	-54120.50	9	-4759840.00	13	-54120.50	5	-4759840.00	1	0.00	1
10	-90	494	Max	0.00	-3590480.00	1	53586.10	13	4759840.00	9	53586.10	1	4759840.00	5	0.00	1
10	-90	494	Max	532.00	-3333720.00	1	53586.10	13	4474760.00	9	53586.10	1	4474760.00	5	0.00	1
10	-90	494	Min.	0.00	-3590480.00	1	-53586.10	9	-4759840.00	13	-53586.10	5	-4759840.00	1	0.00	1
10	-90	494	Min.	532.00	-3333720.00	1	-53586.10	9	-4474760.00	13	-53586.10	5	-4474760.00	1	0.00	1
10	494	-89	Max	0.00	-3333720.00	1	52758.90	13	4474760.00	9	52758.90	1	4474760.00	5	0.00	1
10	494	-89	Max	529.00	-3090440.00	1	52758.90	13	4195670.00	9	52758.90	1	4195670.00	5	0.00	1
10	494	-89	Min.	0.00	-3333720.00	1	-52758.90	9	-4474760.00	13	-52758.90	5	-4474760.00	1	0.00	1
10	494	-89	Min.	529.00	-3090440.00	1	-52758.90	9	-4195670.00	13	-52758.90	5	-4195670.00	1	0.00	1
10	-89	495	Max	0.00	-3090440.00	1	51657.10	13	4195670.00	9	51657.10	1	4195670.00	5	0.00	1
10	-89	495	Max	529.00	-2847160.00	1	51657.10	13	3922400.00	9	51657.10	1	3922400.00	5	0.00	1
10	-89	495	Min.	0.00	-3090440.00	1	-51657.10	9	-4195670.00	13	-51657.10	5	-4195670.00	1	0.00	1
10	-89	495	Min.	529.00	-2847160.00	1	-51657.10	9	-3922400.00	13	-51657.10	5	-3922400.00	1	0.00	1
10	495	-88	Max	0.00	-2847160.00	1	50357.10	13	3922400.00	9	50357.10	1	3922400.00	5	0.00	1
10	495	-88	Max	529.00	-2638230.00	1	50357.10	13	3656010.00	9	50357.10	1	3656010.00	5	0.00	1
10	495	-88	Min.	0.00	-2847160.00	1	-50357.10	9	-3922400.00	13	-50357.10	5	-3922400.00	1	0.00	1
10	495	-88	Min.	529.00	-2638230.00	1	-50357.10	9	-3656010.00	13	-50357.10	5	-3656010.00	1	0.00	1
10	-88	496	Max	0.00	-2638230.00	1	48900.80	13	3656010.00	9	48900.80	1	3656010.00	5	0.00	1
10	-88	496	Max	529.00	-2429290.00	1	48900.80	13	3397320.00	9	48900.80	1	3397320.00	5	0.00	1
10	-88	496	Min.	0.00	-2638230.00	1	-48900.80	9	-3656010.00	13	-48900.80	5	-3656010.00	1	0.00	1
10	-88	496	Min.	529.00	-2429290.00	1	-48900.80	9	-3397320.00	13	-48900.80	5	-3397320.00	1	0.00	1
10	496	-87	Max	0.00	-2429290.00	1	47233.40	13	3397320.00	9	47233.40	1	3397320.00	5	0.00	1
10	496	-87	Max	529.00	-2231060.00	1	47233.40	13	3147460.00	9	47233.40	1	3147460.00	5	0.00	1
10	496	-87	Min.	0.00	-2429290.00	1	-47233.40	9	-3397320.00	13	-47233.40	5	-3397320.00	1	0.00	1
10	496	-87	Min.	529.00	-2231060.00	1	-47233.40	9	-3147460.00	13	-47233.40	5	-3147460.00	1	0.00	1
10	-87	497	Max	0.00	-2231060.00	1	45367.80	13	3147460.00	9	45367.80	1	3147460.00	5	0.00	1
10	-87	497	Max	529.00	-2032830.00	1	45367.80	13	2907460.00	9	45367.80	1	2907460.00	5	0.00	1
10	-87	497	Min.	0.00	-2231060.00	1	-45367.80	9	-3147460.00	13	-45367.80	5	-3147460.00	1	0.00	1
10	-87	497	Min.	529.00	-2032830.00	1	-45367.80	9	-2907460.00	13	-45367.80	5	-2907460.00	1	0.00	1
10	497	-86	Max	0.00	-2032830.00	1	43426.00	13	2907460.00	9	43426.00	1	2907460.00	5	0.00	1
10	497	-86	Max	529.00	-1865770.00	1	43426.00	13	2677740.00	9	43426.00	1	2677740.00	5	0.00	1
10	497	-86	Min.	0.00	-2032830.00	1	-43426.00	9	-2907460.00	13	-43426.00	5	-2907460.00	1	0.00	1
10	497	-86	Min.	529.00	-1865770.00	1	-43426.00	9	-2677740.00	13	-43426.00	5	-2677740.00	1	0.00	1
10	-86	498	Max	0.00	-1865770.00	1	41446.10	13	2677740.00	9	41446.10	1	2677740.00	5	0.00	1
10	-86	498	Max	529.00	-1698720.00	1	41446.10	13	2458490.00	9	41446.10	1	2458490.00	5	0.00	1
10	-86	498	Min.	0.00	-1865770.00	1	-41446.10	9	-2677740.00	13	-41446.10	5	-2677740.00	1	0.00	1
10	-86	498	Min.	529.00	-1698720.00	1	-41446.10	9	-2458490.00	13	-41446.10	5	-2458490.00	1	0.00	1
10	498	-85	Max	0.00	-1698720.00	1	39317.60	13	2458490.00	9	39317.60	1	2458490.00	5	0.00	1
10	498	-85	Max	532.00	-1540140.00	1	39317.60	13	2249320.00	9	39317.60	1	2249320.00	5	0.00	1
10	498	-85	Min.	0.00	-1698720.00	1	-39317.60	9	-2458490.00	13	-39317.60	5	-2458490.00	1	0.00	1
10	498	-85	Min.	532.00	-1540140.00	1	-39317.60	9	-2249320.00	13	-39317.60	5	-2249320.00	1	0.00	1
10	-85	502	Max	0.00	-1540140.00	1	37049.90	13	2249320.00	9	37049.90	1	2249320.00	5	0.00	1
10	-85	502	Max	532.00	-1381550.00	1	37049.90	13	2052220.00	9	37049.90	1	2052220.00	5	0.00	1
10	-85	502	Min.	0.00	-1540140.00	1	-37049.90	9	-2249320.00	13	-37049.90	5	-2249320.00	1	0.00	1
10	-85	502	Min.	532.00	-1381550.00	1	-37049.90	9	-2052220.00	13	-37049.90	5	-2052220.00	1	0.00	1
10	502	-84	Max	0.00	-1381550.00	1	34812.60	13	2052220.00	9	34812.60	1	2052220.00	5	0.00	1
10	502	-84	Max	529.00	-1251970.00	1	34812.60	13	1868060.00	9	34812.60	1	1868060.00	5	0.00	1
10	502	-84	Min.	0.00	-1381550.00	1	-34812.60	9	-2052220.00	13	-34812.60	5	-2052220.00	1	0.00	1
10	502	-84	Min.	529.00	-1251970.00	1	-34812.60	9	-1868060.00	13	-34812.60	5	-1868060.00	1	0.00	1
10	-84	501	Max	0.00	-1251970.00	1	32642.50	13	1868060.00	9	32642.50	1	1868060.00	5	0.00	1
10	-84	501	Max	529.00	-1122390.00	1	32642.50	13	1695380.00	9	32642.50	1	1695380.00	5	0.00	1
10	-84	501	Min.	0.00	-1251970.00	1	-32642.50	9	-1868060.00	13	-32642.50	5	-1868060.00	1	0.00	1
10	-84	501	Min.	529.00	-1122390.00	1	-32642.50	9	-1695380.00	13	-32642.50	5	-1695380.00	1	0.00	1
10	501	-83	Max	0.00	-1122390.00	1	30386.30	13	1695380.00	9	30386.30	1	1695380.00	5	0.00	1
10	501	-83	Max	529.00	-1000840.00	1	30386.30	13	1534640.00	9	30386.30	1	1534640.00	5	0.00	1
10	501	-83	Min.	0.00	-1122390.00	1	-30386.30	9	-1695380.00	13	-30386.30	5	-1695380.00	1	0.00	1
10	501	-83	Min.	529.00	-1000840.00	1	-30386.30	9	-1534640.00	13	-30386.30	5	-1534640.00	1	0.00	1
10	-83	500	Max	0.00	-1000840.00	1	28053.80	13	1534640.00	9	28053.80	1	1534640.00	5	0.00	1
10	-83	500	Max	529.00	-879291.00	1	28053.80	13	1386230.00	9	28053.80	1	1386230.00	5	0.00	1
10	-83	500	Min.	0.00	-1000840.00	1	-28053.80	9	-1534640.00	13	-28053.80	5	-1534640.00	1	0.00	1
10	-83	500	Min.	529.00	-879291.00	1	-28053.80	9	-1386230.00	13	-28053.80	5	-1386230.00	1	0.00	1
10	500	-82	Max	0.00	-879291.00	1	25827.20	13	1386230.00	9	25827.20	1	1386230.00	5	0.00	1
10	500	-82	Max	529.00	-782652.00	1	25827.20	13	1249600.00	9	25827.20	1	1249600.00	5	0.00	1
10	500	-82	Min.	0.00	-879291.00	1	-25827.20	9	-1386230.00	13	-25827.2					

## Relazione di calcolo

10	-81	503	Max	529.00	-506111.00	1	19439.90	13	906908.00	9	19439.90	1	906908.00	5	0.00	1
10	-81	503	Min.	0.00	-596061.00	1	-19439.90	9	-1009750.00	13	-19439.90	5	-1009750.00	1	0.00	1
10	-81	503	Min.	529.00	-506111.00	1	-19439.90	9	-906908.00	13	-19439.90	5	-906908.00	1	0.00	1
10	503	-80	Max	0.00	-506110.00	1	18066.30	13	906908.00	9	18066.30	1	906908.00	5	0.00	1
10	503	-80	Max	444.25	-487442.00	1	18066.30	13	826648.00	9	18066.30	1	826648.00	5	0.00	1
10	503	-80	Min.	0.00	-506110.00	1	-18066.30	9	-906908.00	13	-18066.30	5	-906908.00	1	0.00	1
10	503	-80	Min.	444.25	-487442.00	1	-18066.30	9	-826648.00	13	-18066.30	5	-826648.00	1	0.00	1
10	-80	504	Max	0.00	-487440.00	1	17575.00	13	826640.00	9	17575.00	1	826640.00	5	0.00	1
10	-80	504	Max	444.25	-468771.00	1	17575.00	13	748563.00	9	17575.00	1	748563.00	5	0.00	1
10	-80	504	Min.	0.00	-487440.00	1	-17575.00	9	-826640.00	13	-17575.00	5	-826640.00	1	0.00	1
10	-80	504	Min.	444.25	-468771.00	1	-17575.00	9	-748563.00	13	-17575.00	5	-748563.00	1	0.00	1
10	504	-79	Max	0.00	-468773.00	1	17064.60	13	748571.00	9	17064.60	1	748571.00	5	0.00	1
10	504	-79	Max	444.25	-450104.00	1	17064.60	13	672762.00	9	17064.60	1	672762.00	5	0.00	1
10	504	-79	Min.	0.00	-468773.00	1	-17064.60	9	-748571.00	13	-17064.60	5	-748571.00	1	0.00	1
10	504	-79	Min.	444.25	-450104.00	1	-17064.60	9	-672762.00	13	-17064.60	5	-672762.00	1	0.00	1
10	-79	505	Max	0.00	-450102.00	1	16535.00	13	672753.00	9	16535.00	1	672753.00	5	0.00	1
10	-79	505	Max	444.25	-431433.00	1	16535.00	13	599296.00	9	16535.00	1	599296.00	5	0.00	1
10	-79	505	Min.	0.00	-450102.00	1	-16535.00	9	-672753.00	13	-16535.00	5	-672753.00	1	0.00	1
10	-79	505	Min.	444.25	-431433.00	1	-16535.00	9	-599296.00	13	-16535.00	5	-599296.00	1	0.00	1
10	505	-78	Max	0.00	-431435.00	1	16014.80	13	599304.00	9	16014.80	1	599304.00	5	0.00	1
10	505	-78	Max	529.60	-414705.00	1	16014.80	13	514490.00	9	16014.80	1	514490.00	5	0.00	1
10	505	-78	Min.	0.00	-431435.00	1	-16014.80	9	-599304.00	13	-16014.80	5	-599304.00	1	0.00	1
10	505	-78	Min.	529.60	-414705.00	1	-16014.80	9	-514490.00	13	-16014.80	5	-514490.00	1	0.00	1
10	-78	506	Max	0.00	-414705.00	1	15502.60	13	514490.00	9	15502.60	1	514490.00	5	0.00	1
10	-78	506	Max	529.60	-397974.00	1	15502.60	13	432388.00	9	15502.60	1	432388.00	5	0.00	1
10	-78	506	Min.	0.00	-414705.00	1	-15502.60	9	-514490.00	13	-15502.60	5	-514490.00	1	0.00	1
10	-78	506	Min.	529.60	-397974.00	1	-15502.60	9	-432388.00	13	-15502.60	5	-432388.00	1	0.00	1
10	506	-77	Max	0.00	-397974.00	1	14970.00	13	432388.00	9	14970.00	1	432388.00	5	0.00	1
10	506	-77	Max	529.60	-381243.00	1	14970.00	13	353106.00	9	14970.00	1	353106.00	5	0.00	1
10	506	-77	Min.	0.00	-397974.00	1	-14970.00	9	-432388.00	13	-14970.00	5	-432388.00	1	0.00	1
10	506	-77	Min.	529.60	-381243.00	1	-14970.00	9	-353106.00	13	-14970.00	5	-353106.00	1	0.00	1
10	-77	507	Max	0.00	-381243.00	1	14417.00	13	353107.00	9	14417.00	1	353107.00	5	0.00	1
10	-77	507	Max	529.60	-364512.00	1	14417.00	13	276754.00	9	14417.00	1	276754.00	5	0.00	1
10	-77	507	Min.	0.00	-381243.00	1	-14417.00	9	-353107.00	13	-14417.00	5	-353107.00	1	0.00	1
10	-77	507	Min.	529.60	-364512.00	1	-14417.00	9	-276754.00	13	-14417.00	5	-276754.00	1	0.00	1
10	507	-76	Max	0.00	-364512.00	1	13853.80	13	276754.00	9	13853.80	1	276754.00	5	0.00	1
10	507	-76	Max	533.25	-348384.00	1	13853.80	13	202879.00	9	13853.80	1	202879.00	5	0.00	1
10	507	-76	Min.	0.00	-364512.00	1	-13853.80	9	-276754.00	13	-13853.80	5	-276754.00	1	0.00	1
10	507	-76	Min.	533.25	-348384.00	1	-13853.80	9	-202879.00	13	-13853.80	5	-202879.00	1	0.00	1
10	-76	508	Max	0.00	-348386.00	1	13281.10	13	202886.00	9	13281.10	1	202886.00	5	0.00	1
10	-76	508	Max	533.25	-332258.00	1	13281.10	13	132065.00	9	13281.10	1	132065.00	5	0.00	1
10	-76	508	Min.	0.00	-348386.00	1	-13281.10	9	-202886.00	13	-13281.10	5	-202886.00	1	0.00	1
10	-76	508	Min.	533.25	-332258.00	1	-13281.10	9	-132065.00	13	-13281.10	5	-132065.00	1	0.00	1
10	508	-75	Max	0.00	-332256.00	1	12688.50	13	132058.00	9	12688.50	1	132058.00	5	0.00	1
10	508	-75	Max	533.25	-316128.00	1	12688.50	13	64396.40	9	12688.50	1	64396.40	5	0.00	1
10	508	-75	Min.	0.00	-332256.00	1	-12688.50	9	-132058.00	13	-12688.50	5	-132058.00	1	0.00	1
10	508	-75	Min.	533.25	-316128.00	1	-12688.50	9	-64396.40	13	-12688.50	5	-64396.40	1	0.00	1
10	-75	509	Max	0.00	-316127.00	1	12076.20	13	64390.10	9	12076.20	1	64390.10	5	0.00	1
10	-75	509	Max	533.25	-299999.00	1	12076.20	13	5.90	13	12076.20	1	5.90	1	0.00	1
10	-75	509	Min.	0.00	-316127.00	1	-12076.20	9	-64390.10	13	-12076.20	5	-64390.10	1	0.00	1
10	-75	509	Min.	533.25	-299999.00	1	-12076.20	9	-5.90	9	-12076.20	5	-5.90	5	0.00	1

Tipo di combinazione di carico: SLD

Asta	N1	N2		X <cm>	N <daN>	CC	Ty <daN>	CC	Mz <daNm>	CC	Tz <daN>	CC	My <daNm>	CC	Mx <daNm>	CC
10	110	-90	Max	0.00	-3847250.00	2	26961.20	14	2514650.00	10	26961.20	2	2514650.00	6	0.00	2
10	110	-90	Max	532.00	-3590480.00	2	26961.20	14	2371210.00	10	26961.20	2	2371210.00	6	0.00	2
10	110	-90	Min.	0.00	-3847250.00	2	-26961.20	10	-2514650.00	14	-26961.20	6	-2514650.00	2	0.00	2
10	110	-90	Min.	532.00	-3590480.00	2	-26961.20	10	-2371210.00	14	-26961.20	6	-2371210.00	2	0.00	2
10	-90	494	Max	0.00	-3590480.00	2	26695.00	14	2371210.00	10	26695.00	2	2371210.00	6	0.00	2
10	-90	494	Max	532.00	-3333720.00	2	26695.00	14	2229190.00	10	26695.00	2	2229190.00	6	0.00	2
10	-90	494	Min.	0.00	-3590480.00	2	-26695.00	10	-2229190.00	14	-26695.00	6	-2229190.00	2	0.00	2
10	-90	494	Min.	532.00	-3333720.00	2	-26695.00	10	-2229190.00	14	-26695.00	6	-2229190.00	2	0.00	2
10	-90	494	Max	0.00	-3333720.00	2	26282.90	14	2229190.00	10	26282.90	2	2229190.00	6	0.00	2
10	-90	494	Max	529.00	-3090440.00	2	26282.90	14	2090160.00	10	26282.90	2	2090160.00	6	0.00	2
10	-90	494	Min.	0.00	-3333720.00	2	-26282.90	10	-2229190.00	14	-26282.90	6	-2229190.00	2	0.00	2
10	-90	494	Min.	529.00	-3090440.00	2	-26282.90	10	-2090160.00	14	-26282.90	6	-2090160.00	2	0.00	2
10	-89	495	Max	0.00	-3090440.00	2	25734.00	14	2090160.00	10	25734.00	2	2090160.00	6	0.00	2
10	-89	495	Max	529.00	-2847160.00	2	25734.00	14	1954020.00	10	25734.00	2	1954020.00	6	0.00	2</

## Relazione di calcolo

10	-88	496	Min.	529.00	-2429290.00	2	-24361.00	10	-1692450.00	14	-24361.00	6	-1692450.00	2	0.00	2
10	496	-87	Max	0.00	-2429290.00	2	23530.30	14	1692450.00	10	23530.30	2	1692450.00	6	0.00	2
10	496	-87	Max	529.00	-2231060.00	2	23530.30	14	1567970.00	10	23530.30	2	1567970.00	6	0.00	2
10	496	-87	Min.	0.00	-2429290.00	2	-23530.30	10	-1692450.00	14	-23530.30	6	-1692450.00	2	0.00	2
10	496	-87	Min.	529.00	-2231060.00	2	-23530.30	10	-1567970.00	14	-23530.30	6	-1567970.00	2	0.00	2
10	-87	497	Max	0.00	-2231060.00	2	22600.90	14	1567970.00	10	22600.90	2	1567970.00	6	0.00	2
10	-87	497	Max	529.00	-2032830.00	2	22600.90	14	1448410.00	10	22600.90	2	1448410.00	6	0.00	2
10	-87	497	Min.	0.00	-2231060.00	2	-22600.90	10	-1567970.00	14	-22600.90	6	-1567970.00	2	0.00	2
10	-87	497	Min.	529.00	-2032830.00	2	-22600.90	10	-1448410.00	14	-22600.90	6	-1448410.00	2	0.00	2
10	497	-86	Max	0.00	-2032830.00	2	21633.60	14	1448410.00	10	21633.60	2	1448410.00	6	0.00	2
10	497	-86	Max	529.00	-1865770.00	2	21633.60	14	1333970.00	10	21633.60	2	1333970.00	6	0.00	2
10	497	-86	Min.	0.00	-2032830.00	2	-21633.60	10	-1448410.00	14	-21633.60	6	-1448410.00	2	0.00	2
10	497	-86	Min.	529.00	-1865770.00	2	-21633.60	10	-1333970.00	14	-21633.60	6	-1333970.00	2	0.00	2
10	-86	498	Max	0.00	-1865770.00	2	20647.20	14	1333970.00	10	20647.20	2	1333970.00	6	0.00	2
10	-86	498	Max	529.00	-1698720.00	2	20647.20	14	1224750.00	10	20647.20	2	1224750.00	6	0.00	2
10	-86	498	Min.	0.00	-1865770.00	2	-20647.20	10	-1333970.00	14	-20647.20	6	-1333970.00	2	0.00	2
10	-86	498	Min.	529.00	-1698720.00	2	-20647.20	10	-1224750.00	14	-20647.20	6	-1224750.00	2	0.00	2
10	498	-85	Max	0.00	-1698720.00	2	19586.90	14	1224750.00	10	19586.90	2	1224750.00	6	0.00	2
10	498	-85	Max	532.00	-1540140.00	2	19586.90	14	1120550.00	10	19586.90	2	1120550.00	6	0.00	2
10	498	-85	Min.	0.00	-1698720.00	2	-19586.90	10	-1224750.00	14	-19586.90	6	-1224750.00	2	0.00	2
10	498	-85	Min.	532.00	-1540140.00	2	-19586.90	10	-1120550.00	14	-19586.90	6	-1120550.00	2	0.00	2
10	-85	502	Max	0.00	-1540140.00	2	18457.20	14	1120550.00	10	18457.20	2	1120550.00	6	0.00	2
10	-85	502	Max	532.00	-1381550.00	2	18457.20	14	1022350.00	10	18457.20	2	1022350.00	6	0.00	2
10	-85	502	Min.	0.00	-1540140.00	2	-18457.20	10	-1022350.00	14	-18457.20	6	-1022350.00	2	0.00	2
10	-85	502	Min.	532.00	-1381550.00	2	-18457.20	10	-1022350.00	14	-18457.20	6	-1022350.00	2	0.00	2
10	502	-84	Max	0.00	-1381550.00	2	17342.60	14	1022350.00	10	17342.60	2	1022350.00	6	0.00	2
10	502	-84	Max	529.00	-1251970.00	2	17342.60	14	930612.00	10	17342.60	2	930612.00	6	0.00	2
10	502	-84	Min.	0.00	-1381550.00	2	-17342.60	10	-1022350.00	14	-17342.60	6	-1022350.00	2	0.00	2
10	502	-84	Min.	529.00	-1251970.00	2	-17342.60	10	-930612.00	14	-17342.60	6	-930612.00	2	0.00	2
10	-84	501	Max	0.00	-1251970.00	2	16261.50	14	930612.00	10	16261.50	2	930612.00	6	0.00	2
10	-84	501	Max	529.00	-1122390.00	2	16261.50	14	844588.00	10	16261.50	2	844588.00	6	0.00	2
10	-84	501	Min.	0.00	-1251970.00	2	-16261.50	10	-930612.00	14	-16261.50	6	-930612.00	2	0.00	2
10	-84	501	Min.	529.00	-1122390.00	2	-16261.50	10	-844588.00	14	-16261.50	6	-844588.00	2	0.00	2
10	501	-83	Max	0.00	-1122390.00	2	15137.50	14	844588.00	10	15137.50	2	844588.00	6	0.00	2
10	501	-83	Max	529.00	-1000840.00	2	15137.50	14	764510.00	10	15137.50	2	764510.00	6	0.00	2
10	501	-83	Min.	0.00	-1122390.00	2	-15137.50	10	-844588.00	14	-15137.50	6	-844588.00	2	0.00	2
10	501	-83	Min.	529.00	-1000840.00	2	-15137.50	10	-764510.00	14	-15137.50	6	-764510.00	2	0.00	2
10	-83	500	Max	0.00	-1000840.00	2	13975.60	14	764510.00	10	13975.60	2	764510.00	6	0.00	2
10	-83	500	Max	529.00	-879291.00	2	13975.60	14	690579.00	10	13975.60	2	690579.00	6	0.00	2
10	-83	500	Min.	0.00	-1000840.00	2	-13975.60	10	-764510.00	14	-13975.60	6	-764510.00	2	0.00	2
10	-83	500	Min.	529.00	-879291.00	2	-13975.60	10	-690579.00	14	-13975.60	6	-690579.00	2	0.00	2
10	500	-82	Max	0.00	-879291.00	2	12866.40	14	690579.00	10	12866.40	2	690579.00	6	0.00	2
10	500	-82	Max	529.00	-782652.00	2	12866.40	14	622516.00	10	12866.40	2	622516.00	6	0.00	2
10	500	-82	Min.	0.00	-879291.00	2	-12866.40	10	-690579.00	14	-12866.40	6	-690579.00	2	0.00	2
10	500	-82	Min.	529.00	-782652.00	2	-12866.40	10	-622516.00	14	-12866.40	6	-622516.00	2	0.00	2
10	-82	499	Max	0.00	-782652.00	2	11825.00	14	622516.00	10	11825.00	2	622516.00	6	0.00	2
10	-82	499	Max	529.00	-686012.00	2	11825.00	14	559962.00	10	11825.00	2	559962.00	6	0.00	2
10	-82	499	Min.	0.00	-782652.00	2	-11825.00	10	-622516.00	14	-11825.00	6	-622516.00	2	0.00	2
10	-82	499	Min.	529.00	-686012.00	2	-11825.00	10	-559962.00	14	-11825.00	6	-559962.00	2	0.00	2
10	499	-81	Max	0.00	-686012.00	2	10763.00	14	559962.00	10	10763.00	2	559962.00	6	0.00	2
10	499	-81	Max	529.00	-596061.00	2	10763.00	14	503026.00	10	10763.00	2	503026.00	6	0.00	2
10	499	-81	Min.	0.00	-686012.00	2	-10763.00	10	-559962.00	14	-10763.00	6	-559962.00	2	0.00	2
10	499	-81	Min.	529.00	-596061.00	2	-10763.00	10	-503026.00	14	-10763.00	6	-503026.00	2	0.00	2
10	-81	503	Max	0.00	-596061.00	2	9684.40	14	503026.00	10	9684.40	2	503026.00	6	0.00	2
10	-81	503	Max	529.00	-506111.00	2	9684.40	14	451795.00	10	9684.40	2	451795.00	6	0.00	2
10	-81	503	Min.	0.00	-596061.00	2	-9684.40	10	-503026.00	14	-9684.40	6	-503026.00	2	0.00	2
10	-81	503	Min.	529.00	-506111.00	2	-9684.40	10	-451795.00	14	-9684.40	6	-451795.00	2	0.00	2
10	503	-80	Max	0.00	-506110.00	2	9000.13	14	451795.00	10	9000.13	2	451795.00	6	0.00	2
10	503	-80	Max	444.25	-487442.00	2	9000.13	14	411812.00	10	9000.13	2	411812.00	6	0.00	2
10	503	-80	Min.	0.00	-506110.00	2	-9000.13	10	-451795.00	14	-9000.13	6	-451795.00	2	0.00	2
10	503	-80	Min.	444.25	-487442.00	2	-9000.13	10	-411812.00	14	-9000.13	6	-411812.00	2	0.00	2
10	-80	504	Max	0.00	-487440.00	2	8755.37	14	411812.00	10	8755.37	2	411808.00	6	0.00	2
10	-80	504	Max	444.25	-486771.00	2	8755.37	14	372912.00	10	8755.37	2	372912.00	6	0.00	2
10	-80	504	Min.	0.00	-487440.00	2	-8755.37	10	-411808.00	14	-8755.37	6	-411808.00	2	0.00	2
10	-80	504	Min.	444.25	-486771.00	2	-8755.37	10	-372912.00	14	-8755.37	6	-372912.00	2	0.00	2
10	504	-79	Max	0.00	-468773.00	2	8501.09	14	372916.00	10	8501.09	2	372916.00	6	0.00	2
10	504	-79	Max	444.25	-450104.00	2	8501.09	14	335150.00	10	8501.09	2	335150.00	6	0.00	2
10	-79	505	Max	0.00	-450102.00	2	8237.28	14	335146.00	10	8237.28	2	335146.00	6	0.00	2
10	-79	5														

## Relazione di calcolo

10	-78	506	Min.	0.00	-414705.00	2	-7722.96	10	-256304.00	14	-7722.96	6	-256304.00	2	0.00	2
10	-78	506	Min.	529.60	-397974.00	2	-7722.96	10	-215403.00	14	-7722.96	6	-215403.00	2	0.00	2
10	506	-77	Max	0.00	-397974.00	2	7457.62	14	215403.00	10	7457.62	2	215403.00	6	0.00	2
10	506	-77	Max	529.60	-381243.00	2	7457.62	14	175907.00	10	7457.62	2	175907.00	6	0.00	2
10	506	-77	Min.	0.00	-397974.00	2	-7457.62	10	-215403.00	14	-7457.62	6	-215403.00	2	0.00	2
10	506	-77	Min.	529.60	-381243.00	2	-7457.62	10	-175907.00	14	-7457.62	6	-175907.00	2	0.00	2
10	-77	507	Max	0.00	-381243.00	2	7182.11	14	175907.00	10	7182.11	2	175907.00	6	0.00	2
10	-77	507	Max	529.60	-364512.00	2	7182.11	14	137871.00	10	7182.11	2	137871.00	6	0.00	2
10	-77	507	Min.	0.00	-381243.00	2	-7182.11	10	-175907.00	14	-7182.11	6	-175907.00	2	0.00	2
10	-77	507	Min.	529.60	-364512.00	2	-7182.11	10	-137871.00	14	-7182.11	6	-137871.00	2	0.00	2
10	507	-76	Max	0.00	-364512.00	2	6901.54	14	137871.00	10	6901.54	2	137871.00	6	0.00	2
10	507	-76	Max	533.25	-348384.00	2	6901.54	14	101069.00	10	6901.54	2	101069.00	6	0.00	2
10	507	-76	Min.	0.00	-364512.00	2	-6901.54	10	-137871.00	14	-6901.54	6	-137871.00	2	0.00	2
10	507	-76	Min.	533.25	-348384.00	2	-6901.54	10	-101069.00	14	-6901.54	6	-101069.00	2	0.00	2
10	-76	508	Max	0.00	-348386.00	2	6616.24	14	101072.00	10	6616.24	2	101072.00	6	0.00	2
10	-76	508	Max	533.25	-332258.00	2	6616.24	14	65790.70	10	6616.24	2	65790.70	6	0.00	2
10	-76	508	Min.	0.00	-348386.00	2	-6616.24	10	-101072.00	14	-6616.24	6	-101072.00	2	0.00	2
10	-76	508	Min.	533.25	-332258.00	2	-6616.24	10	-65790.70	14	-6616.24	6	-65790.70	2	0.00	2
10	508	-75	Max	0.00	-332256.00	2	6321.06	14	65787.50	10	6321.06	2	65787.50	6	0.00	2
10	508	-75	Max	533.25	-316128.00	2	6321.06	14	32080.40	10	6321.06	2	32080.40	6	0.00	2
10	508	-75	Min.	0.00	-332256.00	2	-6321.06	10	-65787.50	14	-6321.06	6	-65787.50	2	0.00	2
10	508	-75	Min.	533.25	-316128.00	2	-6321.06	10	-32080.40	14	-6321.06	6	-32080.40	2	0.00	2
10	-75	509	Max	0.00	-316127.00	2	6015.99	14	32077.30	10	6015.99	2	32077.30	6	0.00	2
10	-75	509	Max	533.25	-299999.00	2	6015.99	14	2.94	14	6015.99	2	2.94	2	0.00	2
10	-75	509	Min.	0.00	-316127.00	2	-6015.99	10	-32077.30	14	-6015.99	6	-32077.30	2	0.00	2
10	-75	509	Min.	533.25	-299999.00	2	-6015.99	10	-2.94	10	-6015.99	6	-2.94	6	0.00	2

Tipo di combinazione di carico: SLU

Asta	N1	N2		X <cm>	N <daN>	CC	Ty <daN>	CC	Mz <daNm>	CC	Tz <daN>	CC	My <daNm>	CC	Mx <daNm>	CC
10	110	-90	Max	0.00	-5065470.00	17	242552.00	17	-27787600.00	17	36150.00	17	-6349520.00	17	230400.00	17
10	110	-90	Max	532.00	-4731680.00	17	242552.00	17	-26497200.00	17	36150.00	17	-6157210.00	17	230400.00	17
10	110	-90	Min.	0.00	-5065470.00	17	242552.00	17	-27787600.00	17	36150.00	17	-6349520.00	17	230400.00	17
10	110	-90	Min.	532.00	-4731680.00	17	242552.00	17	-26497200.00	17	36150.00	17	-6157210.00	17	230400.00	17
10	-90	494	Max	0.00	-4731680.00	17	238473.00	17	-26497200.00	17	36150.00	17	-6157210.00	17	230400.00	17
10	-90	494	Max	532.00	-4397880.00	17	238473.00	17	-25228600.00	17	36150.00	17	-5964890.00	17	230400.00	17
10	-90	494	Min.	0.00	-4731680.00	17	238473.00	17	-26497200.00	17	36150.00	17	-6157210.00	17	230400.00	17
10	-90	494	Min.	532.00	-4397880.00	17	238473.00	17	-25228600.00	17	36150.00	17	-5964890.00	17	230400.00	17
10	494	-89	Max	0.00	-4397880.00	17	238473.00	17	-25228600.00	17	36150.00	17	-5964890.00	17	230400.00	17
10	494	-89	Max	529.00	-4081620.00	17	238473.00	17	-23967000.00	17	36150.00	17	-5773650.00	17	230400.00	17
10	494	-89	Min.	0.00	-4397880.00	17	238473.00	17	-25228600.00	17	36150.00	17	-5964890.00	17	230400.00	17
10	494	-89	Min.	529.00	-4081620.00	17	238473.00	17	-23967000.00	17	36150.00	17	-5773650.00	17	230400.00	17
10	-89	495	Max	0.00	-4081620.00	17	228282.00	17	-23967000.00	17	36150.00	17	-5773660.00	17	230400.00	17
10	-89	495	Max	529.00	-3765360.00	17	228282.00	17	-22759400.00	17	36150.00	17	-5582420.00	17	230400.00	17
10	-89	495	Min.	0.00	-4081620.00	17	228282.00	17	-22759400.00	17	36150.00	17	-5582420.00	17	230400.00	17
10	-89	495	Min.	529.00	-3765360.00	17	228282.00	17	-22759400.00	17	36150.00	17	-5582420.00	17	230400.00	17
10	495	-88	Max	0.00	-3765360.00	17	228282.00	17	-22759400.00	17	36150.00	17	-5582420.00	17	230400.00	17
10	495	-88	Max	529.00	-3493740.00	17	228282.00	17	-21551800.00	17	36150.00	17	-5391190.00	17	230400.00	17
10	495	-88	Min.	0.00	-3765360.00	17	228282.00	17	-22759400.00	17	36150.00	17	-5582420.00	17	230400.00	17
10	495	-88	Min.	529.00	-3493740.00	17	228282.00	17	-21551800.00	17	36150.00	17	-5391190.00	17	230400.00	17
10	-88	496	Max	0.00	-3493740.00	17	217134.00	17	-21551800.00	17	36150.00	17	-5391190.00	17	230400.00	17
10	-88	496	Max	529.00	-3222130.00	17	217134.00	17	-20403200.00	17	36150.00	17	-5199960.00	17	230400.00	17
10	-88	496	Min.	0.00	-3493740.00	17	217134.00	17	-20403200.00	17	36150.00	17	-5199960.00	17	230400.00	17
10	496	-87	Max	0.00	-3222130.00	17	217134.00	17	-20403200.00	17	36150.00	17	-5199950.00	17	230400.00	17
10	496	-87	Max	529.00	-2964430.00	17	217134.00	17	-19254500.00	17	36150.00	17	-5008720.00	17	230400.00	17
10	496	-87	Min.	0.00	-3222130.00	17	217134.00	17	-20403200.00	17	36150.00	17	-5199950.00	17	230400.00	17
10	496	-87	Min.	529.00	-2964430.00	17	217134.00	17	-19254500.00	17	36150.00	17	-5008720.00	17	230400.00	17
10	-87	497	Max	0.00	-2964430.00	17	205604.00	17	-19254500.00	17	36150.00	17	-5008720.00	17	230400.00	17
10	-87	497	Max	529.00	-2706730.00	17	205604.00	17	-18166900.00	17	36150.00	17	-4817490.00	17	230400.00	17
10	-87	497	Max	529.00	-2272390.00	17	205604.00	17	-19254500.00	17	36150.00	17	-5008720.00	17	230400.00	17
10	-87	497	Min.	0.00	-2964430.00	17	205604.00	17	-18166900.00	17	36150.00	17	-4817490.00	17	230400.00	17
10	-87	497	Min.	529.00	-2706730.00	17	205604.00	17	-18166900.00	17	36150.00	17	-4817490.00	17	230400.00	17
10	498	-85	Max	0.00	-2272380.00	17	193980.00	17	-17079200.00	17	36150.00	17	-4435020.00	17	230400.00	17
10	498	-85	Max	532.00	-2066230.00	17	193980.00	17	-15021100.00	17	36150.00	17	-4242700.00	17	230400.00	17
10	498	-85	Min.	0.00	-2272380.00	17	193980.00	17	-17079200.00	17	36150.00	17	-4242700.00	17	230400.00	17
10	498	-85	Min.	532.00	-2066230.00	17	193980.00	17	-15021100.00	17	36150.00	17	-4242700.00	17	230400.00	17
10	-86	49														

## Relazione di calcolo

10	502	-84	Max	0.00	-1860070.00	17	182441.00	17	-14050500.00	17	36150.00	17	-4050380.00	17	230400.00	17
10	502	-84	Max	529.00	-1691620.00	17	182441.00	17	-13085400.00	17	36150.00	17	-3859150.00	17	230400.00	17
10	502	-84	Min.	0.00	-1860070.00	17	182441.00	17	-14050500.00	17	36150.00	17	-4050380.00	17	230400.00	17
10	502	-84	Min.	529.00	-1691620.00	17	182441.00	17	-13085400.00	17	36150.00	17	-3859150.00	17	230400.00	17
10	-84	501	Max	0.00	-1691610.00	17	171113.00	17	-13085400.00	17	36150.00	17	-3859150.00	17	230400.00	17
10	-84	501	Max	529.00	-1523160.00	17	171113.00	17	-12180200.00	17	36150.00	17	-3667920.00	17	230400.00	17
10	-84	501	Min.	0.00	-1691610.00	17	171113.00	17	-13085400.00	17	36150.00	17	-3859150.00	17	230400.00	17
10	-84	501	Min.	529.00	-1523160.00	17	171113.00	17	-12180200.00	17	36150.00	17	-3667920.00	17	230400.00	17
10	501	-83	Max	0.00	-1523160.00	17	171113.00	17	-12180200.00	17	36150.00	17	-3667920.00	17	230400.00	17
10	501	-83	Max	529.00	-1365150.00	17	171113.00	17	-11275100.00	17	36150.00	17	-3476680.00	17	230400.00	17
10	501	-83	Min.	0.00	-1523160.00	17	171113.00	17	-12180200.00	17	36150.00	17	-3667920.00	17	230400.00	17
10	501	-83	Min.	529.00	-1365150.00	17	171113.00	17	-11275100.00	17	36150.00	17	-3476680.00	17	230400.00	17
10	-83	500	Max	0.00	-1365150.00	17	160092.00	17	-11275100.00	17	36150.00	17	-3476690.00	17	230400.00	17
10	-83	500	Max	529.00	-1207130.00	17	160092.00	17	-10428200.00	17	36150.00	17	-3285450.00	17	230400.00	17
10	-83	500	Min.	0.00	-1365150.00	17	160092.00	17	-11275100.00	17	36150.00	17	-3476690.00	17	230400.00	17
10	-83	500	Min.	529.00	-1207130.00	17	160092.00	17	-10428200.00	17	36150.00	17	-3285450.00	17	230400.00	17
10	500	-82	Max	0.00	-1207130.00	17	160092.00	17	-10428200.00	17	36150.00	17	-3285450.00	17	230400.00	17
10	500	-82	Max	529.00	-1081500.00	17	160092.00	17	-9581280.00	17	36150.00	17	-3094220.00	17	230400.00	17
10	500	-82	Min.	0.00	-1207130.00	17	160092.00	17	-10428200.00	17	36150.00	17	-3285450.00	17	230400.00	17
10	500	-82	Min.	529.00	-1081500.00	17	160092.00	17	-9581280.00	17	36150.00	17	-3094220.00	17	230400.00	17
10	-82	499	Max	0.00	-1081500.00	17	149453.00	17	-9581280.00	17	36150.00	17	-3094220.00	17	230400.00	17
10	-82	499	Max	529.00	-955865.00	17	149453.00	17	-8790670.00	17	36150.00	17	-2902980.00	17	230400.00	17
10	-82	499	Min.	0.00	-1081500.00	17	149453.00	17	-9581280.00	17	36150.00	17	-3094220.00	17	230400.00	17
10	-82	499	Min.	529.00	-955865.00	17	149453.00	17	-8790670.00	17	36150.00	17	-2902980.00	17	230400.00	17
10	499	-81	Max	0.00	-955865.00	17	149453.00	17	-8790670.00	17	36150.00	17	-2902980.00	17	230400.00	17
10	499	-81	Max	529.00	-838930.00	17	149453.00	17	-8000070.00	17	36150.00	17	-2711750.00	17	230400.00	17
10	499	-81	Min.	0.00	-955865.00	17	149453.00	17	-8790670.00	17	36150.00	17	-2902980.00	17	230400.00	17
10	499	-81	Min.	529.00	-838930.00	17	149453.00	17	-8000070.00	17	36150.00	17	-2711750.00	17	230400.00	17
10	-81	503	Max	0.00	-838929.00	17	139251.00	17	-8000070.00	17	36150.00	17	-2711750.00	17	230400.00	17
10	-81	503	Max	529.00	-721994.00	17	139251.00	17	-7263430.00	17	36150.00	17	-2520520.00	17	230400.00	17
10	-81	503	Min.	0.00	-838929.00	17	139251.00	17	-8000070.00	17	36150.00	17	-2711750.00	17	230400.00	17
10	-81	503	Min.	529.00	-721994.00	17	139251.00	17	-7263430.00	17	36150.00	17	-2520520.00	17	230400.00	17
10	503	-80	Max	0.00	-721994.00	17	139160.00	17	-7263430.00	17	36150.00	17	-2520520.00	17	230400.00	17
10	503	-80	Max	444.25	-697724.00	17	139160.00	17	-6645220.00	17	36150.00	17	-2359920.00	17	230400.00	17
10	503	-80	Min.	0.00	-721994.00	17	139160.00	17	-7263430.00	17	36150.00	17	-2520520.00	17	230400.00	17
10	503	-80	Min.	444.25	-697724.00	17	139160.00	17	-6645220.00	17	36150.00	17	-2359920.00	17	230400.00	17
10	-80	504	Max	0.00	-697722.00	17	130980.00	17	-6645150.00	17	36150.00	17	-2359900.00	17	230400.00	17
10	-80	504	Max	444.25	-673452.00	17	130980.00	17	-6063270.00	17	36150.00	17	-2199310.00	17	230400.00	17
10	-80	504	Min.	0.00	-697722.00	17	130980.00	17	-6645150.00	17	36150.00	17	-2359900.00	17	230400.00	17
10	-80	504	Min.	444.25	-673452.00	17	130980.00	17	-6063270.00	17	36150.00	17	-2199310.00	17	230400.00	17
10	504	-79	Max	0.00	-673455.00	17	130980.00	17	-6063330.00	17	36150.00	17	-2199320.00	17	230400.00	17
10	504	-79	Max	444.25	-649185.00	17	130980.00	17	-5481460.00	17	36150.00	17	-2038730.00	17	230400.00	17
10	504	-79	Min.	0.00	-673455.00	17	130980.00	17	-6063330.00	17	36150.00	17	-2199320.00	17	230400.00	17
10	504	-79	Min.	444.25	-649185.00	17	130980.00	17	-5481460.00	17	36150.00	17	-2038730.00	17	230400.00	17
10	-79	505	Max	0.00	-649183.00	17	122667.00	17	-5481390.00	17	36150.00	17	-2038710.00	17	230400.00	17
10	-79	505	Max	444.25	-624913.00	17	122667.00	17	-4936440.00	17	36150.00	17	-1878110.00	17	230400.00	17
10	-79	505	Min.	0.00	-649183.00	17	122667.00	17	-5481390.00	17	36150.00	17	-2038710.00	17	230400.00	17
10	-79	505	Min.	444.25	-624913.00	17	122667.00	17	-4936440.00	17	36150.00	17	-1878110.00	17	230400.00	17
10	505	-78	Max	0.00	-624916.00	17	122573.00	17	-4936500.00	17	36150.00	17	-1878130.00	17	230400.00	17
10	505	-78	Max	529.60	-603166.00	17	122573.00	17	-4287360.00	17	36150.00	17	-1686680.00	17	230400.00	17
10	505	-78	Min.	0.00	-624916.00	17	122573.00	17	-4936500.00	17	36150.00	17	-1686680.00	17	230400.00	17
10	505	-78	Min.	529.60	-603166.00	17	122573.00	17	-4287360.00	17	36150.00	17	-1686680.00	17	230400.00	17
10	-78	506	Max	0.00	-603166.00	17	112499.00	17	-4287360.00	17	36150.00	17	-1495230.00	17	230400.00	17
10	-78	506	Max	529.60	-581416.00	17	112499.00	17	-3691570.00	17	36150.00	17	-1495230.00	17	230400.00	17
10	-78	506	Min.	0.00	-603166.00	17	112499.00	17	-4287360.00	17	36150.00	17	-1495230.00	17	230400.00	17
10	506	-77	Max	0.00	-581416.00	17	112499.00	17	-3691570.00	17	36150.00	17	-1495230.00	17	230400.00	17
10	506	-77	Max	529.60	-559666.00	17	112499.00	17	-3095770.00	17	36150.00	17	-1303780.00	17	230400.00	17
10	506	-77	Min.	0.00	-581416.00	17	112499.00	17	-3095770.00	17	36150.00	17	-1303780.00	17	230400.00	17
10	-77	507	Max	0.00	-559666.00	17	102263.00	17	-3095770.00	17	36150.00	17	-1303780.00	17	230400.00	17
10	-77	507	Max	529.60	-537916.00	17	102263.00	17	-2554190.00	17	36150.00	17	-1112330.00	17	230400.00	17
10	-77	507	Min.	0.00	-559666.00	17	102263.00	17	-3095770.00	17	36150.00	17	-1303780.00	17	230400.00	17
10	-77	507	Min.	529.60	-537916.00	17	102263.00	17	-2554190.00	17	36150.00	17	-1112330.00	17	230400.00	17
10	-77	507	Max	0.00	-537916.00	17	102263.00	17	-2554190.00	17	36150.00	17	-1112330.00	17	230400.00	17
10	507	-76	Max	0.00	-537916.00	17	102									

## Relazione di calcolo

10	-75	509	Min.	533.25	-454048.00	17	82882.50	17	-584659.00	17	36150.00	17	-341232.00	17	230400.00	17
----	-----	-----	------	--------	------------	----	----------	----	------------	----	----------	----	------------	----	-----------	----

Tipo di combinazione di carico: SLE R

Asta	N1	N2		X <cm>	N <daN>	CC	Ty <daN>	CC	Mz <daNm>	CC	Tz <daN>	CC	My <daNm>	CC	Mx <daNm>	CC
10	110	-90	Max	0.00	-3849950.00	18	161701.00	18	-18525100.00	18	24100.00	18	-4233020.00	18	153600.00	18
10	110	-90	Max	532.00	-3593180.00	18	161701.00	18	-17664800.00	18	24100.00	18	-4104800.00	18	153600.00	18
10	110	-90	Min.	0.00	-3849950.00	18	161701.00	18	-18525100.00	18	24100.00	18	-4233020.00	18	153600.00	18
10	110	-90	Min.	532.00	-3593180.00	18	161701.00	18	-17664800.00	18	24100.00	18	-4104800.00	18	153600.00	18
10	-90	494	Max	0.00	-3593180.00	18	158982.00	18	-17664800.00	18	24100.00	18	-4104800.00	18	153600.00	18
10	-90	494	Max	532.00	-3336420.00	18	158982.00	18	-16819000.00	18	24100.00	18	-3976590.00	18	153600.00	18
10	-90	494	Min.	0.00	-3593180.00	18	158982.00	18	-17664800.00	18	24100.00	18	-4104800.00	18	153600.00	18
10	-90	494	Min.	532.00	-3336420.00	18	158982.00	18	-16819000.00	18	24100.00	18	-3976590.00	18	153600.00	18
10	494	-89	Max	0.00	-3336420.00	18	158982.00	18	-16819000.00	18	24100.00	18	-3976590.00	18	153600.00	18
10	494	-89	Max	529.00	-3093140.00	18	158982.00	18	-15978000.00	18	24100.00	18	-3849100.00	18	153600.00	18
10	494	-89	Min.	0.00	-3336420.00	18	158982.00	18	-16819000.00	18	24100.00	18	-3976590.00	18	153600.00	18
10	494	-89	Min.	529.00	-3093140.00	18	158982.00	18	-15978000.00	18	24100.00	18	-3849100.00	18	153600.00	18
10	-89	495	Max	0.00	-3093140.00	18	152188.00	18	-15978000.00	18	24100.00	18	-3849100.00	18	153600.00	18
10	-89	495	Max	529.00	-2849860.00	18	152188.00	18	-15172900.00	18	24100.00	18	-3721620.00	18	153600.00	18
10	-89	495	Min.	0.00	-3093140.00	18	152188.00	18	-15978000.00	18	24100.00	18	-3849100.00	18	153600.00	18
10	-89	495	Min.	529.00	-2849860.00	18	152188.00	18	-15172900.00	18	24100.00	18	-3721620.00	18	153600.00	18
10	495	-88	Max	0.00	-2849860.00	18	152188.00	18	-15172900.00	18	24100.00	18	-3721610.00	18	153600.00	18
10	495	-88	Max	529.00	-2640930.00	18	152188.00	18	-14367900.00	18	24100.00	18	-3594130.00	18	153600.00	18
10	495	-88	Min.	0.00	-2849860.00	18	152188.00	18	-15172900.00	18	24100.00	18	-3721610.00	18	153600.00	18
10	495	-88	Min.	529.00	-2640930.00	18	152188.00	18	-14367900.00	18	24100.00	18	-3594130.00	18	153600.00	18
10	-88	496	Max	0.00	-2640930.00	18	144756.00	18	-14367900.00	18	24100.00	18	-3594130.00	18	153600.00	18
10	-88	496	Max	529.00	-2431990.00	18	144756.00	18	-13602100.00	18	24100.00	18	-3466640.00	18	153600.00	18
10	-88	496	Min.	0.00	-2640930.00	18	144756.00	18	-14367900.00	18	24100.00	18	-3594130.00	18	153600.00	18
10	-88	496	Min.	529.00	-2431990.00	18	144756.00	18	-13602100.00	18	24100.00	18	-3466640.00	18	153600.00	18
10	496	-87	Max	0.00	-2431990.00	18	144756.00	18	-13602100.00	18	24100.00	18	-3466640.00	18	153600.00	18
10	496	-87	Max	529.00	-2233760.00	18	144756.00	18	-12836400.00	18	24100.00	18	-3339150.00	18	153600.00	18
10	496	-87	Min.	0.00	-2431990.00	18	144756.00	18	-13602100.00	18	24100.00	18	-3466640.00	18	153600.00	18
10	496	-87	Min.	529.00	-2233760.00	18	144756.00	18	-12836400.00	18	24100.00	18	-3339150.00	18	153600.00	18
10	-87	497	Max	0.00	-2233760.00	18	137069.00	18	-12836400.00	18	24100.00	18	-3339150.00	18	153600.00	18
10	-87	497	Max	529.00	-2035530.00	18	137069.00	18	-12111300.00	18	24100.00	18	-3211660.00	18	153600.00	18
10	-87	497	Min.	0.00	-2233760.00	18	137069.00	18	-12836400.00	18	24100.00	18	-3339150.00	18	153600.00	18
10	-87	497	Min.	529.00	-2035530.00	18	137069.00	18	-12111300.00	18	24100.00	18	-3211660.00	18	153600.00	18
10	497	-86	Max	0.00	-2035530.00	18	137069.00	18	-12111300.00	18	24100.00	18	-3211660.00	18	153600.00	18
10	497	-86	Max	529.00	-1868470.00	18	137069.00	18	-11386200.00	18	24100.00	18	-3084170.00	18	153600.00	18
10	497	-86	Min.	0.00	-2035530.00	18	137069.00	18	-12111300.00	18	24100.00	18	-3211660.00	18	153600.00	18
10	497	-86	Min.	529.00	-1868470.00	18	137069.00	18	-11386200.00	18	24100.00	18	-3084170.00	18	153600.00	18
10	-86	498	Max	0.00	-1868470.00	18	129320.00	18	-11386200.00	18	24100.00	18	-3084170.00	18	153600.00	18
10	-86	498	Max	529.00	-1701420.00	18	129320.00	18	-10702100.00	18	24100.00	18	-2956680.00	18	153600.00	18
10	-86	498	Min.	0.00	-1868470.00	18	129320.00	18	-11386200.00	18	24100.00	18	-3084170.00	18	153600.00	18
10	-86	498	Min.	529.00	-1701420.00	18	129320.00	18	-10702100.00	18	24100.00	18	-2956680.00	18	153600.00	18
10	498	-85	Max	0.00	-1701420.00	18	129320.00	18	-10702100.00	18	24100.00	18	-2956680.00	18	153600.00	18
10	498	-85	Max	532.00	-1542840.00	18	129320.00	18	-10014100.00	18	24100.00	18	-2828470.00	18	153600.00	18
10	498	-85	Min.	0.00	-1701420.00	18	129320.00	18	-10702100.00	18	24100.00	18	-2956680.00	18	153600.00	18
10	498	-85	Min.	532.00	-1542840.00	18	129320.00	18	-10014100.00	18	24100.00	18	-2828470.00	18	153600.00	18
10	-85	502	Max	0.00	-1542840.00	18	121627.00	18	-9367020.00	18	24100.00	18	-2828470.00	18	153600.00	18
10	-85	502	Max	532.00	-1384250.00	18	121627.00	18	-9367020.00	18	24100.00	18	-2700260.00	18	153600.00	18
10	-85	502	Min.	0.00	-1542840.00	18	121627.00	18	-10014100.00	18	24100.00	18	-2828470.00	18	153600.00	18
10	-85	502	Min.	532.00	-1384250.00	18	121627.00	18	-9367020.00	18	24100.00	18	-2700260.00	18	153600.00	18
10	502	-84	Max	0.00	-1384250.00	18	121627.00	18	-9367020.00	18	24100.00	18	-2700260.00	18	153600.00	18
10	502	-84	Max	529.00	-1254670.00	18	121627.00	18	-8723610.00	18	24100.00	18	-2572770.00	18	153600.00	18
10	502	-84	Min.	0.00	-1384250.00	18	121627.00	18	-9367020.00	18	24100.00	18	-2700260.00	18	153600.00	18
10	502	-84	Min.	529.00	-1254670.00	18	121627.00	18	-8723610.00	18	24100.00	18	-2572770.00	18	153600.00	18
10	-84	501	Max	0.00	-1254670.00	18	114075.00	18	-8723610.00	18	24100.00	18	-2572770.00	18	153600.00	18
10	-84	501	Max	529.00	-1125090.00	18	114075.00	18	-8120160.00	18	24100.00	18	-2445280.00	18	153600.00	18
10	-84	501	Min.	0.00	-1254670.00	18	114075.00	18	-8723610.00	18	24100.00	18	-2572770.00	18	153600.00	18
10	-84	501	Min.	529.00	-1125090.00	18	114075.00	18	-8120160.00	18	24100.00	18	-2445280.00	18	153600.00	18
10	501	-83	Max	0.00	-1125090.00	18	114075.00	18	-8120160.00	18	24100.00	18	-2445280.00	18	153600.00	18
10	501	-83	Max	529.00	-1003540.00	18	114075.00	18	-7516700.00	18	24100.00	18	-2317790.00	18	153600.00	18
10	501	-83	Min.	0.00	-1125090.00	18	114075.00	18	-8120160.00	18	24100.00	18	-2445280.00	18	153600.00	18
10	501	-83	Min.	529.00	-1003540.00											

## Relazione di calcolo

10	499	-81	Max	529.00	-598761.00	18	99635.00	18	-5333380.00	18	24100.00	18	-1807830.00	18	153600.00	18
10	499	-81	Min.	0.00	-688712.00	18	99635.00	18	-5860450.00	18	24100.00	18	-1935320.00	18	153600.00	18
10	499	-81	Min.	529.00	-598761.00	18	99635.00	18	-5333380.00	18	24100.00	18	-1807830.00	18	153600.00	18
10	-81	503	Max	0.00	-598761.00	18	92834.00	18	-5333380.00	18	24100.00	18	-1807830.00	18	153600.00	18
10	-81	503	Max	529.00	-508811.00	18	92834.00	18	-4842290.00	18	24100.00	18	-1680340.00	18	153600.00	18
10	-81	503	Min.	0.00	-598761.00	18	92834.00	18	-5333380.00	18	24100.00	18	-1807830.00	18	153600.00	18
10	-81	503	Min.	529.00	-508811.00	18	92834.00	18	-4842290.00	18	24100.00	18	-1680340.00	18	153600.00	18
10	503	-80	Max	0.00	-508810.00	18	92773.00	18	-4842290.00	18	24100.00	18	-1680340.00	18	153600.00	18
10	503	-80	Max	444.25	-490142.00	18	92773.00	18	-4430140.00	18	24100.00	18	-1573280.00	18	153600.00	18
10	503	-80	Min.	0.00	-508810.00	18	92773.00	18	-4842290.00	18	24100.00	18	-1680340.00	18	153600.00	18
10	503	-80	Min.	444.25	-490142.00	18	92773.00	18	-4430140.00	18	24100.00	18	-1573280.00	18	153600.00	18
10	-80	504	Max	0.00	-490140.00	18	87320.00	18	-4430100.00	18	24100.00	18	-1573270.00	18	153600.00	18
10	-80	504	Max	444.25	-471471.00	18	87320.00	18	-4042180.00	18	24100.00	18	-1466200.00	18	153600.00	18
10	-80	504	Min.	0.00	-490140.00	18	87320.00	18	-4430100.00	18	24100.00	18	-1573270.00	18	153600.00	18
10	-80	504	Min.	444.25	-471471.00	18	87320.00	18	-4042180.00	18	24100.00	18	-1466200.00	18	153600.00	18
10	504	-79	Max	0.00	-471473.00	18	87320.00	18	-4042220.00	18	24100.00	18	-1466220.00	18	153600.00	18
10	504	-79	Max	444.25	-452804.00	18	87320.00	18	-3654300.00	18	24100.00	18	-1359150.00	18	153600.00	18
10	504	-79	Min.	0.00	-471473.00	18	87320.00	18	-4042220.00	18	24100.00	18	-1466220.00	18	153600.00	18
10	504	-79	Min.	444.25	-452804.00	18	87320.00	18	-3654300.00	18	24100.00	18	-1359150.00	18	153600.00	18
10	-79	505	Max	0.00	-452802.00	18	81778.00	18	-3654260.00	18	24100.00	18	-1359140.00	18	153600.00	18
10	-79	505	Max	444.25	-434133.00	18	81778.00	18	-3290960.00	18	24100.00	18	-1252080.00	18	153600.00	18
10	-79	505	Min.	0.00	-452802.00	18	81778.00	18	-3654260.00	18	24100.00	18	-1359140.00	18	153600.00	18
10	-79	505	Min.	444.25	-434133.00	18	81778.00	18	-3290960.00	18	24100.00	18	-1252080.00	18	153600.00	18
10	505	-78	Max	0.00	-434135.00	18	81715.00	18	-2858240.00	18	24100.00	18	-1124450.00	18	153600.00	18
10	505	-78	Min.	0.00	-434135.00	18	81715.00	18	-3291000.00	18	24100.00	18	-1252090.00	18	153600.00	18
10	505	-78	Min.	529.60	-417405.00	18	81715.00	18	-2858240.00	18	24100.00	18	-1124450.00	18	153600.00	18
10	505	-78	Max	529.60	-417405.00	18	81715.00	18	-2858240.00	18	24100.00	18	-1124450.00	18	153600.00	18
10	-78	506	Max	0.00	-417405.00	18	74999.00	18	-2858240.00	18	24100.00	18	-1124450.00	18	153600.00	18
10	-78	506	Max	529.60	-400674.00	18	74999.00	18	-2461040.00	18	24100.00	18	-996820.00	18	153600.00	18
10	-78	506	Min.	0.00	-417405.00	18	74999.00	18	-2858240.00	18	24100.00	18	-1124450.00	18	153600.00	18
10	-78	506	Min.	529.60	-400674.00	18	74999.00	18	-2461040.00	18	24100.00	18	-996820.00	18	153600.00	18
10	506	-77	Max	0.00	-400674.00	18	74999.00	18	-2461040.00	18	24100.00	18	-996820.00	18	153600.00	18
10	506	-77	Max	529.60	-383943.00	18	74999.00	18	-2063850.00	18	24100.00	18	-869186.00	18	153600.00	18
10	506	-77	Min.	0.00	-400674.00	18	74999.00	18	-2461040.00	18	24100.00	18	-996820.00	18	153600.00	18
10	506	-77	Min.	529.60	-383943.00	18	74999.00	18	-2063850.00	18	24100.00	18	-869186.00	18	153600.00	18
10	-77	507	Max	0.00	-383943.00	18	68175.00	18	-2063850.00	18	24100.00	18	-869187.00	18	153600.00	18
10	-77	507	Max	529.60	-367212.00	18	68175.00	18	-1702800.00	18	24100.00	18	-741553.00	18	153600.00	18
10	-77	507	Min.	0.00	-383943.00	18	68175.00	18	-2063850.00	18	24100.00	18	-869187.00	18	153600.00	18
10	-77	507	Min.	529.60	-367212.00	18	68175.00	18	-1702800.00	18	24100.00	18	-741553.00	18	153600.00	18
10	507	-76	Max	0.00	-367212.00	18	68110.00	18	-1702790.00	18	24100.00	18	-741553.00	18	153600.00	18
10	507	-76	Max	533.25	-351084.00	18	68110.00	18	-1339600.00	18	24100.00	18	-613040.00	18	153600.00	18
10	507	-76	Min.	0.00	-367212.00	18	68110.00	18	-1702790.00	18	24100.00	18	-741553.00	18	153600.00	18
10	507	-76	Min.	533.25	-351084.00	18	68110.00	18	-1339600.00	18	24100.00	18	-613040.00	18	153600.00	18
10	-76	508	Max	0.00	-351086.00	18	61430.00	18	-1339630.00	18	24100.00	18	-613052.00	18	153600.00	18
10	-76	508	Min.	0.00	-351086.00	18	61430.00	18	-1339630.00	18	24100.00	18	-484538.00	18	153600.00	18
10	-76	508	Min.	533.25	-351084.00	18	61430.00	18	-1012060.00	18	24100.00	18	-484538.00	18	153600.00	18
10	508	-75	Max	0.00	-334956.00	18	61430.00	18	-1012030.00	18	24100.00	18	-484527.00	18	153600.00	18
10	508	-75	Max	533.25	-318828.00	18	61430.00	18	-684450.00	18	24100.00	18	-356013.00	18	153600.00	18
10	508	-75	Min.	0.00	-334956.00	18	61430.00	18	-1012030.00	18	24100.00	18	-484527.00	18	153600.00	18
10	508	-75	Min.	533.25	-318828.00	18	61430.00	18	-684450.00	18	24100.00	18	-356013.00	18	153600.00	18
10	-75	509	Max	0.00	-318827.00	18	55255.00	18	-684420.00	18	24100.00	18	-356001.00	18	153600.00	18
10	-75	509	Max	533.25	-302699.00	18	55255.00	18	-389773.00	18	24100.00	18	-227488.00	18	153600.00	18
10	-75	509	Min.	0.00	-318827.00	18	55255.00	18	-684420.00	18	24100.00	18	-356001.00	18	153600.00	18
10	-75	509	Min.	533.25	-302699.00	18	55255.00	18	-389773.00	18	24100.00	18	-227488.00	18	153600.00	18

Tipo di combinazione di carico: SLE F

Asta	N1	N2	X <cm>	N <daN>	CC	Ty <daN>	CC	Mz <daNm>	CC	Tz <daN>	CC	My <daNm>	CC	Mx <daNm>	CC	
10	110	-90	Max	0.00	-3847790.00	19	32340.20	19	-3705010.00	19	4820.00	19	-846603.00	19	30720.00	19
10	110	-90	Max	532.00	-3591020.00	19	32340.20	19	-3532960.00	19	4820.00	19	-820961.00	19	30720.00	19
10	110	-90	Min.	0.00	-3847790.00	19	32340.20	19	-3705010.00	19	4820.00	19	-846603.00	19	30720.00	19
10	110	-90	Min.	532.00	-3591020.00	19	32340.20	19	-3532960.00	19	4820.00	19	-820961.00	19	30720.00	19
10	-90	494	Max	0.00	-3591020.00	19	31796.40	19	-3532960.00	19	4820.00	19	-820961.00	19	30720.00	19
10	-90	494	Max	532.00	-3334260.00	19	31796.40	19	-3363810.00	19	4820.00	19	-795318.00	19	30720.00	19
10	-90	494	Min.	0.00	-3591020.00	19	31796.40	19	-3532960.00	19	4820.00	19	-8			

## Relazione di calcolo

10	495	-88	Min.	529.00	-2638770.00	19	30437.60	19	-2873570.00	19	4820.00	19	-718825.00	19	30720.00	19
10	-88	496	Max	0.00	-2638770.00	19	28951.20	19	-2873570.00	19	4820.00	19	-718825.00	19	30720.00	19
10	-88	496	Max	529.00	-2429830.00	19	28951.20	19	-2720420.00	19	4820.00	19	-693327.00	19	30720.00	19
10	-88	496	Min.	0.00	-2638770.00	19	28951.20	19	-2873570.00	19	4820.00	19	-718825.00	19	30720.00	19
10	-88	496	Min.	529.00	-2429830.00	19	28951.20	19	-2720420.00	19	4820.00	19	-693327.00	19	30720.00	19
10	496	-87	Max	0.00	-2429830.00	19	28951.20	19	-2720420.00	19	4820.00	19	-693327.00	19	30720.00	19
10	496	-87	Max	529.00	-2231600.00	19	28951.20	19	-2567270.00	19	4820.00	19	-667829.00	19	30720.00	19
10	496	-87	Min.	0.00	-2429830.00	19	28951.20	19	-2720420.00	19	4820.00	19	-693327.00	19	30720.00	19
10	496	-87	Min.	529.00	-2231600.00	19	28951.20	19	-2567270.00	19	4820.00	19	-667829.00	19	30720.00	19
10	-87	497	Max	0.00	-2231600.00	19	27413.80	19	-2567270.00	19	4820.00	19	-667830.00	19	30720.00	19
10	-87	497	Max	529.00	-2033370.00	19	27413.80	19	-2422250.00	19	4820.00	19	-642332.00	19	30720.00	19
10	-87	497	Min.	0.00	-2231600.00	19	27413.80	19	-2567270.00	19	4820.00	19	-667830.00	19	30720.00	19
10	-87	497	Min.	529.00	-2033370.00	19	27413.80	19	-2422250.00	19	4820.00	19	-642332.00	19	30720.00	19
10	497	-86	Max	0.00	-2033370.00	19	27413.80	19	-2422250.00	19	4820.00	19	-642332.00	19	30720.00	19
10	497	-86	Max	529.00	-1866310.00	19	27413.80	19	-2277230.00	19	4820.00	19	-616834.00	19	30720.00	19
10	497	-86	Min.	0.00	-2033370.00	19	27413.80	19	-2422250.00	19	4820.00	19	-642332.00	19	30720.00	19
10	497	-86	Min.	529.00	-1866310.00	19	27413.80	19	-2277230.00	19	4820.00	19	-616834.00	19	30720.00	19
10	-86	498	Max	0.00	-1866310.00	19	25864.00	19	-2277230.00	19	4820.00	19	-616834.00	19	30720.00	19
10	-86	498	Max	529.00	-1699260.00	19	25864.00	19	-2140410.00	19	4820.00	19	-591336.00	19	30720.00	19
10	-86	498	Min.	0.00	-1866310.00	19	25864.00	19	-2277230.00	19	4820.00	19	-616834.00	19	30720.00	19
10	-86	498	Min.	529.00	-1699260.00	19	25864.00	19	-2140410.00	19	4820.00	19	-591336.00	19	30720.00	19
10	498	-85	Max	0.00	-1699260.00	19	25864.00	19	-2140410.00	19	4820.00	19	-591336.00	19	30720.00	19
10	498	-85	Max	532.00	-1540680.00	19	25864.00	19	-2002820.00	19	4820.00	19	-565694.00	19	30720.00	19
10	498	-85	Min.	0.00	-1699260.00	19	25864.00	19	-2140410.00	19	4820.00	19	-591336.00	19	30720.00	19
10	498	-85	Min.	532.00	-1540680.00	19	25864.00	19	-2002820.00	19	4820.00	19	-565694.00	19	30720.00	19
10	-85	502	Max	0.00	-1540680.00	19	24325.40	19	-2002820.00	19	4820.00	19	-565694.00	19	30720.00	19
10	-85	502	Max	532.00	-1382090.00	19	24325.40	19	-1873400.00	19	4820.00	19	-540051.00	19	30720.00	19
10	-85	502	Min.	0.00	-1540680.00	19	24325.40	19	-2002820.00	19	4820.00	19	-565694.00	19	30720.00	19
10	-85	502	Min.	532.00	-1382090.00	19	24325.40	19	-1873400.00	19	4820.00	19	-540051.00	19	30720.00	19
10	502	-84	Max	0.00	-1382090.00	19	24325.40	19	-1873400.00	19	4820.00	19	-540051.00	19	30720.00	19
10	502	-84	Max	529.00	-1252510.00	19	24325.40	19	-1744720.00	19	4820.00	19	-514553.00	19	30720.00	19
10	502	-84	Min.	0.00	-1382090.00	19	24325.40	19	-1873400.00	19	4820.00	19	-540051.00	19	30720.00	19
10	502	-84	Min.	529.00	-1252510.00	19	24325.40	19	-1744720.00	19	4820.00	19	-514553.00	19	30720.00	19
10	-84	501	Max	0.00	-1252510.00	19	22815.00	19	-1744720.00	19	4820.00	19	-514554.00	19	30720.00	19
10	-84	501	Max	529.00	-1122930.00	19	22815.00	19	-1624030.00	19	4820.00	19	-489056.00	19	30720.00	19
10	-84	501	Min.	0.00	-1252510.00	19	22815.00	19	-1744720.00	19	4820.00	19	-514554.00	19	30720.00	19
10	-84	501	Min.	529.00	-1122930.00	19	22815.00	19	-1624030.00	19	4820.00	19	-489056.00	19	30720.00	19
10	501	-83	Max	0.00	-1122930.00	19	22815.00	19	-1624030.00	19	4820.00	19	-489056.00	19	30720.00	19
10	501	-83	Max	529.00	-1001380.00	19	22815.00	19	-1503340.00	19	4820.00	19	-463558.00	19	30720.00	19
10	501	-83	Min.	0.00	-1122930.00	19	22815.00	19	-1624030.00	19	4820.00	19	-489056.00	19	30720.00	19
10	501	-83	Min.	529.00	-1001380.00	19	22815.00	19	-1503340.00	19	4820.00	19	-463558.00	19	30720.00	19
10	-83	500	Max	0.00	-1001380.00	19	21345.60	19	-1503340.00	19	4820.00	19	-463558.00	19	30720.00	19
10	-83	500	Max	529.00	-879831.00	19	21345.60	19	-1390420.00	19	4820.00	19	-438060.00	19	30720.00	19
10	-83	500	Min.	0.00	-1001380.00	19	21345.60	19	-1503340.00	19	4820.00	19	-463558.00	19	30720.00	19
10	-83	500	Min.	529.00	-879831.00	19	21345.60	19	-1390420.00	19	4820.00	19	-438060.00	19	30720.00	19
10	500	-82	Max	0.00	-879831.00	19	21345.60	19	-1390420.00	19	4820.00	19	-438060.00	19	30720.00	19
10	500	-82	Max	529.00	-783192.00	19	21345.60	19	-1277500.00	19	4820.00	19	-412562.00	19	30720.00	19
10	500	-82	Min.	0.00	-879831.00	19	21345.60	19	-1390420.00	19	4820.00	19	-438060.00	19	30720.00	19
10	500	-82	Min.	529.00	-783192.00	19	21345.60	19	-1277500.00	19	4820.00	19	-412562.00	19	30720.00	19
10	-82	499	Max	0.00	-783192.00	19	19927.00	19	-1277500.00	19	4820.00	19	-412562.00	19	30720.00	19
10	-82	499	Max	529.00	-686552.00	19	19927.00	19	-1172090.00	19	4820.00	19	-387064.00	19	30720.00	19
10	-82	499	Min.	0.00	-783192.00	19	19927.00	19	-1277500.00	19	4820.00	19	-412562.00	19	30720.00	19
10	-82	499	Min.	529.00	-686552.00	19	19927.00	19	-1172090.00	19	4820.00	19	-387064.00	19	30720.00	19
10	499	-81	Max	0.00	-686552.00	19	19927.00	19	-1172090.00	19	4820.00	19	-387064.00	19	30720.00	19
10	499	-81	Max	529.00	-596601.00	19	19927.00	19	-1066680.00	19	4820.00	19	-361567.00	19	30720.00	19
10	499	-81	Min.	0.00	-686552.00	19	19927.00	19	-1172090.00	19	4820.00	19	-387064.00	19	30720.00	19
10	499	-81	Min.	529.00	-596601.00	19	19927.00	19	-1066680.00	19	4820.00	19	-361567.00	19	30720.00	19
10	-81	503	Max	0.00	-596601.00	19	18566.80	19	-1066680.00	19	4820.00	19	-361567.00	19	30720.00	19
10	-81	503	Max	529.00	-506651.00	19	18566.80	19	-968458.00	19	4820.00	19	-336069.00	19	30720.00	19
10	-81	503	Min.	0.00	-596601.00	19	18566.80	19	-1066680.00	19	4820.00	19	-361567.00	19	30720.00	19
10	-81	503	Min.	529.00	-506651.00	19	18566.80	19	-968458.00	19	4820.00	19	-336069.00	19	30720.00	19
10	503	-80	Max	0.00	-506650.00	19	18554.60	19	-968458.00	19	4820.00	19	-336069.00	19	30720.00	19
10	503	-80	Max	444.25	-487982.00	19	18554.60	19	-886029.00	19	4820.00	19	-314656.00	19	30720.00	19
10	503	-80	Min.	0.00	-506650.00	19	18554.60	19	-968458.00	19	4820.00	19	-336069.00	19	30720.00	19
10	503	-80	Min.	444.25	-487982.00	19	18554.60	19	-886029.00	19	4820.00	19	-314656.00	19	30720.00</	

## Relazione di calcolo

10	505	-78	Min.	0.00	-431975.00	19	16343.00	19	-658200.00	19	4820.00	19	-250417.00	19	30720.00	19
10	505	-78	Max.	529.60	-415245.00	19	16343.00	19	-571648.00	19	4820.00	19	-224891.00	19	30720.00	19
10	-78	506	Max.	0.00	-415245.00	19	14999.80	19	-571648.00	19	4820.00	19	-224891.00	19	30720.00	19
10	-78	506	Max.	529.60	-398514.00	19	14999.80	19	-492209.00	19	4820.00	19	-199364.00	19	30720.00	19
10	-78	506	Min.	0.00	-415245.00	19	14999.80	19	-571648.00	19	4820.00	19	-224891.00	19	30720.00	19
10	-78	506	Min.	529.60	-398514.00	19	14999.80	19	-492209.00	19	4820.00	19	-199364.00	19	30720.00	19
10	506	-77	Max.	0.00	-398514.00	19	14999.80	19	-492209.00	19	4820.00	19	-199364.00	19	30720.00	19
10	506	-77	Max.	529.60	-381783.00	19	14999.80	19	-412770.00	19	4820.00	19	-173837.00	19	30720.00	19
10	506	-77	Min.	0.00	-398514.00	19	14999.80	19	-492209.00	19	4820.00	19	-199364.00	19	30720.00	19
10	506	-77	Min.	529.60	-381783.00	19	14999.80	19	-412770.00	19	4820.00	19	-173837.00	19	30720.00	19
10	-77	507	Max.	0.00	-381783.00	19	13635.00	19	-412770.00	19	4820.00	19	-173837.00	19	30720.00	19
10	-77	507	Max.	529.60	-365052.00	19	13635.00	19	-340559.00	19	4820.00	19	-148311.00	19	30720.00	19
10	-77	507	Min.	0.00	-381783.00	19	13635.00	19	-412770.00	19	4820.00	19	-173837.00	19	30720.00	19
10	-77	507	Min.	529.60	-365052.00	19	13635.00	19	-340559.00	19	4820.00	19	-148311.00	19	30720.00	19
10	507	-76	Max.	0.00	-365052.00	19	13622.00	19	-267920.00	19	4820.00	19	-122608.00	19	30720.00	19
10	507	-76	Min.	0.00	-365052.00	19	13622.00	19	-340559.00	19	4820.00	19	-148311.00	19	30720.00	19
10	507	-76	Min.	533.25	-348924.00	19	13622.00	19	-267920.00	19	4820.00	19	-122608.00	19	30720.00	19
10	507	-76	Max.	533.25	-348924.00	19	13622.00	19	-267920.00	19	4820.00	19	-122608.00	19	30720.00	19
10	-76	508	Max.	0.00	-348926.00	19	12286.00	19	-267927.00	19	4820.00	19	-122610.00	19	30720.00	19
10	-76	508	Max.	533.25	-332798.00	19	12286.00	19	-202411.00	19	4820.00	19	-96907.70	19	30720.00	19
10	-76	508	Min.	0.00	-348926.00	19	12286.00	19	-267927.00	19	4820.00	19	-122610.00	19	30720.00	19
10	-76	508	Min.	533.25	-332798.00	19	12286.00	19	-202411.00	19	4820.00	19	-96907.70	19	30720.00	19
10	508	-75	Max.	0.00	-32796.00	19	12286.00	19	-202405.00	19	4820.00	19	-96905.30	19	30720.00	19
10	508	-75	Max.	533.25	-316668.00	19	12286.00	19	-136890.00	19	4820.00	19	-71202.60	19	30720.00	19
10	508	-75	Min.	0.00	-332796.00	19	12286.00	19	-202405.00	19	4820.00	19	-96905.30	19	30720.00	19
10	508	-75	Min.	533.25	-316668.00	19	12286.00	19	-136890.00	19	4820.00	19	-71202.60	19	30720.00	19
10	-75	509	Max.	0.00	-316667.00	19	11051.00	19	-136884.00	19	4820.00	19	-71200.20	19	30720.00	19
10	-75	509	Max.	533.25	-300539.00	19	11051.00	19	-77954.60	19	4820.00	19	-45497.60	19	30720.00	19
10	-75	509	Min.	0.00	-316667.00	19	11051.00	19	-136884.00	19	4820.00	19	-71200.20	19	30720.00	19
10	-75	509	Min.	533.25	-300539.00	19	11051.00	19	-77954.60	19	4820.00	19	-45497.60	19	30720.00	19

Tipo di combinazione di carico: SLE Q

Asta	N1	N2		X <cm>	N <daN>	CC <daN>	Ty <daN>	CC <daN>	Mz <daNm>	CC <daN>	Tz <daN>	CC <daN>	My <daNm>	CC <daN>	Mx <daNm>	CC <daN>
10	110	-90	Max.	0.00	-3847250.00	20	0.00	20	0.00	20	0.00	20	0.00	20	0.00	20
10	110	-90	Max.	532.00	-3590480.00	20	0.00	20	0.00	20	0.00	20	0.00	20	0.00	20
10	110	-90	Min.	0.00	-3847250.00	20	0.00	20	0.00	20	0.00	20	0.00	20	0.00	20
10	110	-90	Min.	532.00	-3590480.00	20	0.00	20	0.00	20	0.00	20	0.00	20	0.00	20
10	-90	494	Max.	0.00	-3590480.00	20	0.00	20	0.00	20	0.00	20	0.00	20	0.00	20
10	-90	494	Max.	532.00	-3333720.00	20	0.00	20	0.00	20	0.00	20	0.00	20	0.00	20
10	-90	494	Min.	0.00	-3590480.00	20	0.00	20	0.00	20	0.00	20	0.00	20	0.00	20
10	-90	494	Min.	532.00	-3333720.00	20	0.00	20	0.00	20	0.00	20	0.00	20	0.00	20
10	494	-89	Max.	0.00	-3333720.00	20	0.00	20	0.00	20	0.00	20	0.00	20	0.00	20
10	494	-89	Max.	529.00	-3090440.00	20	0.00	20	0.00	20	0.00	20	0.00	20	0.00	20
10	494	-89	Min.	0.00	-3333720.00	20	0.00	20	0.00	20	0.00	20	0.00	20	0.00	20
10	494	-89	Min.	529.00	-3090440.00	20	0.00	20	0.00	20	0.00	20	0.00	20	0.00	20
10	-89	495	Max.	0.00	-3090440.00	20	0.00	20	0.00	20	0.00	20	0.00	20	0.00	20
10	-89	495	Max.	529.00	-2847160.00	20	0.00	20	0.00	20	0.00	20	0.00	20	0.00	20
10	-89	495	Max.	529.00	-2847160.00	20	0.00	20	0.00	20	0.00	20	0.00	20	0.00	20
10	-89	495	Min.	0.00	-3090440.00	20	0.00	20	0.00	20	0.00	20	0.00	20	0.00	20
10	-89	495	Min.	529.00	-2847160.00	20	0.00	20	0.00	20	0.00	20	0.00	20	0.00	20
10	495	-88	Max.	0.00	-2847160.00	20	0.00	20	0.00	20	0.00	20	0.00	20	0.00	20
10	495	-88	Max.	529.00	-2638230.00	20	0.00	20	0.00	20	0.00	20	0.00	20	0.00	20
10	495	-88	Max.	529.00	-2638230.00	20	0.00	20	0.00	20	0.00	20	0.00	20	0.00	20
10	495	-88	Min.	0.00	-2847160.00	20	0.00	20	0.00	20	0.00	20	0.00	20	0.00	20
10	495	-88	Min.	529.00	-2638230.00	20	0.00	20	0.00	20	0.00	20	0.00	20	0.00	20
10	-88	496	Max.	0.00	-2638230.00	20	0.00	20	0.00	20	0.00	20	0.00	20	0.00	20
10	-88	496	Max.	529.00	-2429290.00	20	0.00	20	0.00	20	0.00	20	0.00	20	0.00	20
10	-88	496	Max.	529.00	-2429290.00	20	0.00	20	0.00	20	0.00	20	0.00	20	0.00	20
10	-88	496	Min.	0.00	-2638230.00	20	0.00	20	0.00	20	0.00	20	0.00	20	0.00	20
10	-88	496	Min.	529.00	-2429290.00	20	0.00	20	0.00	20	0.00	20	0.00	20	0.00	20
10	496	-87	Max.	0.00	-2429290.00	20	0.00	20	0.00	20	0.00	20	0.00	20	0.00	20
10	496	-87	Max.	529.00	-2231060.00	20	0.00	20	0.00	20	0.00	20	0.00	20	0.00	20
10	496	-87	Max.	529.00	-2231060.00	20	0.00	20	0.00	20	0.00	20	0.00	20	0.00	20
10	496	-87	Min.	0.00	-2429290.00	20	0.00	20	0.00	20	0.00	20	0.00	20	0.00	20
10	496	-87	Min.	529.00	-2231060.00	20	0.00	20	0.00	20	0.00	20	0.00	20	0.00	20
10	-87	497	Max.	0.00	-2231060.00	20	0.00	20	0.00	20	0.00	20	0.00	20	0.00	20
10	-87	497	Max.	529.00	-2032830.00	20	0.00	20	0.00	20	0.00	20	0.00	20	0.00	20
10	-87	497	Max.	529.00	-2032830.00	20	0.00	20	0.00	20	0.00	20	0.00	20	0.00	20
10	-87	497	Min.	0.00	-2231060.00	20	0.00	20	0.00	20	0.00	20				

Relazione di calcolo

## Relazione di calcolo

10	508	-75	Min.	533.25	-316128.00	20	0.00	20	0.00	20	0.00	20	0.00	20	0.00	20
10	-75	509	Max	0.00	-316127.00	20	0.00	20	0.00	20	0.00	20	0.00	20	0.00	20
10	-75	509	Max	533.25	-299999.00	20	0.00	20	0.00	20	0.00	20	0.00	20	0.00	20
10	-75	509	Min.	0.00	-316127.00	20	0.00	20	0.00	20	0.00	20	0.00	20	0.00	20
10	-75	509	Min.	533.25	-299999.00	20	0.00	20	0.00	20	0.00	20	0.00	20	0.00	20

### Sollecitazioni elementi bidimensionali

#### Simbologia

Bid. = Numero del muro/elemento bidimensionale

Nodo = Numero del nodo

$\sigma_{xx}$  = Tensione normale sulle facce perp. all'asse X

CC = Numero della combinazione delle condizioni di carico elementari

TCC = Tipo di combinazione di carico

SLU = Stato limite ultimo

SLU S = Stato limite ultimo (azione sismica)

SLE R = Stato limite d'esercizio, combinazione rara

SLE F = Stato limite d'esercizio, combinazione frequente

SLE Q = Stato limite d'esercizio, combinazione quasi permanente

SLD = Stato limite di danno

SLV = Stato limite di salvaguardia della vita

SLC = Stato limite di prevenzione del collasso

SLO = Stato limite di operatività

SLU I = Stato limite di resistenza al fuoco

SND = Stato limite di salvaguardia della vita (non dissipativo)

$\sigma_{zz}$  = Tensione normale sulle facce perp. all'asse Z

$\tau_{xz}$  = Tensione in dir. Z sulle facce perp. all'asse X

Mxx = Momento che provoca variazione di tensione sulle facce perp. all'asse X

Mzz = Momento che provoca variazione di tensione sulle facce perp. all'asse Z

Mxz = Momento che provoca variazione di tensione tangenziale sulle facce perp. all'asse X

$\tau_{zy}$  = Tensione in dir. Y sulle facce perp. all'asse Z

$\tau_{xy}$  = Tensione in dir. Y sulle facce perp. all'asse X

#### Bid. 112

	CC	TCC	Nodo	Min.	CC	TCC	Nodo	Max		CC	TCC	Nodo	Min.	CC	TCC	Nodo	Max
$\sigma_{xx}$ <daN/mq>	17	SLU	111	-5489100	17	SLU	-58	3957920	$\sigma_{zz}$ <daN/mq>	17	SLU	111	-866742	17	SLU	-68	260854
$\tau_{xz}$ <daN/mq>	17	SLU	111	-1172900	17	SLU	-58	237834	Mxx <daNm/m>	17	SLU	111	-32211	17	SLU	-58	29423
Mzz <daNm/m>	5	SLV	111	-289	17	SLU	-68	3430	Mxz <daNm/m>	3	SLV	111	-504	17	SLU	-58	4434
$\tau_{zy}$ <daN/mq>	17	SLU	111	-729220	17	SLU	-58	706848	$\tau_{xy}$ <daN/mq>	17	SLU	111	-661111	17	SLU	-68	630856

#### Bid. 113

	CC	TCC	Nodo	Min.	CC	TCC	Nodo	Max		CC	TCC	Nodo	Min.	CC	TCC	Nodo	Max
$\sigma_{xx}$ <daN/mq>	17	SLU	111	-3590140	17	SLU	-57	2058960	$\sigma_{zz}$ <daN/mq>	17	SLU	111	-637988	17	SLU	-67	32100
$\tau_{xz}$ <daN/mq>	17	SLU	111	-891565	17	SLU	-57	-43506	Mxx <daNm/m>	17	SLU	111	-39021	17	SLU	-57	36233
Mzz <daNm/m>	11	SLV	111	-288	17	SLU	-67	3704	Mxz <daNm/m>	11	SLV	111	-504	17	SLU	-57	4916
$\tau_{zy}$ <daN/mq>	17	SLU	111	-888391	17	SLU	-57	866239	$\tau_{xy}$ <daN/mq>	17	SLU	111	-803366	17	SLU	-67	773232

#### Bid. 114

	CC	TCC	Nodo	Min.	CC	TCC	Nodo	Max		CC	TCC	Nodo	Min.	CC	TCC	Nodo	Max
$\sigma_{xx}$ <daN/mq>	1	SLV	111	-1912380	7	SLV	-56	749027	$\sigma_{zz}$ <daN/mq>	7	SLV	111	-387199	1	SLV	-56	-73261
$\tau_{xz}$ <daN/mq>	17	SLU	111	-568755	1	SLV	-66	-154553	Mxx <daNm/m>	17	SLU	111	-42147	17	SLU	-56	39359
Mzz <daNm/m>	13	SLV	111	-306	17	SLU	-66	3833	Mxz <daNm/m>	17	SLU	111	-615	17	SLU	-56	5135
$\tau_{zy}$ <daN/mq>	17	SLU	111	-960831	17	SLU	-56	938458	$\tau_{xy}$ <daN/mq>	17	SLU	111	-869169	17	SLU	-66	838913

#### Bid. 115

	CC	TCC	Nodo	Min.	CC	TCC	Nodo	Max		CC	TCC	Nodo	Min.	CC	TCC	Nodo	Max
$\sigma_{xx}$ <daN/mq>	5	SLV	111	-1856580	17	SLU	-65	824234	$\sigma_{zz}$ <daN/mq>	17	SLU	-1	-1020290	5	SLV	110	513843
$\tau_{xz}$ <daN/mq>	5	SLV	111	-547410	17	SLU	110	1306610	Mxx <daNm/m>	17	SLU	111	-41285	17	SLU	110	16909
Mzz <daNm/m>	9	SLV	-1	-4462	17	SLU	110	22173	Mxz <daNm/m>	17	SLU	-1	-19447	11	SLV	110	3676
$\tau_{zy}$ <daN/mq>	17	SLU	111	-941253	17	SLU	110	1217380	$\tau_{xy}$ <daN/mq>	9	SLV	111	-151695	17	SLU	-65	820480

#### Bid. 116

	CC	TCC	Nodo	Min.	CC	TCC	Nodo	Max		CC	TCC	Nodo	Min.	CC	TCC	Nodo	Max
$\sigma_{xx}$ <daN/mq>	17	SLU	111	-6925620	17	SLU	-59	5394440	$\sigma_{zz}$ <daN/mq>	17	SLU	111	-1040410	17	SLU	-69	434520
$\tau_{xz}$ <daN/mq>	17	SLU	111	-1385140	17	SLU	-59	450066	Mxx <daNm/m>	17	SLU	111	-22384	17	SLU	-59	19596
Mzz <daNm/m>	3	SLV	111	-305	17	SLU	-69	3032	Mxz <daNm/m>	3	SLV	111	-534	17	SLU	-59	3741
$\tau_{zy}$ <daN/mq>	17	SLU	111	-500421	17	SLU	-59	478269	$\tau_{xy}$ <daN/mq>	17	SLU	111	-455018	17	SLU	-69	424884

#### Bid. 117

## Relazione di calcolo

	CC	TCC	Nodo	Min.	CC	TCC	Nodo	Max		CC	TCC	Nodo	Min.	CC	TCC	Nodo	Max
$\sigma_{xx}$ <daN/mq>	17	SLU	111	-7759260	17	SLU	-60	6228080	$\sigma_{zz}$ <daN/mq>	17	SLU	111	-1141750	17	SLU	-70	535860
$\tau_{xz}$ <daN/mq>	17	SLU	111	-1507640	17	SLU	-60	572564	$M_{xx}$ <daNm/m>	17	SLU	111	-10503	17	SLU	-60	7715
$M_{zz}$ <daNm/m>	7	SLV	111	-293	17	SLU	-70	2554	$M_{xz}$ <daNm/m>	1	SLV	111	-511	17	SLU	-60	2902
$\tau_{zy}$ <daN/mq>	17	SLU	111	-223343	17	SLU	-60	200970	$\tau_{xy}$ <daN/mq>	17	SLU	111	-206309	17	SLU	-70	176054

Bid. 118

	CC	TCC	Nodo	Min.	CC	TCC	Nodo	Max		CC	TCC	Nodo	Min.	CC	TCC	Nodo	Max
$\sigma_{xx}$ <daN/mq>	17	SLU	111	-7908190	17	SLU	-61	6377010	$\sigma_{zz}$ <daN/mq>	17	SLU	111	-1161140	17	SLU	-71	555255
$\tau_{xz}$ <daN/mq>	17	SLU	111	-1528220	17	SLU	-61	593146	$M_{xx}$ <daNm/m>	7	SLV	111	-7567	1	SLV	-61	7567
$M_{zz}$ <daNm/m>	7	SLV	111	-305	17	SLU	-61	2342	$M_{xz}$ <daNm/m>	7	SLV	111	-534	17	SLU	-71	2519
$\tau_{zy}$ <daN/mq>	1	SLV	111	-176468	7	SLV	-71	176469	$\tau_{xy}$ <daN/mq>	7	SLV	111	-158332	1	SLV	-71	158332

Bid. 119

	CC	TCC	Nodo	Min.	CC	TCC	Nodo	Max		CC	TCC	Nodo	Min.	CC	TCC	Nodo	Max
$\sigma_{xx}$ <daN/mq>	17	SLU	111	-7358060	17	SLU	-62	5826890	$\sigma_{zz}$ <daN/mq>	17	SLU	111	-1096370	17	SLU	-72	490487
$\tau_{xz}$ <daN/mq>	17	SLU	111	-1445070	17	SLU	-62	510002	$M_{xx}$ <daNm/m>	17	SLU	111	-17472	17	SLU	-72	14684
$M_{zz}$ <daNm/m>	7	SLV	111	-289	17	SLU	-62	2842	$M_{xz}$ <daNm/m>	7	SLV	111	-504	17	SLU	-72	3395
$\tau_{zy}$ <daN/mq>	17	SLU	111	-385943	17	SLU	-72	363570	$\tau_{xy}$ <daN/mq>	17	SLU	111	-351773	17	SLU	-62	321518

Bid. 120

	CC	TCC	Nodo	Min.	CC	TCC	Nodo	Max		CC	TCC	Nodo	Min.	CC	TCC	Nodo	Max
$\sigma_{xx}$ <daN/mq>	17	SLU	111	-6162530	17	SLU	-63	4631350	$\sigma_{zz}$ <daN/mq>	17	SLU	111	-954077	17	SLU	-73	348189
$\tau_{xz}$ <daN/mq>	17	SLU	111	-1266150	17	SLU	-63	331082	$M_{xx}$ <daNm/m>	17	SLU	111	-28312	17	SLU	-73	25524
$M_{zz}$ <daNm/m>	15	SLV	111	-288	17	SLU	-63	3277	$M_{xz}$ <daNm/m>	15	SLV	111	-504	17	SLU	-73	4161
$\tau_{zy}$ <daN/mq>	17	SLU	111	-638825	17	SLU	-73	616674	$\tau_{xy}$ <daN/mq>	17	SLU	111	-578706	17	SLU	-63	548572

Bid. 121

	CC	TCC	Nodo	Min.	CC	TCC	Nodo	Max		CC	TCC	Nodo	Min.	CC	TCC	Nodo	Max
$\sigma_{xx}$ <daN/mq>	17	SLU	111	-4438780	17	SLU	-64	2907600	$\sigma_{zz}$ <daN/mq>	17	SLU	111	-747927	17	SLU	-74	142039
$\tau_{xz}$ <daN/mq>	17	SLU	111	-1009130	17	SLU	-64	74061	$M_{xx}$ <daNm/m>	17	SLU	111	-36518	17	SLU	-74	33730
$M_{zz}$ <daNm/m>	15	SLV	111	-306	17	SLU	-64	3608	$M_{xz}$ <daNm/m>	9	SLV	111	-534	17	SLU	-74	4738
$\tau_{zy}$ <daN/mq>	17	SLU	111	-829710	17	SLU	-74	807337	$\tau_{xy}$ <daN/mq>	17	SLU	111	-751012	17	SLU	-64	720757

Bid. 1902

	CC	TCC	Nodo	Min.	CC	TCC	Nodo	Max		CC	TCC	Nodo	Min.	CC	TCC	Nodo	Max
$\sigma_{xx}$ <daN/mq>	17	SLU	-52	-117274	17	SLU	-42	185200	$\sigma_{zz}$ <daN/mq>	17	SLU	254	-100795	17	SLU	264	63400
$\tau_{xz}$ <daN/mq>	17	SLU	2	-91274	17	SLU	-46	90927	$M_{xx}$ <daNm/m>	18	SLE R	478	73116	17	SLU	-42	1760530
$M_{zz}$ <daNm/m>	17	SLU	-42	-718755	17	SLU	264	3502640	$M_{xz}$ <daNm/m>	17	SLU	259	-618611	17	SLU	249	598304
$\tau_{zy}$ <daN/mq>	17	SLU	254	-42205	17	SLU	-51	230852	$\tau_{xy}$ <daN/mq>	17	SLU	469	-59873	17	SLU	491	60310

## Criteri di progetto utilizzati

### Sezioni generiche

Generali	
Stampe	
Tipo di relazione	Estesa

Specifici	1
<b>Materiali</b>	
-Considera come elemento esistente	
-Calcestruzzo	
-Livello di conoscenza	
-Fattore di confidenza	
-Tipo di calcestruzzo	
-Rck calcestruzzo	
-Modulo elastico <daN/cmq>	
-Resistenza caratteristica cilindrica (Fck)	
-Resistenza caratteristica a trazione (Fctk)	
-Resistenza media (Fcm) <daN/cmq>	
-Resistenza media a trazione (Fctm) <daN/cmq>	
- $\sigma$ amm. calcestruzzo <daN/cmq>	
- $\tau_{c0}$ <daN/cmq>	
- $\tau_{c1}$ <daN/cmq>	
-Riduci Fcd per tutte le verifiche secondo il D.M. 18	
Si	

## Relazione di calcolo

- $\gamma_c$ per stati limite ultimi	
-Automatico	x
-Pari a	
-Acciaio	
-Livello di conoscenza	LC2
-Fattore di confidenza	1.20
-Tipo di acciaio	B450C
-Modulo elastico <daN/cmq>	2060000.00
-Tensione caratteristica di snervamento (Fy <sub>k</sub> ) <daN/cmq>	4500.00
-Tensione media di snervamento (Fy <sub>m</sub> ) <daN/cmq>	4500.00
-Sigma amm. acciaio <daN/cmq>	2600.00
-Sigma amm. reti e tralicci <daN/cmq>	2600.00
-Allungamento per verifiche di duttilità (Agt) <%>	4.00
- $\gamma_s$ per stati limite ultimi	
-Automatico	x
-Pari a	
-Coeff. di omogeneizzazione	15.00
<b>Parametri per analisi pushover</b>	
Numero fibre	200.00
Fattore di confinamento nucleo interno	1.00
Fattore di incrudimento acciaio <%>	0.10
<b>Posizione barre e normativa</b>	
Coprifero reale al bordo staffa <cm>	2.50
Diametro staffa teorica <mm>	8.00
Distanza fra ferri su più strati <cm>	1.00
Verifica con barre in posizione teorica	Si
-Coprifero <cm>	3.00
Normativa di riferimento	
-Relativa alle travi	x
-Relativa ai pilastri	
-Relativa solo al controllo sulle tensioni	
Elemento dissipativo	Si
Verifiche secondo Circ. 65 del 10/04/97	No
<b>Verifiche e sollecitazioni</b>	
Passo di verifica <m>	0.50
Integrare lo scorrimento lungo il tratto	Si
-Lunghezza del tratto <m>	1.00
Verifiche a pressoflessione	No
Verifiche a flessione/pressoflessione retta	Si
-Considera My	Si
-Considera Mz	No
Verifiche di stabilità in direzione Z locale	No
-Coeff. $\Omega_b$	
Integrare lo scorrimento lungo il tratto	No
-Coeff. $\beta$	
Tipo verifica di stabilità	
-Per N* $\Omega$ -M e per N-c*M (standard)	Si
-Per N* $\Omega$ -c*M (doppia)	No
-Per N* $\Omega$ (sforzo normale e momento nullo)	No
-Per c*M (momento e sforzo normale nullo)	No
<b>Verifiche a taglio</b>	
Modalità di calcolo Vrd <sub>u</sub>	
-Considera Vrd <sub>u</sub> minimo	x
-Considera Vrd <sub>u</sub> calcolato in corrispondenza di bw minimo	
-Considera Vrd <sub>u</sub> in corrispondenza di bw medio	
-Considera Vrd <sub>u</sub> in corrispondenza di bw massimo	
-Considera sempre Af Staffe non proiettata in direzione del taglio	No
-Verifica a taglio con traliccio ad inclinazione variabile	Si
-Limita ctg $\theta$ a	2.50
-Verifiche a taglio per elementi esistenti come per elementi nuovi	Si
<b>Dati per progettazione agli stati limite</b>	
Gruppo di esigenza	
-Ambiente poco aggressivo	x
-Ambiente moderatamente aggressivo	
-Ambiente molto aggressivo	
Usa dominio N-M per flessioni rette	Si
-Ricerca della sicurezza con sforzo normale costante	
-Ricerca della sicurezza con eccentricità costante	x
Controllo rapporto X/D	Si
Barre da considerare tese per verifiche a taglio	
-Solo le barre con deformazione percentuale rispetto alla barra più tesa non inferiore al <%>	30.00
-Tutte le barre in trazione	

## Relazione di calcolo

<b>Dati per verifiche di resistenza al fuoco</b>	
-Tempo di verifica (REI) <minuti>	120.00
Dimensione MESH <cm>	2.00
-Passo di calcolo <secondi>	10.00
-Temperatura ambiente <C°>	20.00
-Coeff. di convezione a temperatura ambiente <W/mq K>	9.00
-Tipo di aggregati	SILICEI
-Massa volumica a secco <kg/mc>	2300.00
-Umidità iniziale <%>	3.00
-Fattore di interpolazione conducibilità	0.50

### Aste in acciaio

<b>Generali</b>	
<b>Verifica aste in acciaio</b>	
Numero punti di verifica	10.00
Numero CC da considerare di tipo I	99.00
<b>Stati limite D.M. 18</b>	
Verifiche con EC3	No
Coeff. amplificativo sollecitazioni per effetti del secondo ordine	1.00
<b>Stampe</b>	
Verifiche da riportare in relazione	Tutte
Stampa dettaglio verifiche	No

<b>Specifici</b>		1
<b>Materiali</b>		
CNR 10011		
Tipo di acciaio		
D.M. 18		
Tipo di acciaio per profilati a sezione aperta		
S355		
UNI EN		
10025-2		
Tipo di acciaio per profilati a sezione cava		
S355H		
UNI EN		
10210-1		
EC3		
Tipo di acciaio		
S355		
-Fy <daN/cmq>		3550.00
-Fu <daN/cmq>		5100.00
-Fy,40 <daN/cmq>		3350.00
-Fu,40 <daN/cmq>		4700.00
γ M0		1.00
γ M1		1.00
γ M2		1.25
γ Rd		1.30
γ Ov		1.25
-Considera come elemento esistente (S.L. D.M. 18/EC3)		No
-Livello di conoscenza		LC1
-Fattore di confidenza		1.35
<b>Verifiche di resistenza</b>		
Rapporto fra area effettiva e area nominale		1.00
Rapporto fra area netta e area nominale		1.00
Coeff. di forma intorno all'asse Y		1.00
Coeff. di forma intorno all'asse Z		1.00
Verifica le bielle solo con sollecitazioni di trazione moltiplicate per		Si
Valutare la τ per torsione nei punti di spigolo (CNR 10011)		No
-Pari a		
Stati limite D.M. 18/EC3		
-Elemento dissipativo		Si
-Effettua le verifiche della gerarchia delle resistenze per strutture intelaiate		Si
-Usa classe 1 in pressoflessione deviata se non presente in archivio		No
-Verifica in campo plastico elemento non dissipativo		No
Stati limite D.M. 18		
-Usa prescrizioni EC3 quando più dettagliate		Si
-Considera prescrizioni relative ai ponti		No
<b>Verifiche di resistenza sezioni generiche</b>		
Spessore nominale <cm>		0.00
Momento di inerzia torsionale <cm <sup>4</sup> >		0.00
Costante di ingombramento <cm <sup>6</sup> >		0.00
Riduzione resistenza flessionale come per sezioni a I		No

## Relazione di calcolo

Area resistente a taglio in dir. Y locale <cmq>	0.00
Area resistente a taglio in dir. Z locale <cmq>	0.00
<b>Verifiche di deformabilità</b>	
Max valore del rapporto tra la luce e la freccia (totale)	250.00
Max valore del rapporto tra la luce e la freccia (solo accidentali)	300.00
Max valore del rapporto tra altezza e spostamento orizz. (aste)	300.00
Max valore del rapporto tra altezza e spostamento orizz. (membrature)	500.00
Considerare anche spostamento relativo nodi per calcolo freccia	No
Considerare solo la verifica di deformabilità delle membrature	Si
Trascura deformazione dovuta al sisma (T.A.)	No
<b>Verifiche di stabilità</b>	
Riduzione lunghezza libera d'inflessione	
-Distanza fra i nodi dell'asta	x
-Distanza ridotta delle zone rigide moltiplicate per il valore	
Tipo di accoppiamento aste composte	
-Separate	
-Calastrellate	
-Imbottite	
-Automatico	x
Calcolo momento medio usando valori assoluti	Si
Interasse calastrelli o imbottiture	
-Distanza pari a <m>	
-Interasse da normativa moltiplicato per il valore	0.80
-Aste rigidamente collegate	
Curva di stabilità (D.M. 18/EC3)	Automatica
Aste laminate	Si
Sigma max amm. senza verifiche di stabilità (CNR 10011) <%>	2.00
Verifica nei piani principali	Si
Carichi sull'estradosso (CNR 10011)	Si
<b>Verifiche di stabilità asta</b>	
Verifiche di stabilità globale nel piano XZ locale	Si
-Coeff. $\beta$ intorno all'asse Y	1.00
Verifiche di stabilità globale nel piano XY locale	Si
-Coeff. $\beta$ intorno all'asse Z	1.00
Verifiche di stabilità flesso - torsionale	Si
-Coeff. per calcolo interasse ritegni torsionali	1.00
Eseguire anche le verifiche al punto 7.3.2 (CNR 10011)	Si
Aste inflesse (D.M. 18/EC3)	
-Coeff. $\Psi$ per calcolo momento critico	
-Valuta in base ai momenti dell'asta	x
-Utilizza valore imposto	
-Fattore correttivo di distribuzione $K_c$	0.94
-Snellezza di riferimento $\lambda_{LT,0}$	0.40
-Coeff. $\beta$	0.75
Aste pressoinflesse (D.M. 18/EC3)	
-Considera come molto deformabile a torsione	No
-Fattore correttivo di distribuzione $\alpha_{mY}/C_{mY}$	0.95
-Fattore correttivo di distribuzione $\alpha_{mZ}/C_{mZ}$	0.95
-Fattore correttivo di distribuzione $\alpha_{mLT}/C_{mLT}$	0.95
Verifiche di stabilità all'imbozzamento (CNR 10011)	
-Numero irrigidimenti orizzontali anima	0.00
-Interasse irrigidimenti verticali anima	
-Numero di suddivisioni	
-Distanza non inferiore a <cm>	
-Pari alla lunghezza dell'asta	x
-Modalità di calcolo $\sigma$ cr,id	
-Normativa	
-Massonet	x
-Ballio	
<b>Verifiche di stabilità membratura</b>	
Massimo numero aste costituenti unica membratura	1.00
Sforzo normale di verifica	
-Massimo valore fra tutte le aste	x
-Media aritmetica dei valori di tutte le aste	
-Media pesata di tutte le aste	
Contributo eventuali sforzi di trazione	No
Incremento snellezza	Si
Verifiche di stabilità globale nel piano XZ locale	Si
-Coeff. $\beta$ intorno all'asse Y calcolato in funzione dello sforzo normale	
-Coeff. $\beta$ intorno all'asse Y	1.00
Verifiche di stabilità globale nel piano XY locale	Si
-Coeff. $\beta$ intorno all'asse Z calcolato in funzione dello sforzo normale	
-Coeff. $\beta$ intorno all'asse Z	1.00
Verifiche di stabilità flesso - torsionale	Si

## Relazione di calcolo

-Coeff. per calcolo interasse ritegni torsionali	1.00
Membrature inflesse (D.M. 18/EC3)	
-Coeff. $\Psi$ per calcolo momento critico	
-Valuta in base ai momenti della membratura	x
-Utilizza valore imposto	
-Fattore correttivo di distribuzione K <sub>c</sub>	0.94
-Snellezza di riferimento $\lambda_{LT,0}$	0.40
-Coeff. $\beta$	0.75
Membrature pressoinflesse (D.M. 18/EC3)	
-Considera come molto deformabile a torsione	No
-Fattore correttivo di distribuzione $\alpha_{mY}/C_{mY}$	0.95
-Fattore correttivo di distribuzione $\alpha_{mZ}/C_{mZ}$	0.95
-Fattore correttivo di distribuzione $\alpha_{mLT}/C_{mLT}$	0.95
<b>Dati per verifiche di resistenza al fuoco</b>	
-Tempo di verifica (REI) <minuti>	120.00
-Fattore di momento uniforme equivalente $\beta_M, y$	1.10
-Fattore di momento uniforme equivalente $\beta_M, z$	1.10
-Fattore di momento uniforme equivalente $\beta_M, LT$	1.10

## Plinti/Pali

<b>Generali</b>	
<b>Parametri di progetto</b>	
Progettazione e verifica dell'armatura con sollecitazioni più gravose	Si
Verifiche a taglio per elementi esistenti come per elementi nuovi	Si
<b>Parametri di disegno</b>	
Scala disegno plinti	25.00
Disegno ancoraggi non necessari	Si
Copriferro per calcolo lunghezze ferri plinto <cm>	3.00
Copriferro per calcolo lunghezze ferri bicchiere <cm>	2.00
Calcolo lunghezza ferri semplificato	Si
Diametro per calcolo lunghezze ferri plinto <mm>	10.00
Diametro per calcolo lunghezze ferri bicchiere <mm>	10.00
<b>Stampe</b>	
Tipo di relazione	Sintetica

<b>Specifici</b>	1
<b>Materiali</b>	
-Considera come elemento esistente	No
-Calcestruzzo	
-Livello di conoscenza	LC2
-Fattore di confidenza	1.20
-Tipo di calcestruzzo	C28/35
-Rck calcestruzzo	350.00
-Modulo elastico <daN/cmq>	325881.00
-Resistenza caratteristica cilindrica (Fck)	290.50
-Resistenza caratteristica a trazione (Fctk)	19.84
-Resistenza media (Fcm) <daN/cmq>	370.50
-Resistenza media a trazione (Fctm) <daN/cmq>	28.35
- $\sigma$ amm. calcestruzzo <daN/cmq>	110.00
-tc0 <daN/cmq>	6.70
-tc1 <daN/cmq>	19.70
-Riduci Fcd per tutte le verifiche secondo il D.M. 18	Si
- $\gamma_c$ per stati limite ultimi	
-Automatico	x
-Pari a	
-Acciaio	
-Livello di conoscenza	LC2
-Fattore di confidenza	1.20
-Tipo di acciaio	B450C
-Modulo elastico <daN/cmq>	2060000.00
-Tensione caratteristica di snervamento (Fyk) <daN/cmq>	4500.00
-Tensione media di snervamento (Fym) <daN/cmq>	4500.00
-Sigma amm. acciaio <daN/cmq>	2600.00
-Sigma amm. reti e tralicci <daN/cmq>	2600.00
-Allungamento per verifiche di duttilità (Agt) <%>	4.00
- $\gamma_s$ per stati limite ultimi	
-Automatico	x
-Pari a	
-Coeff. di omogeneizzazione	15.00

## Relazione di calcolo

<b>Parametri di calcolo</b>	
Coprifero teorico di calcolo <cm>	4.00
Angolo limite plinti snelli/tozzi <grad>	30.00
Considerare snelli plinti ambigui	Si
Peso specifico calcestruzzo plinto <daN/mc>	2500.00
Sovraccarichi agenti sul plinto <daN/mq>	0.00
Sollecitazioni dissipative amplificate	Si
Detrazione peso proprio e sovraccarichi	Si
Calcolo momenti con metodo dei trapezi	Si
Sezione verifica plinti a bicchiere	
-A filo parete	x
-In asse alla parete	
Raffittimento armatura zona centrale	No
<b>Armatura base</b>	
Elenco diametri utilizzabili 1 <mm>	12
Elenco diametri utilizzabili 2 <mm>	14
Elenco diametri utilizzabili 3 <mm>	16
Elenco diametri utilizzabili 4 <mm>	18
Elenco diametri utilizzabili 5 <mm>	20
Elenco diametri utilizzabili 6 <mm>	
Elenco diametri utilizzabili 7 <mm>	
Passi utilizzabili	
-Minimo <cm>	10.00
-Massimo <cm>	25.00
-Incremento <cm>	5.00
Elemento costante	
-Diametro	x
-Passo	
Tipo di ottimizzazione armatura	
-Minimizza il peso complessivo dei ferri	
-Minimizza il numero dei ferri	x
Lunghezza risvolto ferri inferiori	
-Pari a <cm>	
-Come percentuale dell'altezza del plinto <%>	50.00
Min. armatura superiore	Si
Diametro staffoni di montaggio <mm>	10.00
Staffoni orizzontali di montaggio	Si
-Max distanza <cm>	60.00
Staffoni verticali di montaggio	Si
-Max distanza <cm>	20.00
Lunghezza risvolto staffoni orizzontali	
-Pari a <cm>	
-Come percentuale del lato del plinto <%>	20.00
-Unico ferro lungo il perimetro del plinto	
<b>Armatura a punzonamento</b>	
Elenco diametri utilizzabili 1 <mm>	16
Elenco diametri utilizzabili 2 <mm>	18
Elenco diametri utilizzabili 3 <mm>	20
Elenco diametri utilizzabili 4 <mm>	
Elenco diametri utilizzabili 5 <mm>	
Elenco diametri utilizzabili 6 <mm>	
Elenco diametri utilizzabili 7 <mm>	
Passi utilizzabili	
-Minimo <cm>	5.00
-Massimo <cm>	15.00
-Incremento <cm>	2.00
Allargamento piastra pilastri in acciaio <cm>	5.00
Distanza dal bordo libero	
-Distanza imposta a <cm>	
-Distanza come un moltiplicatore dello spessore del plinto	0.50
Moltiplicatore altezza utile per valutare perimetro efficace (D.M. 08)	2.00
Collaborazione pilastro-bicchiere	
Valutata sulla superficie di contatto fra pilastro e bicchiere	Si
-Valutata come moltiplicatore del valore della resistenza a trazione del plinto	x
<b>Plinti poligonali su pali</b>	
Rete elettrosaldata inferiore	Si
-Diametro <mm>	8.00
-Passo <cm>	20.00
Rete elettrosaldata superiore	Si
-Diametro <mm>	8.00
-Passo <cm>	20.00
Distanziatori	Si
-Diametro <mm>	6.00
-Dimensioni <cm>	10.00
-Numero	4.00

## Relazione di calcolo

<b>Materiali bicchiere</b>	
-Considera come elemento esistente	No
-Calcestruzzo	
-Livello di conoscenza	LC2
-Fattore di confidenza	1.20
-Tipo di calcestruzzo	C28/35
-Rck calcestruzzo	350.00
-Modulo elastico <daN/cmq>	325881.00
-Resistenza caratteristica cilindrica (Fck)	290.50
-Resistenza caratteristica a trazione (Fctk)	19.84
-Resistenza media (Fcm) <daN/cmq>	370.50
-Resistenza media a trazione (Fctm) <daN/cmq>	28.35
- $\sigma$ amm. calcestruzzo <daN/cmq>	110.00
- $\tau_{c0}$ <daN/cmq>	6.70
- $\tau_{c1}$ <daN/cmq>	19.70
-Riduci Fcd per tutte le verifiche secondo il D.M. 18	No
- $\gamma_c$ per stati limite ultimi	
-Automatico	x
-Pari a	
-Acciaio	
-Livello di conoscenza	LC2
-Fattore di confidenza	1.20
-Tipo di acciaio	B450C
-Modulo elastico <daN/cmq>	2060000.00
-Tensione caratteristica di snervamento (Fyk) <daN/cmq>	4300.00
-Tensione media di snervamento (Fym) <daN/cmq>	4300.00
-Sigma amm. acciaio <daN/cmq>	2600.00
-Sigma amm. reti e tralicci <daN/cmq>	2600.00
-Allungamento per verifiche di duttilità (Agt) <%>	4.00
- $\gamma_s$ per stati limite ultimi	
-Automatico	x
-Pari a	
-Coeff. di omogeneizzazione	15.00
<b>Armatura bicchiere</b>	
Copriferro teorico <cm>	3.00
Bicchiere con pareti organizzate	No
Rck calcestruzzo di riempimento <daN/cmq>	300.00
Resistenza teorica a trazione del calcestruzzo di riempimento <daN/cmq>	18.10
Denominatore momento flettente parete	16.00
Elenco diametri utilizzabili 1 <mm>	10
Elenco diametri utilizzabili 2 <mm>	12
Elenco diametri utilizzabili 3 <mm>	14
Elenco diametri utilizzabili 4 <mm>	16
Elenco diametri utilizzabili 5 <mm>	18
Elenco diametri utilizzabili 6 <mm>	
Elenco diametri utilizzabili 7 <mm>	
Passi utilizzabili	
-Minimo <cm>	5.00
-Massimo <cm>	15.00
-Incremento <cm>	2.00
Tipo di ottimizzazione armatura	
-Minimizza il peso complessivo dei ferri	
-Minimizza il numero dei ferri	x
Ferri orizzontali aggiuntivi nel fondo bicchiere	Si
-Distanza <cm>	15.00
Ferri verticali internamente al bicchiere	Si
-Max distanza <cm>	10.00
<b>Dati per progettazione agli stati limite</b>	
Gruppo di esigenza	
-Ambiente poco aggressivo	x
-Ambiente moderatamente aggressivo	
-Ambiente molto aggressivo	
<b>Materiali palo</b>	
-Considera come elemento esistente	No
-Calcestruzzo	
-Livello di conoscenza	LC2
-Fattore di confidenza	1.20
-Tipo di calcestruzzo	C28/35
-Rck calcestruzzo	350.00
-Modulo elastico <daN/cmq>	325881.00
-Resistenza caratteristica cilindrica (Fck)	290.50
-Resistenza caratteristica a trazione (Fctk)	19.84
-Resistenza media (Fcm) <daN/cmq>	370.50
-Resistenza media a trazione (Fctm) <daN/cmq>	28.35
- $\sigma$ amm. calcestruzzo <daN/cmq>	110.00

## Relazione di calcolo

-tc0 <daN/cmq>	6.70
-tc1 <daN/cmq>	19.70
-Riduci Fcd per tutte le verifiche secondo il D.M. 18	No
- $\gamma_c$ per stati limite ultimi	
-Automatico	x
-Pari a	
-Acciaio	
-Livello di conoscenza	LC2
-Fattore di confidenza	1.20
-Tipo di acciaio	B450C
-Modulo elastico <daN/cmq>	2060000.00
-Tensione caratteristica di snervamento (Fy) <daN/cmq>	4300.00
-Tensione media di snervamento (Fym) <daN/cmq>	4300.00
-Sigma amm. acciaio <daN/cmq>	2600.00
-Sigma amm. reti e tralicci <daN/cmq>	2600.00
-Allungamento per verifiche di duttilità (Agt) <%>	4.00
- $\gamma_s$ per stati limite ultimi	
-Automatico	x
-Pari a	
-Coeff. di omogeneizzazione	15.00
<b>Armatura a pressoflessione pali</b>	
Considera momenti da interazione cinematica	No
Elenco diametri ferri longitudinali 1 <mm>	16
Elenco diametri ferri longitudinali 2 <mm>	20
Elenco diametri ferri longitudinali 3 <mm>	24
Elenco diametri ferri longitudinali 4 <mm>	
Elenco diametri ferri longitudinali 5 <mm>	
Elenco diametri ferri longitudinali 6 <mm>	
Elenco diametri ferri longitudinali 7 <mm>	
Copriferro reale al bordo staffa <cm>	4.00
Diametro staffa teorica <mm>	9.00
Max distanza fra i ferri <cm>	25.00
Min. interferro ammissibile <cm>	5.00
Min. numero ferri	8.00
Alleggerimento ferri longitudinali	No
-Alla quota indicata <cm>	
-Come percentuale della lunghezza del palo	0.00
-Min. ferri rimanenti dopo alleggerimento	x
-Pari a	0.00
-Percentuale dell'armatura di testa del palo	
<b>Armatura a taglio pali</b>	
Elenco diametri staffe 1 <mm>	0.00
Elenco diametri staffe 2 <mm>	x
Elenco diametri staffe 3 <mm>	50.00
Elenco diametri staffe 4 <mm>	
Elenco diametri staffe 5 <mm>	8
Elenco diametri staffe 6 <mm>	10
Elenco diametri staffe 7 <mm>	
Passi staffe	
-Minimo <cm>	
-Massimo <cm>	
-Incremento <cm>	
Tipo di minimizzazione staffatura	
-Minimizza il numero delle staffe	5.00
-Minimizza il peso delle staffe	30.00
Staffatura a spirale	5.00
Verifiche a taglio per sezioni circolari	
-Usa formulazione sezioni generiche	
-Considera rettangolo inscritto con B/H pari a	x
Verifiche a taglio per sezioni generiche	No
-Considera Vrdù minimo	
-Considera Vrdù calcolato in corrispondenza di bw minimo	
-Considera Vrdù in corrispondenza di bw medio	1.00
-Considera Vrdù in corrispondenza di bw massimo	
-Considera sempre Af Staffe non proiettata in direzione del taglio	
Barre da considerare tese per verifiche a taglio	
-Solo le barre con deformazione percentuale rispetto alla barra più tesa non inferiore al <%>	x
-Tutte le barre in trazione	Si
<b>Capacità portante</b>	
Efficienza	
-Pari a	
-Automatica	x

## Verifiche aste in acciaio

## Relazione di calcolo

### Simbologia

Sez.	= Numero della sezione
Cod.	= Codice
Tipo	= Tipologia 2C = Doppia C lato labbri 2Cdx = Doppia C lato costola 2I = Doppia I 2L = Doppia L lato labbri 2Ldx = Doppia L lato costole C = Sezione a C Cdx = C destra Cir. = Circolare Cir.c = Circolare cava I = Sezione a I L = Sezione a L Ldx = L destra Om. = Omega Pg = Pi greco Pr = Poligono regolare Prc = Poligono regolare cava Pc = Per coordinate Ia = Inerzie assegnate R = Rettangolare Rc = Rettangolare cava T = Sezione a T U = Sezione a U Ur = U rovescia V = Sezione a V Vr = V rovescia Z = Sezione a Z Zdx = Z destra Ts = T stondata Ls = L stondata Cs = C stondata Is = I stondata Dis. = Disegnata
D	<cm> = Distanza
Area	<cmq> = Area
Anet	<cmq> = Area netta per compressione
Aeff	<cmq> = Area effettiva per trazione
Jy	<cm4> = Momento d'inerzia rispetto all'asse Y
Jz	<cm4> = Momento d'inerzia rispetto all'asse Z
Iy	<cm> = Raggio giratorio d'inerzia rispetto all'asse Y
Iz	<cm> = Raggio giratorio d'inerzia rispetto all'asse Z
Wymin	<cmc> = Modulo di resistenza minima rispetto all'asse Y
Wzmin	<cmc> = Modulo di resistenza minima rispetto all'asse Z
Tp	= Tipo di acciaio
Fyk	<daN/cmq> = Tensione caratteristica di snervamento dell'acciaio
Fyt	<daN/cmq> = Tensione caratteristica di rottura
Wy,plas	<cmc> = Modulo di resistenza plastico intorno all'asse Y
Wz,plas	<cmc> = Modulo di resistenza plastico intorno all'asse Z
Atag,y	<cmq> = Area resistente a taglio in dir. Y
Atag,z	<cmq> = Area resistente a taglio in dir. Z
J0	<cm6> = Costante di ingombramento
CC	= Numero della combinazione delle condizioni di carico elementari
Xl	<m> = Coordinata progressiva (dal nodo iniziale dell'asta) in cui viene effettuato il progetto/verifica
T	<daN> = Taglio agente
Mx	<daNm> = Momento torcente intorno all'asse X
V,Ed	<daN> = Forza di taglio di calcolo
Vc,Rd,Red	<daN> = Resistenza a taglio ridotta
N	<daN> = Sforzo normale
M	<daNm> = Momento agente
N,Ed	<daN> = Forza assiale di calcolo
Nc,Rd	<daN> = Resistenza a compressione
M,Ed	<daNm> = Momento flettente di calcolo
M,V,c,Rd	<daNm> = Resistenza di calcolo a flessione ridotta per taglio
MN,c,Rd	<daNm> = Resistenza di calcolo a pressoflessione
L	<m> = Lunghezza dell'asta
$\lambda$	= Snellezza per inflessione
Ncr	<daN> = Sforzo normale critico euleriano
$\lambda^*$	= Snellezza adimensionale
Curva	= Curva di instabilità adottata
$\Phi$	= Coefficiente $\Phi$
$\chi_{,min}$	= Coefficiente $\chi$ di riduzione per instabilità

### Caratteristiche profilati utilizzati

Sez.	Cod.	Tipo	D <cm>	Area <cmq>	Anet <cmq>	Aeff <cmq>	Jy <cm4>	Jz <cm4>	Iy <cm>	Iz <cm>	Wymin <cmc>	Wzmin <cmc>	Tp	Fyk <daN/cmq>	Fyt <daN/cmq>
1s_01_01	Cir.c	--	193057.00	193057.00	193057.00		1.145E+10	1.145E+10	243.49	243.49	29622800.00	S355H UNI EN 10210-1		3350.00	4900.00
2s_01_02	Cir.c	--	183953.00	183953.00	183953.00		9.919E+09	9.919E+09	232.21	232.21	26786900.00	S355H UNI EN 10210-1		3350.00	4900.00
3s_01_03	Cir.c	--	157984.00	157984.00	157984.00		7.930E+09	7.930E+09	224.04	224.04	22381000.00	S355H UNI EN 10210-1		3350.00	4900.00
4s_01_04	Cir.c	--	149892.00	149892.00	149892.00		6.784E+09	6.784E+09	212.75	212.75	20060100.00	20060100.00		3350.00	4900.00
5s_01_05	Cir.c	--	126317.00	126317.00	126317.00		5.287E+09	5.287E+09	204.58	204.58	16408800.00	S355H UNI EN 10210-1		3350.00	4900.00
6s_02_01	Cir.c	--	119236.00	119236.00	119236.00		4.455E+09	4.455E+09	193.29	193.29	14553000.00	14553000.00		3350.00	4900.00
7s_02_02	Cir.c	--	97980.00	97980.00	97980.00		3.353E+09	3.353E+09	185.00	185.00	11567000.00	11567000.00		3350.00	4900.00
8s_02_03	Cir.c	--	91910.40	91910.40	91910.40		2.773E+09	2.773E+09	173.69	173.69	10127300.00	10127300.00		3350.00	4900.00
9s_02_04	Cir.c	--	73073.50	73073.50	73073.50		2.000E+09	2.000E+09	165.42	165.42	7762320.00	7762320.00		3350.00	4900.00
10s_02_05	Cir.c	--	68015.50	68015.50	68015.50		1.615E+09	1.615E+09	154.11	154.11	6688510.00	6688510.00		3350.00	4900.00
11s_03	Cir.c	--	5353.26	5353.26	5353.26	121447000.00	121447000.00	150.62	150.62	564869.00	564869.00	S355H UNI EN 10210-1		3550.00	5100.00
19s_04	Cir.c	--	4024.38	4024.38	4024.38	91724600.00	91724600.00	150.97	150.97	426626.00	426626.00	S355H UNI EN 10210-1		3550.00	5100.00
29s_05_01	Cir.c	--	3852.84	3852.84	3852.84	80489100.00	80489100.00	144.54	144.54	390913.00	390913.00	S355H UNI EN 10210-1		3550.00	5100.00

## Relazione di calcolo

---

**Caratteristiche profilati utilizzati**

Sez.	Cod.	Wy,plas <cmc>	Wz,plas <cmc>	Atag,y <cmq>	Atag,z <cmq>	Jω <cm6>
1s_01_01	41169700.00	41169700.00	122904.00	122904.00		
2s_01_02	37400000.00	37400000.00	117108.00	117108.00		
3s_01_03	31003900.00	31003900.00	100576.00	100576.00		
4s_01_04	27925600.00	27925600.00	95424.00	95424.00		
5s_01_05	22641800.00	22641800.00	80416.00	80416.00		
6s_02_01	20186600.00	20186600.00	75908.00	75908.00		
7s_02_02	15885000.00	15885000.00	62376.00	62376.00		
8s_02_03	13986400.00	13986400.00	58512.00	58512.00		
9s_02_04	10596400.00	10596400.00	46520.00	46520.00		
10s_02_05	9185690.00	9185690.00	43300.00	43300.00		
11s_03	708160.00	708160.00	3407.99	3407.99		
19s_04	533610.00	533610.00	2562.00	2562.00		
29s_05_01	489092.00	489092.00	2452.79	2452.79		

Asta n. 10 (110 -90) Sez. 1 s\_01\_01 Crit. 1

- 
- Verifica a taglio e torsione dir. Z [4.2.25] - CC 17 SLU Xl=0.00 - Classe 1  
Sollecitazioni: T=245231.00 Mx=230400.00  
V,Ed=245231.00 Vc,Rd,Red=226351000.00 V,Ed/Vc,Rd,Red=0.00
  - Verifica a presso o tenso-flessione retta YY (4.2.4.1.2.7) - CC 17 SLU Xl=0.00 - Classe 1  
Sollecitazioni: N=-5065470.00 T=245231.00 M=28503800.00 Mx=230400.00  
M,Ed=28503800.00 M,V,c,Rd=1313510000.00  
N,Ed=-5065470.00 Nc,Rd=-615944000.00 YY n=N,Ed/Nc,Rd=0.01 MN,c,Rd=1302710000.00 M,Ed/MN,c,Rd=0.02
  - Verifica di stabilità aste presso-inflesse (C4.2.4.1.3.3.2) - CC 17 SLU - Classe 1  
Sollecitazioni: N,Ed=-5065470.00 M,Ed=28503800.00 L=5.32  
αmy, αmz, αLT=0.95, ----, ----  
λ=2.18 Ncr=838222000000.00 λ\*=0.03  
Curva a: Φ=0.00 χ,min=1.00  
Kyy, Kyz, Kzy, Kzz=0.95, ----, ----, ----  
Verifica: 0.01+0.00=0.01

Asta n. 10 (-90 494) Sez. 1 s\_01\_01 Crit. 1

- 
- Verifica a taglio e torsione dir. Z [4.2.25] - CC 17 SLU Xl=0.00 - Classe 1  
Sollecitazioni: T=241197.00 Mx=230400.00  
V,Ed=241197.00 Vc,Rd,Red=226351000.00 V,Ed/Vc,Rd,Red=0.00
  - Verifica a presso o tenso-flessione retta YY (4.2.4.1.2.7) - CC 17 SLU Xl=0.00 - Classe 1  
Sollecitazioni: N=-4731680.00 T=241197.00 M=27203200.00 Mx=230400.00  
M,Ed=27203200.00 M,V,c,Rd=1313510000.00  
N,Ed=-4731680.00 Nc,Rd=-615944000.00 YY n=N,Ed/Nc,Rd=0.01 MN,c,Rd=1303420000.00 M,Ed/MN,c,Rd=0.02
  - Verifica di stabilità aste presso-inflesse (C4.2.4.1.3.3.2) - CC 17 SLU - Classe 1  
Sollecitazioni: N,Ed=-4731680.00 M,Ed=27203200.00 L=5.32  
αmy, αmz, αLT=0.95, ----, ----  
λ=2.18 Ncr=838223000000.00 λ\*=0.03  
Curva a: Φ=0.00 χ,min=1.00  
Kyy, Kyz, Kzy, Kzz=0.95, ----, ----, ----  
Verifica: 0.01+0.00=0.01

Asta n. 10 (494 -89) Sez. 2 s\_01\_02 Crit. 1

- 
- Verifica a taglio e torsione dir. Z [4.2.25] - CC 17 SLU Xl=0.00 - Classe 1  
Sollecitazioni: T=241197.00 Mx=230400.00  
V,Ed=241197.00 Vc,Rd,Red=215672000.00 V,Ed/Vc,Rd,Red=0.00
  - Verifica a presso o tenso-flessione retta YY (4.2.4.1.2.7) - CC 17 SLU Xl=0.00 - Classe 1  
Sollecitazioni: N=-4397880.00 T=241197.00 M=25924100.00 Mx=230400.00  
M,Ed=25924100.00 M,V,c,Rd=1193240000.00  
N,Ed=-4397880.00 Nc,Rd=-586897000.00 YY n=N,Ed/Nc,Rd=0.01 MN,c,Rd=1184300000.00 M,Ed/MN,c,Rd=0.02
  - Verifica di stabilità aste presso-inflesse (C4.2.4.1.3.3.2) - CC 17 SLU - Classe 1  
Sollecitazioni: N,Ed=-4397880.00 M,Ed=25924100.00 L=5.29  
αmy, αmz, αLT=0.95, ----, ----  
λ=2.28 Ncr=734657000000.00 λ\*=0.03  
Curva a: Φ=0.00 χ,min=1.00  
Kyy, Kyz, Kzy, Kzz=0.95, ----, ----, ----  
Verifica: 0.01+0.00=0.01

Asta n. 10 (-89 495) Sez. 2 s\_01\_02 Crit. 1

- 
- Verifica a taglio e torsione dir. Z [4.2.25] - CC 17 SLU Xl=0.00 - Classe 1  
Sollecitazioni: T=231127.00 Mx=230400.00

## Relazione di calcolo

- V,Ed=231127.00 Vc,Rd,Red=215672000.00 V,Ed/Vc,Rd,Red=0.00
- Verifica a presso o tenso-flessione retta YY (4.2.4.1.2.7) - CC 17 SLU Xl=0.00 - Classe 1  
Sollecitazioni: N=-4081620.00 T=231127.00 M=24652700.00 M<sub>x</sub>=230400.00  
M,Ed=24652700.00 M,V,c,Rd=1193240000.00  
N,Ed=-4081620.00 Nc,Rd=-586897000.00 YY n=N,Ed/Nc,Rd=0.01 MN,c,Rd=1184940000.00 M,Ed/MN,c,Rd=0.02
- Verifica di stabilità aste presso-inflesse (C4.2.4.1.3.3.2) - CC 17 SLU - Classe 1  
Sollecitazioni: N,Ed=-4081620.00 M,Ed=24652700.00 L=5.29  
α<sub>my</sub>, α<sub>mz</sub>, α<sub>LT</sub>=0.95, ----, ----  
λ=2.28 N<sub>cr</sub>=734657000000.00 λ\*=0.03  
Curva a: Φ=0.00 χ,min=1.00  
K<sub>yy</sub>, K<sub>yz</sub>, K<sub>zy</sub>, K<sub>zz</sub>=0.95, ----, ----, ----  
Verifica: 0.01+0.00=0.01
- Asta n. 10 (495 -88) Sez. 3 s\_01\_03 Crit. 1
- Verifica a taglio e torsione dir. Z [4.2.25] - CC 17 SLU Xl=0.00 - Classe 1  
Sollecitazioni: T=231127.00 M<sub>x</sub>=230400.00  
V,Ed=231127.00 Vc,Rd,Red=185217000.00 V,Ed/Vc,Rd,Red=0.00
- Verifica a presso o tenso-flessione retta YY (4.2.4.1.2.7) - CC 17 SLU Xl=0.00 - Classe 1  
Sollecitazioni: N=-3765360.00 T=231127.00 M=23434000.00 M<sub>x</sub>=230400.00  
M,Ed=23434000.00 M,V,c,Rd=989174000.00  
N,Ed=-3765360.00 Nc,Rd=-504046000.00 YY n=N,Ed/Nc,Rd=0.01 MN,c,Rd=981784000.00 M,Ed/MN,c,Rd=0.02
- Verifica di stabilità aste presso-inflesse (C4.2.4.1.3.3.2) - CC 17 SLU - Classe 1  
Sollecitazioni: N,Ed=-3765360.00 M,Ed=23434000.00 L=5.29  
α<sub>my</sub>, α<sub>mz</sub>, α<sub>LT</sub>=0.95, ----, ----  
λ=2.36 N<sub>cr</sub>=587298000000.00 λ\*=0.03  
Curva a: Φ=0.00 χ,min=1.00  
K<sub>yy</sub>, K<sub>yz</sub>, K<sub>zy</sub>, K<sub>zz</sub>=0.95, ----, ----, ----  
Verifica: 0.01+0.01=0.01
- Asta n. 10 (-88 496) Sez. 3 s\_01\_03 Crit. 1
- Verifica a taglio e torsione dir. Z [4.2.25] - CC 17 SLU Xl=0.00 - Classe 1  
Sollecitazioni: T=220123.00 M<sub>x</sub>=230400.00  
V,Ed=220123.00 Vc,Rd,Red=185217000.00 V,Ed/Vc,Rd,Red=0.00
- Verifica a presso o tenso-flessione retta YY (4.2.4.1.2.7) - CC 17 SLU Xl=0.00 - Classe 1  
Sollecitazioni: N=-3493740.00 T=220123.00 M=22215900.00 M<sub>x</sub>=230400.00  
M,Ed=22215900.00 M,V,c,Rd=989174000.00  
N,Ed=-3493740.00 Nc,Rd=-504046000.00 YY n=N,Ed/Nc,Rd=0.01 MN,c,Rd=982317000.00 M,Ed/MN,c,Rd=0.02
- Verifica di stabilità aste presso-inflesse (C4.2.4.1.3.3.2) - CC 17 SLU - Classe 1  
Sollecitazioni: N,Ed=-3493740.00 M,Ed=22215900.00 L=5.29  
α<sub>my</sub>, α<sub>mz</sub>, α<sub>LT</sub>=0.95, ----, ----  
λ=2.36 N<sub>cr</sub>=587298000000.00 λ\*=0.03  
Curva a: Φ=0.00 χ,min=1.00  
K<sub>yy</sub>, K<sub>yz</sub>, K<sub>zy</sub>, K<sub>zz</sub>=0.95, ----, ----, ----  
Verifica: 0.01+0.01=0.01
- Asta n. 10 (496 -87) Sez. 4 s\_01\_04 Crit. 1
- Verifica a taglio e torsione dir. Z [4.2.25] - CC 17 SLU Xl=0.00 - Classe 1  
Sollecitazioni: T=220123.00 M<sub>x</sub>=230400.00  
V,Ed=220123.00 Vc,Rd,Red=175723000.00 V,Ed/Vc,Rd,Red=0.00
- Verifica a presso o tenso-flessione retta YY (4.2.4.1.2.7) - CC 17 SLU Xl=0.00 - Classe 1  
Sollecitazioni: N=-3222130.00 T=220123.00 M=21055400.00 M<sub>x</sub>=230400.00  
M,Ed=21055400.00 M,V,c,Rd=890959000.00  
N,Ed=-3222130.00 Nc,Rd=-478226000.00 YY n=N,Ed/Nc,Rd=0.01 MN,c,Rd=884956000.00 M,Ed/MN,c,Rd=0.02
- Verifica di stabilità aste presso-inflesse (C4.2.4.1.3.3.2) - CC 17 SLU - Classe 1  
Sollecitazioni: N,Ed=-3222130.00 M,Ed=21055400.00 L=5.29  
α<sub>my</sub>, α<sub>mz</sub>, α<sub>LT</sub>=0.95, ----, ----  
λ=2.49 N<sub>cr</sub>=502476000000.00 λ\*=0.03  
Curva a: Φ=0.00 χ,min=1.00  
K<sub>yy</sub>, K<sub>yz</sub>, K<sub>zy</sub>, K<sub>zz</sub>=0.95, ----, ----, ----  
Verifica: 0.01+0.01=0.01
- Asta n. 10 (-87 497) Sez. 4 s\_01\_04 Crit. 1
- Verifica a taglio e torsione dir. Z [4.2.25] - CC 17 SLU Xl=0.00 - Classe 1  
Sollecitazioni: T=208757.00 M<sub>x</sub>=230400.00  
V,Ed=208757.00 Vc,Rd,Red=175723000.00 V,Ed/Vc,Rd,Red=0.00
- Verifica a presso o tenso-flessione retta YY (4.2.4.1.2.7) - CC 17 SLU Xl=0.00 - Classe 1  
Sollecitazioni: N=-2964430.00 T=208757.00 M=19895300.00 M<sub>x</sub>=230400.00

## Relazione di calcolo

M,Ed=19895300.00 M,V,c,Rd=890959000.00  
N,Ed=-2964430.00 Nc,Rd=-478226000.00 YY n=N,Ed/Nc,Rd=0.01 MN,c,Rd=885436000.00 M,Ed/MN,c,Rd=0.02

- Verifica di stabilità aste presso-inflesse (C4.2.4.1.3.3.2) - CC 17 SLU - Classe 1  
Sollecitazioni: N,Ed=-2964430.00 M,Ed=19895300.00 L=5.29  
amy, amz, aLT=0.95, ----, ----  
 $\lambda=2.49$  Ncr=502476000000.00  $\lambda^*=0.03$   
Curva a:  $\Phi=0.00$   $\chi_{min}=1.00$   
Kyy, Kyz, Kzy, Kzz=0.95, ----, ----, ----  
Verifica: 0.01+0.01=0.01

Asta n. 10 (497 -86) Sez. 5 s\_01\_05 Crit. 1

- Verifica a taglio e torsione dir. Z [4.2.25] - CC 17 SLU Xl=0.00 - Classe 1  
Sollecitazioni: T=208757.00 Mx=230400.00  
V,Ed=208757.00 Vc,Rd,Red=148076000.00 V,Ed/Vc,Rd,Red=0.00

- Verifica a presso o tenso-flessione retta YY (4.2.4.1.2.7) - CC 17 SLU Xl=0.00 - Classe 1  
Sollecitazioni: N=-2706730.00 T=208757.00 M=18794800.00 Mx=230400.00  
M,Ed=18794800.00 M,V,c,Rd=722382000.00  
N,Ed=-2706730.00 Nc,Rd=-403012000.00 YY n=N,Ed/Nc,Rd=0.01 MN,c,Rd=717530000.00 M,Ed/MN,c,Rd=0.03

- Verifica di stabilità aste presso-inflesse (C4.2.4.1.3.3.2) - CC 17 SLU - Classe 1  
Sollecitazioni: N,Ed=-2706730.00 M,Ed=18794800.00 L=5.29  
amy, amz, aLT=0.95, ----, ----  
 $\lambda=2.59$  Ncr=391572000000.00  $\lambda^*=0.03$   
Curva a:  $\Phi=0.00$   $\chi_{min}=1.00$   
Kyy, Kyz, Kzy, Kzz=0.95, ----, ----, ----  
Verifica: 0.01+0.01=0.01

Asta n. 10 (-86 498) Sez. 5 s\_01\_05 Crit. 1

- Verifica a taglio e torsione dir. Z [4.2.25] - CC 17 SLU Xl=0.00 - Classe 1  
Sollecitazioni: T=197320.00 Mx=230400.00  
V,Ed=197320.00 Vc,Rd,Red=148076000.00 V,Ed/Vc,Rd,Red=0.00

- Verifica a presso o tenso-flessione retta YY (4.2.4.1.2.7) - CC 17 SLU Xl=0.00 - Classe 1  
Sollecitazioni: N=-2489560.00 T=197320.00 M=17694700.00 Mx=230400.00  
M,Ed=17694700.00 M,V,c,Rd=722382000.00  
N,Ed=-2489560.00 Nc,Rd=-403012000.00 YY n=N,Ed/Nc,Rd=0.01 MN,c,Rd=717920000.00 M,Ed/MN,c,Rd=0.02

- Verifica di stabilità aste presso-inflesse (C4.2.4.1.3.3.2) - CC 17 SLU - Classe 1  
Sollecitazioni: N,Ed=-2489560.00 M,Ed=17694700.00 L=5.29  
amy, amz, aLT=0.95, ----, ----  
 $\lambda=2.59$  Ncr=391572000000.00  $\lambda^*=0.03$   
Curva a:  $\Phi=0.00$   $\chi_{min}=1.00$   
Kyy, Kyz, Kzy, Kzz=0.95, ----, ----, ----  
Verifica: 0.01+0.01=0.01

Asta n. 10 (498 -85) Sez. 6 s\_02\_01 Crit. 1

- Verifica a taglio e torsione dir. Z [4.2.25] - CC 17 SLU Xl=0.00 - Classe 1  
Sollecitazioni: T=197320.00 Mx=230400.00  
V,Ed=197320.00 Vc,Rd,Red=139768000.00 V,Ed/Vc,Rd,Red=0.00

- Verifica a presso o tenso-flessione retta YY (4.2.4.1.2.7) - CC 17 SLU Xl=0.00 - Classe 1  
Sollecitazioni: N=-2272380.00 T=197320.00 M=16654500.00 Mx=230400.00  
M,Ed=16654500.00 M,V,c,Rd=644049000.00  
N,Ed=-2272380.00 Nc,Rd=-380420000.00 YY n=N,Ed/Nc,Rd=0.01 MN,c,Rd=640202000.00 M,Ed/MN,c,Rd=0.03

- Verifica di stabilità aste presso-inflesse (C4.2.4.1.3.3.2) - CC 17 SLU - Classe 1  
Sollecitazioni: N,Ed=-2272380.00 M,Ed=16654500.00 L=5.32  
amy, amz, aLT=0.95, ----, ----  
 $\lambda=2.75$  Ncr=326221000000.00  $\lambda^*=0.03$   
Curva a:  $\Phi=0.00$   $\chi_{min}=1.00$   
Kyy, Kyz, Kzy, Kzz=0.95, ----, ----, ----  
Verifica: 0.01+0.01=0.01

Asta n. 10 (-85 502) Sez. 6 s\_02\_01 Crit. 1

- Verifica a taglio e torsione dir. Z [4.2.25] - CC 17 SLU Xl=0.00 - Classe 1  
Sollecitazioni: T=185988.00 Mx=230400.00  
V,Ed=185988.00 Vc,Rd,Red=139768000.00 V,Ed/Vc,Rd,Red=0.00

- Verifica a presso o tenso-flessione retta YY (4.2.4.1.2.7) - CC 17 SLU Xl=0.00 - Classe 1  
Sollecitazioni: N=-2066230.00 T=185988.00 M=15608800.00 Mx=230400.00  
M,Ed=15608800.00 M,V,c,Rd=644049000.00  
N,Ed=-2066230.00 Nc,Rd=-380420000.00 YY n=N,Ed/Nc,Rd=0.01 MN,c,Rd=640551000.00 M,Ed/MN,c,Rd=0.02

- Verifica di stabilità aste presso-inflesse (C4.2.4.1.3.3.2) - CC 17 SLU - Classe 1

## Relazione di calcolo

Sollecitazioni: N,Ed=-2066230.00 M,Ed=15608800.00 L=5.32  
α<sub>my</sub>, α <sub>mz</sub>, αLT=0.95, ----, ----  
λ=2.75 Ncr=326221000000.00 λ\*=0.03  
Curva a: Φ=0.00 χ,min=1.00  
K<sub>yy</sub>, K<sub>yz</sub>, K<sub>zy</sub>, K<sub>zz</sub>=0.95, ----, ----, ----  
Verifica: 0.01+0.01=0.01

Asta n. 10 (502 -84) Sez. 7 s\_02\_02 Crit. 1  
-----  
- Verifica a taglio e torsione dir. Z [4.2.25] - CC 17 SLU Xl=0.00 - Classe 1  
Sollecitazioni: T=185988.00 M<sub>x</sub>=230400.00  
V,Ed=185988.00 Vc,Rd,Red=114839000.00 V,Ed/Vc,Rd,Red=0.00

- Verifica a presso o tenso-flessione retta YY (4.2.4.1.2.7) - CC 17 SLU Xl=0.00 - Classe 1  
Sollecitazioni: N=-1860070.00 T=185988.00 M=14622700.00 M<sub>x</sub>=230400.00  
M,Ed=14622700.00 M,V,c,Rd=506808000.00  
N,Ed=-1860070.00 Nc,Rd=-312603000.00 YY n=N,Ed/Nc,Rd=0.01 MN,c,Rd=503793000.00 M,Ed/MN,c,Rd=0.03

- Verifica di stabilità aste presso-inflesse (C4.2.4.1.3.3.2) - CC 17 SLU - Classe 1  
Sollecitazioni: N,Ed=-1860070.00 M,Ed=14622700.00 L=5.29  
α<sub>my</sub>, α <sub>mz</sub>, αLT=0.95, ----, ----  
λ=2.86 Ncr=248357000000.00 λ\*=0.04  
Curva a: Φ=0.00 χ,min=1.00  
K<sub>yy</sub>, K<sub>yz</sub>, K<sub>zy</sub>, K<sub>zz</sub>=0.95, ----, ----, ----  
Verifica: 0.01+0.01=0.01

Asta n. 10 (-84 501) Sez. 7 s\_02\_02 Crit. 1  
-----  
- Verifica a taglio e torsione dir. Z [4.2.25] - CC 17 SLU Xl=0.00 - Classe 1  
Sollecitazioni: T=174889.00 M<sub>x</sub>=230400.00  
V,Ed=174889.00 Vc,Rd,Red=114839000.00 V,Ed/Vc,Rd,Red=0.00

- Verifica a presso o tenso-flessione retta YY (4.2.4.1.2.7) - CC 17 SLU Xl=0.00 - Classe 1  
Sollecitazioni: N=-1691610.00 T=174889.00 M=13642600.00 M<sub>x</sub>=230400.00  
M,Ed=13642600.00 M,V,c,Rd=506808000.00  
N,Ed=-1691610.00 Nc,Rd=-312603000.00 YY n=N,Ed/Nc,Rd=0.01 MN,c,Rd=504066000.00 M,Ed/MN,c,Rd=0.03

- Verifica di stabilità aste presso-inflesse (C4.2.4.1.3.3.2) - CC 17 SLU - Classe 1  
Sollecitazioni: N,Ed=-1691610.00 M,Ed=13642600.00 L=5.29  
α<sub>my</sub>, α <sub>mz</sub>, αLT=0.95, ----, ----  
λ=2.86 Ncr=248357000000.00 λ\*=0.04  
Curva a: Φ=0.00 χ,min=1.00  
K<sub>yy</sub>, K<sub>yz</sub>, K<sub>zy</sub>, K<sub>zz</sub>=0.95, ----, ----, ----  
Verifica: 0.01+0.01=0.01

Asta n. 10 (501 -83) Sez. 8 s\_02\_03 Crit. 1  
-----  
- Verifica a taglio e torsione dir. Z [4.2.25] - CC 17 SLU Xl=0.00 - Classe 1  
Sollecitazioni: T=174889.00 M<sub>x</sub>=230400.00  
V,Ed=174889.00 Vc,Rd,Red=107717000.00 V,Ed/Vc,Rd,Red=0.00

- Verifica a presso o tenso-flessione retta YY (4.2.4.1.2.7) - CC 17 SLU Xl=0.00 - Classe 1  
Sollecitazioni: N=-1523160.00 T=174889.00 M=12720500.00 M<sub>x</sub>=230400.00  
M,Ed=12720500.00 M,V,c,Rd=446232000.00  
N,Ed=-1523160.00 Nc,Rd=-293238000.00 YY n=N,Ed/Nc,Rd=0.01 MN,c,Rd=443914000.00 M,Ed/MN,c,Rd=0.03

- Verifica di stabilità aste presso-inflesse (C4.2.4.1.3.3.2) - CC 17 SLU - Classe 1  
Sollecitazioni: N,Ed=-1523160.00 M,Ed=12720500.00 L=5.29  
α<sub>my</sub>, α <sub>mz</sub>, αLT=0.95, ----, ----  
λ=3.05 Ncr=205370000000.00 λ\*=0.04  
Curva a: Φ=0.00 χ,min=1.00  
K<sub>yy</sub>, K<sub>yz</sub>, K<sub>zy</sub>, K<sub>zz</sub>=0.95, ----, ----, ----  
Verifica: 0.01+0.01=0.01

Asta n. 10 (-83 500) Sez. 8 s\_02\_03 Crit. 1  
-----  
- Verifica a taglio e torsione dir. Z [4.2.25] - CC 17 SLU Xl=0.00 - Classe 1  
Sollecitazioni: T=164123.00 M<sub>x</sub>=230400.00  
V,Ed=164123.00 Vc,Rd,Red=107717000.00 V,Ed/Vc,Rd,Red=0.00

- Verifica a presso o tenso-flessione retta YY (4.2.4.1.2.7) - CC 17 SLU Xl=0.00 - Classe 1  
Sollecitazioni: N=-1365150.00 T=164123.00 M=11798900.00 M<sub>x</sub>=230400.00  
M,Ed=11798900.00 M,V,c,Rd=446232000.00  
N,Ed=-1365150.00 Nc,Rd=-293238000.00 YY n=N,Ed/Nc,Rd=0.00 MN,c,Rd=444154000.00 M,Ed/MN,c,Rd=0.03

- Verifica di stabilità aste presso-inflesse (C4.2.4.1.3.3.2) - CC 17 SLU - Classe 1  
Sollecitazioni: N,Ed=-1365150.00 M,Ed=11798900.00 L=5.29  
α<sub>my</sub>, α <sub>mz</sub>, αLT=0.95, ----, ----  
λ=3.05 Ncr=205370000000.00 λ\*=0.04

## Relazione di calcolo

Curva a:  $\Phi=0.00 \chi_{min}=1.00$   
Kyy, Kyz, Kzy, Kzz=0.95, ----, ----, ----  
Verifica: 0.00+0.01=0.01

Asta n. 10 (500 -82) Sez. 9 s\_02\_04 Crit. 1

- Verifica a taglio e torsione dir. Z [4.2.25] - CC 17 SLU Xl=0.00 - Classe 1  
Sollecitazioni: T=164123.00 Mx=230400.00  
V,Ed=164123.00 Vc,Rd,Red=85624400.00 V,Ed/Vc,Rd,Red=0.00

- Verifica a presso o tenso-flessione retta YY (4.2.4.1.2.7) - CC 17 SLU Xl=0.00 - Classe 1  
Sollecitazioni: N=-1207130.00 T=164123.00 M=10933500.00 Mx=230400.00  
M,Ed=10933500.00 M,V,c,Rd=338076000.00  
N,Ed=-1207130.00 Nc,Rd=-233139000.00 YY n=N,Ed/Nc,Rd=0.01 MN,c,Rd=336325000.00 M,Ed/MN,c,Rd=0.03

- Verifica di stabilità aste presso-inflesse (C4.2.4.1.3.3.2) - CC 17 SLU - Classe 1  
Sollecitazioni: N,Ed=-1207130.00 M,Ed=10933500.00 L=5.29  
amy, amz, aLT=0.95, ----, ----  
 $\lambda=3.20$  Ncr=148096000000.00  $\lambda^*=0.04$   
Curva a:  $\Phi=0.00 \chi_{min}=1.00$   
Kyy, Kyz, Kzy, Kzz=0.95, ----, ----, ----  
Verifica: 0.01+0.01=0.01

Asta n. 10 (-82 499) Sez. 9 s\_02\_04 Crit. 1

- Verifica a taglio e torsione dir. Z [4.2.25] - CC 17 SLU Xl=0.00 - Classe 1  
Sollecitazioni: T=153762.00 Mx=230400.00  
V,Ed=153762.00 Vc,Rd,Red=85624400.00 V,Ed/Vc,Rd,Red=0.00

- Verifica a presso o tenso-flessione retta YY (4.2.4.1.2.7) - CC 17 SLU Xl=0.00 - Classe 1  
Sollecitazioni: N=-1081500.00 T=153762.00 M=10068500.00 Mx=230400.00  
M,Ed=10068500.00 M,V,c,Rd=338076000.00  
N,Ed=-1081500.00 Nc,Rd=-233139000.00 YY n=N,Ed/Nc,Rd=0.00 MN,c,Rd=336507000.00 M,Ed/MN,c,Rd=0.03

- Verifica di stabilità aste presso-inflesse (C4.2.4.1.3.3.2) - CC 17 SLU - Classe 1  
Sollecitazioni: N,Ed=-1081500.00 M,Ed=10068500.00 L=5.29  
amy, amz, aLT=0.95, ----, ----  
 $\lambda=3.20$  Ncr=148096000000.00  $\lambda^*=0.04$   
Curva a:  $\Phi=0.00 \chi_{min}=1.00$   
Kyy, Kyz, Kzy, Kzz=0.95, ----, ----, ----  
Verifica: 0.00+0.01=0.01

Asta n. 10 (499 -81) Sez. 10 s\_02\_05 Crit. 1

- Verifica a taglio e torsione dir. Z [4.2.25] - CC 17 SLU Xl=0.00 - Classe 1  
Sollecitazioni: T=153762.00 Mx=230400.00  
V,Ed=153762.00 Vc,Rd,Red=79687300.00 V,Ed/Vc,Rd,Red=0.00

- Verifica a presso o tenso-flessione retta YY (4.2.4.1.2.7) - CC 17 SLU Xl=0.00 - Classe 1  
Sollecitazioni: N=-955865.00 T=153762.00 M=9257610.00 Mx=230400.00  
M,Ed=9257610.00 M,V,c,Rd=293067000.00  
N,Ed=-955865.00 Nc,Rd=-217002000.00 YY n=N,Ed/Nc,Rd=0.00 MN,c,Rd=291776000.00 M,Ed/MN,c,Rd=0.03

- Verifica di stabilità aste presso-inflesse (C4.2.4.1.3.3.2) - CC 17 SLU - Classe 1  
Sollecitazioni: N,Ed=-955865.00 M,Ed=9257610.00 L=5.29  
amy, amz, aLT=0.95, ----, ----  
 $\lambda=3.43$  Ncr=119634000000.00  $\lambda^*=0.04$   
Curva a:  $\Phi=0.00 \chi_{min}=1.00$   
Kyy, Kyz, Kzy, Kzz=0.95, ----, ----, ----  
Verifica: 0.00+0.01=0.01

Asta n. 10 (-81 503) Sez. 10 s\_02\_05 Crit. 1

- Verifica a taglio e torsione dir. Z [4.2.25] - CC 17 SLU Xl=0.00 - Classe 1  
Sollecitazioni: T=143867.00 Mx=230400.00  
V,Ed=143867.00 Vc,Rd,Red=79687300.00 V,Ed/Vc,Rd,Red=0.00

- Verifica a presso o tenso-flessione retta YY (4.2.4.1.2.7) - CC 17 SLU Xl=0.00 - Classe 1  
Sollecitazioni: N=-838929.00 T=143867.00 M=8447170.00 Mx=230400.00  
M,Ed=8447170.00 M,V,c,Rd=293067000.00  
N,Ed=-838929.00 Nc,Rd=-217002000.00 YY n=N,Ed/Nc,Rd=0.00 MN,c,Rd=291934000.00 M,Ed/MN,c,Rd=0.03

- Verifica di stabilità aste presso-inflesse (C4.2.4.1.3.3.2) - CC 17 SLU - Classe 1  
Sollecitazioni: N,Ed=-838929.00 M,Ed=8447170.00 L=5.29  
amy, amz, aLT=0.95, ----, ----  
 $\lambda=3.43$  Ncr=119634000000.00  $\lambda^*=0.04$   
Curva a:  $\Phi=0.00 \chi_{min}=1.00$   
Kyy, Kyz, Kzy, Kzz=0.95, ----, ----, ----  
Verifica: 0.00+0.01=0.01

## Relazione di calcolo

Asta n. 10 (503 -80) Sez. 11 s\_03 Crit. 1

Asta n. 10 (-80 504) Sez. 11 s\_03 Crit. 1

Asta n. 10 (504 -79) Sez. 11 s\_03 Crit. 1

Asta n. 10 (-79 505) Sez. 11 s\_03 Crit. 1

Asta n. 10 (505 -78) Sez. 19 s\_04 Crit. 1

Asta n. 10 (-78 506) Sez. 19 s\_04 Crit. 1

Asta n. 10 (506 -77) Sez. 19 s\_04 Crit. 1

Asta n. 10 (-77 507) Sez. 19 s\_04 Crit. 1

Asta n. 10 (507 -76) Sez. 29 s\_05\_01 Crit. 1

Asta n. 10 (-76 508) Sez. 29 s\_05\_01 Crit. 1

Asta n. 10 (508 -75) Sez. 29 s\_05\_01 Crit. 1

Asta n. 10 (-75 509) Sez. 29 s\_05\_01 Crit. 1

## Sintesi

Tipo di normativa: stati limite D.M. 18

Tipo di calcolo: analisi sismica statica

### Dati generali della struttura

- Sito di costruzione: Unnamed Road, 72027 San Pietro Vernotico BR, Italia LON. 17.97810 LAT. 40.52350  
Contenuto tra ID reticolo: 34145 34367 34146 34368

### Pericolosità sismica di base

#### Simbologia

TCC = Tipo di combinazione di carico

SLU = Stato limite ultimo

SLU S = Stato limite ultimo (azione sismica)

SLE R = Stato limite d'esercizio, combinazione rara

SLE F = Stato limite d'esercizio, combinazione frequente

SLE Q = Stato limite d'esercizio, combinazione quasi permanente

SLD = Stato limite di danno

SLV = Stato limite di salvaguardia della vita

SLC = Stato limite di prevenzione del collasso

SLO = Stato limite di operatività

SLU I = Stato limite di resistenza al fuoco

SND = Stato limite di salvaguardia della vita (non dissipativo)

T<sub>R</sub> = Periodo di ritorno <anni>

Ag = Accelerazione orizzontale massima al sito

Fo = Valore massimo del fattore di amplificazione dello spettro in accelerazione orizzontale

FV = Valore massimo del fattore di amplificazione dello spettro in accelerazione verticale

Tc\* = Periodo di inizio del tratto a velocità costante dello spettro in accelerazione orizzontale <sec>

S<sub>s</sub> = Coefficiente di amplificazione stratigrafica

C<sub>c</sub> = Coefficiente funzione della categoria del suolo

S = Coefficiente di amplificazione stratigrafica e topografica

TC = Periodo corrispondente all'inizio del tratto dello spettro a velocità costante

TB = Periodo corrispondente all'inizio del tratto dello spettro ad accelerazione costante

TD = Periodo corrispondente all'inizio del tratto dello spettro a spostamento costante

TCC	T <sub>R</sub>	Ag <g>	Fo	FV	Tc*	S <sub>s</sub>	C <sub>c</sub>	S	TC	TB	TD
SLD	201	0.0340	2.42	0.60	0.37	1.20	1.34	1.20	0.50	0.17	1.74
SLV	1898	0.0682	2.66	0.94	0.54	1.20	1.24	1.20	0.68	0.23	1.87

- Edificio esistente: No

- Tipo di opera: Opera ordinaria

- Vita nominale V<sub>N</sub>: 100.00

## Relazione di calcolo

- Classe d'uso: Classe IV
- Coefficiente d'uso CU: 2.00
- Periodo di riferimento VR: 200.00

### Dati di progetto

- Categoria del suolo di fondazione: B
- Tipologia strutturale: acciaio a mensola o a pendolo inverso

Periodo T <sub>1</sub>	4.00011
Coeff. λ SLD	1.00
Coeff. λ SLV	1.00
Rapporto di sovraresistenza ( $\alpha_u/\alpha_1$ )	1.00
Valore di riferimento del fattore di comportamento ( $q_0$ )	2.00
Fattore riduttivo ( $K_w$ )	1.00
Fattore riduttivo regolarità in altezza (KR)	1.00
Fattore di comportamento dissipativo (q)	2.00
Fattore di comportamento non dissipativo (qND)	1.33
Fattore di comportamento per SLD (qD)	1.33

- Categoria topografica: T1 - Superficie pianeggiante, pendii e rilievi isolati con inclinazione media  $i \leq 15^\circ$
- Coeff. amplificazione topografica S<sub>T</sub>: 1.00
- Accelerazione di picco del terreno AgS: 0.0818 <g>
- Quota di riferimento: 0.00 <m>
- Quota max della struttura: 169.90 <m>
- Altezza della struttura: 169.90 <m>
- Numero piani edificio: 0
- Coefficiente θ: 0.00
- Edificio regolare in altezza: Sì
- Edificio regolare in pianta: Sì
- Struttura dissipativa: Sì
- Classe di duttilità: Classe B
- Fattore di comportamento per sisma verticale (qv): 1.50
- Smorzamento spettro: 5.00%

Spettro SLD.TXT :

```
0.0000 0.4000
0.0500 0.4981
0.1000 0.5962
0.1500 0.6944
0.1665 0.7268
0.2000 0.7268
0.2500 0.7268
0.3000 0.7268
0.3500 0.7268
0.4000 0.7268
0.4500 0.7268
0.4996 0.7268
0.5000 0.7261
0.5500 0.6601
0.6000 0.6051
0.6500 0.5586
0.7000 0.5187
0.7500 0.4841
0.8000 0.4538
0.8500 0.4271
0.9000 0.4034
0.9500 0.3822
1.0000 0.3631
1.0500 0.3458
1.1000 0.3301
1.1500 0.3157
1.2000 0.3026
1.2500 0.2905
1.3000 0.2793
1.3500 0.2689
1.4000 0.2593
1.4500 0.2504
1.5000 0.2420
1.5500 0.2342
1.6000 0.2269
1.6500 0.2200
1.7000 0.2136
1.7359 0.2092
1.7500 0.2058
1.8000 0.1945
1.8500 0.1842
1.9000 0.1746
1.9500 0.1657
```

## Relazione di calcolo

---

2.0000 0.1576  
2.0500 0.1500  
2.1000 0.1429  
2.1500 0.1363  
2.2000 0.1302  
2.2500 0.1245  
2.3000 0.1191  
2.3500 0.1141  
2.4000 0.1094  
2.4500 0.1050  
2.5000 0.1008  
2.5500 0.0969  
2.6000 0.0932  
2.6500 0.0897  
2.7000 0.0865  
2.7500 0.0833  
2.8000 0.0804  
2.8500 0.0776  
2.9000 0.0749  
2.9500 0.0724  
3.0000 0.0700  
3.0500 0.0678  
3.1000 0.0667  
3.1500 0.0667  
3.2000 0.0667  
3.2500 0.0667  
3.3000 0.0667  
3.3500 0.0667  
3.4000 0.0667  
3.4500 0.0667  
3.5000 0.0667  
3.5500 0.0667  
3.6000 0.0667  
3.6500 0.0667  
3.7000 0.0667  
3.7500 0.0667  
3.8000 0.0667  
3.8500 0.0667  
3.9000 0.0667  
3.9500 0.0667  
4.0000 0.0667

Spettro SLV.TXT :

0.0000 0.8029  
0.0500 0.8614  
0.1000 0.9199  
0.1500 0.9784  
0.2000 1.0369  
0.2254 1.0666  
0.2500 1.0666  
0.3000 1.0666  
0.3500 1.0666  
0.4000 1.0666  
0.4500 1.0666  
0.5000 1.0666  
0.5500 1.0666  
0.6000 1.0666  
0.6500 1.0666  
0.6763 1.0666  
0.7000 1.0306  
0.7500 0.9619  
0.8000 0.9018  
0.8500 0.8487  
0.9000 0.8016  
0.9500 0.7594  
1.0000 0.7214  
1.0500 0.6870  
1.1000 0.6558  
1.1500 0.6273  
1.2000 0.6012  
1.2500 0.5771  
1.3000 0.5549  
1.3500 0.5344  
1.4000 0.5153  
1.4500 0.4975  
1.5000 0.4809  
1.5500 0.4654  
1.6000 0.4509  
1.6500 0.4372  
1.7000 0.4244  
1.7500 0.4122

## Relazione di calcolo

---

1.8000 0.4008  
1.8500 0.3899  
1.8728 0.3852  
1.9000 0.3743  
1.9500 0.3553  
2.0000 0.3378  
2.0500 0.3215  
2.1000 0.3064  
2.1500 0.2923  
2.2000 0.2791  
2.2500 0.2669  
2.3000 0.2554  
2.3500 0.2446  
2.4000 0.2346  
2.4500 0.2251  
2.5000 0.2162  
2.5500 0.2078  
2.6000 0.1999  
2.6500 0.1924  
2.7000 0.1853  
2.7500 0.1787  
2.8000 0.1723  
2.8500 0.1663  
2.9000 0.1606  
2.9500 0.1552  
3.0000 0.1501  
3.0500 0.1452  
3.1000 0.1406  
3.1500 0.1362  
3.2000 0.1338  
3.2500 0.1338  
3.3000 0.1338  
3.3500 0.1338  
3.4000 0.1338  
3.4500 0.1338  
3.5000 0.1338  
3.5500 0.1338  
3.6000 0.1338  
3.6500 0.1338  
3.7000 0.1338  
3.7500 0.1338  
3.8000 0.1338  
3.8500 0.1338  
3.9000 0.1338  
3.9500 0.1338  
4.0000 0.1338

Spettro SND.TXT :

0.0000 0.8029  
0.0500 0.9797  
0.1000 1.1565  
0.1500 1.3332  
0.2000 1.5100  
0.2254 1.5999  
0.2500 1.5999  
0.3000 1.5999  
0.3500 1.5999  
0.4000 1.5999  
0.4500 1.5999  
0.5000 1.5999  
0.5500 1.5999  
0.6000 1.5999  
0.6500 1.5999  
0.6763 1.5999  
0.7000 1.5459  
0.7500 1.4428  
0.8000 1.3526  
0.8500 1.2731  
0.9000 1.2023  
0.9500 1.1391  
1.0000 1.0821  
1.0500 1.0306  
1.1000 0.9837  
1.1500 0.9410  
1.2000 0.9018  
1.2500 0.8657  
1.3000 0.8324  
1.3500 0.8016  
1.4000 0.7729  
1.4500 0.7463  
1.5000 0.7214

## Relazione di calcolo

---

1.5500 0.6981  
 1.6000 0.6763  
 1.6500 0.6558  
 1.7000 0.6365  
 1.7500 0.6183  
 1.8000 0.6012  
 1.8500 0.5849  
 1.8728 0.5778  
 1.9000 0.5614  
 1.9500 0.5330  
 2.0000 0.5066  
 2.0500 0.4822  
 2.1000 0.4595  
 2.1500 0.4384  
 2.2000 0.4187  
 2.2500 0.4003  
 2.3000 0.3831  
 2.3500 0.3670  
 2.4000 0.3518  
 2.4500 0.3376  
 2.5000 0.3243  
 2.5500 0.3117  
 2.6000 0.2998  
 2.6500 0.2886  
 2.7000 0.2780  
 2.7500 0.2680  
 2.8000 0.2585  
 2.8500 0.2495  
 2.9000 0.2410  
 2.9500 0.2329  
 3.0000 0.2252  
 3.0500 0.2179  
 3.1000 0.2109  
 3.1500 0.2042  
 3.2000 0.1979  
 3.2500 0.1919  
 3.3000 0.1861  
 3.3500 0.1806  
 3.4000 0.1753  
 3.4500 0.1703  
 3.5000 0.1654  
 3.5500 0.1608  
 3.6000 0.1564  
 3.6500 0.1521  
 3.7000 0.1480  
 3.7500 0.1441  
 3.8000 0.1403  
 3.8500 0.1367  
 3.9000 0.1338  
 3.9500 0.1338  
 4.0000 0.1338

### Condizioni di carico elementari

#### Simbologia

CCE = Numero della condizione di carico elementare  
 Comm. = Commento  
 Tipo CCE = Tipo di CCE per calcolo agli stati limite  
 Sic. = Contributo alla sicurezza  
     F = a favore  
     S = a sfavore  
     A = ambigua  
 Var. = Tipo di variabilità  
     B = di base  
     I = indipendente  
     A = ambigua  
 s = Coeff. di riduzione (T.A. o S.L. D.M. 96)  
 Dir. = Direzione del vento  
 Tipo = Tipologia di pressione vento  
     M = Massimizzata  
     E = Esterna  
     I = Interna  
 Mx = Moltiplicatore della massa in dir. X  
 My = Moltiplicatore della massa in dir. Y  
 Mz = Moltiplicatore della massa in dir. Z  
 Jpx = Moltiplicatore del momento d'inerzia intorno all'asse X  
 Jpy = Moltiplicatore del momento d'inerzia intorno all'asse Y  
 Jpz = Moltiplicatore del momento d'inerzia intorno all'asse Z

CCE	Comm.	Tipo CCE	Sic.	Var.	s	Dir. <grad>	Tipo	Mx	My	Mz	Jpx	Jpy	Jpz
1	peso proprio struttura		1S	--	1.00	--	--	1.00	1.00	0.00	0.00	0.00	1.00

## Relazione di calcolo

2 <peso navicella<="" td=""><td>2S</td><td>--</td><td>1.00</td><td>--</td><td>--</td><td>1.00</td><td>1.00</td><td>0.00</td><td>0.00</td><td>0.00</td><td>1.00</td></peso>	2S	--	1.00	--	--	1.00	1.00	0.00	0.00	0.00	1.00
3 <vento navicella<="" td=""><td>10S</td><td>B</td><td>1.00</td><td>--</td><td>--</td><td>1.00</td><td>1.00</td><td>0.00</td><td>0.00</td><td>0.00</td><td>1.00</td></vento>	10S	B	1.00	--	--	1.00	1.00	0.00	0.00	0.00	1.00
4 <vento td="" torre<=""><td>10S</td><td>B</td><td>1.00</td><td>--</td><td>--</td><td>1.00</td><td>1.00</td><td>0.00</td><td>0.00</td><td>0.00</td><td>1.00</td></vento>	10S	B	1.00	--	--	1.00	1.00	0.00	0.00	0.00	1.00
5 <neve navicella<="" td=""><td>11S</td><td>B</td><td>1.00</td><td>--</td><td>--</td><td>1.00</td><td>1.00</td><td>0.00</td><td>0.00</td><td>0.00</td><td>1.00</td></neve>	11S	B	1.00	--	--	1.00	1.00	0.00	0.00	0.00	1.00
6 <zavorra< td=""><td>1S</td><td>--</td><td>1.00</td><td>--</td><td>--</td><td>1.00</td><td>1.00</td><td>0.00</td><td>0.00</td><td>0.00</td><td>1.00</td></zavorra<>	1S	--	1.00	--	--	1.00	1.00	0.00	0.00	0.00	1.00

### Elenco masse nodi

#### Simbologia

Nodo = Numero del nodo  
Mo = Massa orizzontale

Nodo	Mo <kg>												
-90	261739.00	-89	247989.00	-88	212981.00	-87	202071.00	-86	170290.00	-85	161655.00	-84	132088.00
-83	123906.00	-82	98511.40	-81	91692.60	-80	19030.40	-79	19030.40	-78	17054.80	-77	17054.80
-76	16440.40	-75	16440.40	-74	2560.65	-73	2560.65	-72	2560.65	-71	2560.65	-70	2560.65
-69	2560.65	-68	2560.65	-67	2560.65	-66	2560.65	-65	2560.65	-64	2560.65	-63	2560.65
-62	2560.65	-61	2560.65	-60	2560.65	-59	2560.65	-58	2560.65	-57	2560.65	-56	2560.65
-19	2560.65	110	174081.00	111	43211.00	494	254864.00	495	230485.00	496	207526.00	497	186181.00
498	165973.00	499	95102.00	500	111209.00	501	127997.00	502	146872.00	503	55361.50	504	19030.30
505	18042.60	506	17054.80	507	16747.60	508	16440.40	509	314031.00				

### Totali masse nodi

Mo <kg>
4059390.00

### Materiali

#### Cemento armato

Elenco dei criteri di progetto e delle loro principali caratteristiche meccaniche utilizzate:  
Plinti/Pali: 1

#### Calcestruzzo

Tipo di calcestruzzo: C28/35  
Rck calcestruzzo (Rck calcestruzzo) <daN/cmq>: 350.00  
Resistenza caratteristica cilindrica a compressione del calcestruzzo (Fck) <daN/cmq>: 290.50  
Resistenza caratteristica a trazione del calcestruzzo (Fctk) <daN/cmq>: 19.84  
 $\alpha_{cc}$ : 0.85  
 $\gamma_c$ : 1.50  
Resistenza di calcolo a compressione del calcestruzzo (Fcd) <daN/cmq>: 164.62  
Resistenza di calcolo a trazione del calcestruzzo (Fctd) <daN/cmq>: 13.23

#### Acciaio

Tipo di acciaio: B450C  
Tensione caratteristica di snervamento dell'acciaio (Fy<sub>k</sub>) <daN/cmq>: 4500.00  
 $\gamma_s$ : 1.15  
Resistenza di calcolo dell'acciaio (Fy<sub>d</sub>) <daN/cmq>: 3913.04

#### Acciaio

Elenco dei criteri di progetto e delle loro principali caratteristiche meccaniche utilizzate:  
Aste in acciaio: 1

Tipo di acciaio a sezione aperta: S355H UNI EN 10210-1  
Tensione caratteristica di snervamento dell'acciaio (Fy<sub>k</sub>) <daN/cmq>: 3350.00  
Tensione caratteristica di rottura (Fy<sub>t</sub>) <daN/cmq>: 4900.00  
Modulo elastico (E) <daN/cmq>: 300000.00  
Modulo elastico tangenziale (G) <daN/cmq>: 130000.00

#### Collegamenti e reticolari in acciaio

Elenco dei criteri di progetto e delle loro principali caratteristiche meccaniche utilizzate:  
Nodi in acciaio: 1 Piastre di fondazione

Nodi in acciaio: 2 Flangie di elevazione

Classe bulloni: 6.8  
Classe Saldature: SECONDA

#### Prove in situ

#### Elenco colonne stratigrafiche

#### Simbologia

St. = Strato

## Relazione di calcolo

<b>z</b>	= Profondità della superficie superiore dello strato
<b>Spess.</b>	= Spessore
<b>Unità geotecnica</b>	= Unità geotecnica
<b>Class.</b>	= Classificazione
Coes.	= Coesivo
Inc.	= Incoerente
Roc.	= Roccia
N. c.	= Non classificato
<b><math>\gamma</math></b>	= Peso specifico del terreno naturale
$\gamma_{\text{sat}}$	= Peso specifico del terreno saturo
$\phi'$	= Angolo di attrito efficace
$c'$	= Coesione efficace
$c_u$	= Coesione non drenata
<b>E</b>	= Modulo elastico normale
<b>G</b>	= Modulo elastico tangenziale
<b><math>E_{\text{ed}}</math></b>	= Modulo edometrico

Colonna stratigrafica numero 1 str\_01

<b>St.</b>	<b>z</b> <b>&lt;m&gt;</b>	<b>Spess.</b> <b>&lt;cm&gt;</b>	<b>Unità geotecnica</b>	<b>Class.</b>	<b><math>\gamma</math></b> <b>&lt;daN/mc&gt;</b>	$\gamma_{\text{sat}}$ <b>&lt;daN/mc&gt;</b>	$\phi'$ <b>&lt;grad&gt;</b>	$c'$ <b>&lt;daN/mq&gt;</b>	$c_u$ <b>&lt;daN/mq&gt;</b>	<b>E</b> <b>&lt;daN/mq&gt;</b>	<b>G</b> <b>&lt;daN/mq&gt;</b>	<b><math>E_{\text{ed}}</math></b> <b>&lt;daN/mq&gt;</b>
1	0.00	4.80	1 Sabbie limose	Inc.	1900.00	2200.00	27.00	15000.00		49200000.00	18200000.00	36400000.00
2	4.80--		2 limo argilloso sabbioso	Inc.	2000.00	2300.00	24.00	5000.00		146300000.00	60958300.00	162556000.00

**Le verifiche degli elementi di fondazione sono state effettuate utilizzando l'approccio 2 - Combinazione 1.**

Coefficienti parziali per le azioni, per verifiche in condizioni statiche:

Permanenti strutturali, sicurezza a favore  $\gamma_A = 1.00$ ;

Permanenti strutturali, sicurezza a sfavore  $\gamma_A = 1.30$ ;

Permanenti non strutturali, sicurezza a favore  $\gamma_A = 0.00$ ;

Permanenti non strutturali, sicurezza a sfavore  $\gamma_A = 1.50$ ;

Variabili, sicurezza a favore  $\gamma_A = 0.00$ ;

Variabili, sicurezza a sfavore  $\gamma_A = 1.50$ .

I coefficienti parziali per le azioni sono posti pari all'unità per le verifiche in condizioni sismiche.

Tali coefficienti sono comunque desumibili dalla tabella delle combinazioni delle CCE (Parametri di calcolo).

Coefficienti parziali per i parametri geotecnici:

Tangente dell'angolo di attrito  $\gamma_M = 1.00$ ;

Coesione efficace  $\gamma_M = 1.00$ ;

Coesione non drenata  $\gamma_M = 1.00$ ;

Coefficienti parziali per la resistenza delle fondazioni superficiali:

Capacità portante  $\gamma_R = 2.30$ ;

Scorrimento  $\gamma_R = 1.10$ ;

Coefficienti parziali per la resistenza delle fondazioni profonde:

Per pali infissi:

Resistenza alla base  $\gamma_{R,b} = 1.15$ ;

Resistenza laterale in compressione  $\gamma_{R,s} = 1.15$ ;

Resistenza laterale in trazione  $\gamma_{R,t} = 1.25$ ;

Per pali trivellati:

Resistenza alla base  $\gamma_{R,b} = 1.35$ ;

Resistenza laterale in compressione  $\gamma_{R,s} = 1.15$ ;

Resistenza laterale in trazione  $\gamma_{R,t} = 1.25$ ;

Per pali ad elica continua:

Resistenza alla base  $\gamma_{R,b} = 1.30$ ;

Resistenza laterale in compressione  $\gamma_{R,s} = 1.15$ ;

Resistenza laterale in trazione  $\gamma_{R,t} = 1.25$ ;

Fattore di correlazione per la determinazione della resistenza caratteristica desumibile dai criteri di progetto.

### Minimo coefficiente di sicurezza

#### Simbologia

Elem. = Elemento

CC = Numero della combinazione delle condizioni di carico elementari

TCC = Tipo di combinazione di carico

SLU = Stato limite ultimo

SLU S = Stato limite ultimo (azione sismica)

SLE R = Stato limite d'esercizio, combinazione rara

SLE F = Stato limite d'esercizio, combinazione frequente

SLE Q = Stato limite d'esercizio, combinazione quasi permanente

SLD = Stato limite di danno

SLV = Stato limite di salvaguardia della vita

SLC = Stato limite di prevenzione del collasso

SLO = Stato limite di operatività

SLU I = Stato limite di resistenza al fuoco

SND = Stato limite di salvaguardia della vita (non dissipativo)

TV = Tipo di verifica

## Relazione di calcolo

---

PRFL = Flessione e pressoflessione  
TAG = Taglio o altre rotture fragili  
NOD = Nodi in c.a. e collegamenti in acciaio  
STAB = Stabilità  
CP = Capacità portante  
RNP = Resistenza nel piano  
RFP = Resistenza fuori piano  
CIN = Cinematismi  
CON = Connessioni  
Sic. = Sicurezza

**Tabella elementi e minimo coefficiente di sicurezza**

<b>Elem.</b>	<b>CC</b>	<b>TCC</b>	<b>TV</b>	<b>Sic.</b>
Plinto/Palo n. 469	15	SLV	PRFL	1.00
Plinto/Palo n. 465	17	SLU	TAG	1.18
Asta in acciaio n. 10	17	SLU	PRFL	30.76
Asta in acciaio n. 10	17	SLU	TAG	>100.0
Asta in acciaio n. 10	17	SLU	STAB	69.43

Minimo coefficiente di sicurezza: 1.00